

Actividad 2:
Apoyo a la caracterización adicional
de las masas de agua subterránea
en riesgo de no cumplir los objetivos
medioambientales en 2015

Demarcación Hidrográfica del Júcar

MASA DE AGUA SUBTERRÁNEA
080.189 Sierra de Crevillente



GOBIERNO
DE ESPAÑA

MINISTERIO
DE CIENCIA
E INNOVACIÓN

MINISTERIO
DE MEDIO AMBIENTE
Y MEDIO RURAL Y MARINO



Instituto Geológico
y Minero de España

DIRECCIÓN GENERAL
DEL AGUA

MASA DE AGUA SUBTERRÁNEA (nombre y código):

Sierra de Crevillente 080.189

1.- IDENTIFICACIÓN

Clase de riesgo

Cuantitativo

Detalle del riesgo

Cuantitativo extracción

Ámbito Administrativo:

Demarcación hidrográfica	Extensión (km ²)
JUCAR	67,80

CC.AA.
Comunidad Valenciana

Provincia/s
03-Alicante/Alacant

Población asentada:

Tipo de población	Nº de habitantes en el entorno de la masa	Censo (año)
De derecho (censada)	21.388	2005
De hecho (estimada)	22.204	2005

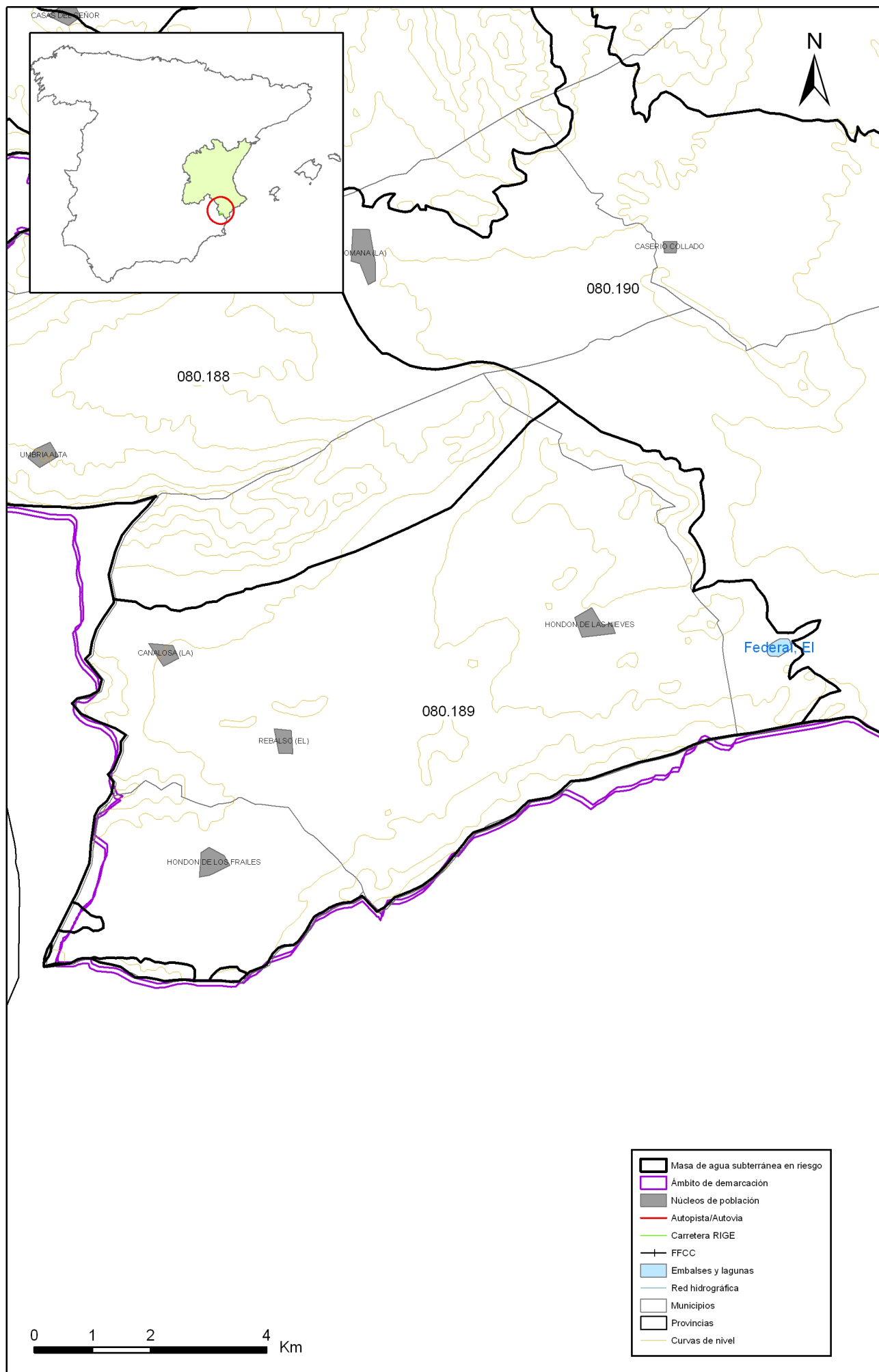
Topografía:

Distribución de altitudes	
Altitud (m.s.n.m)	
Máxima	810
Mínima	320

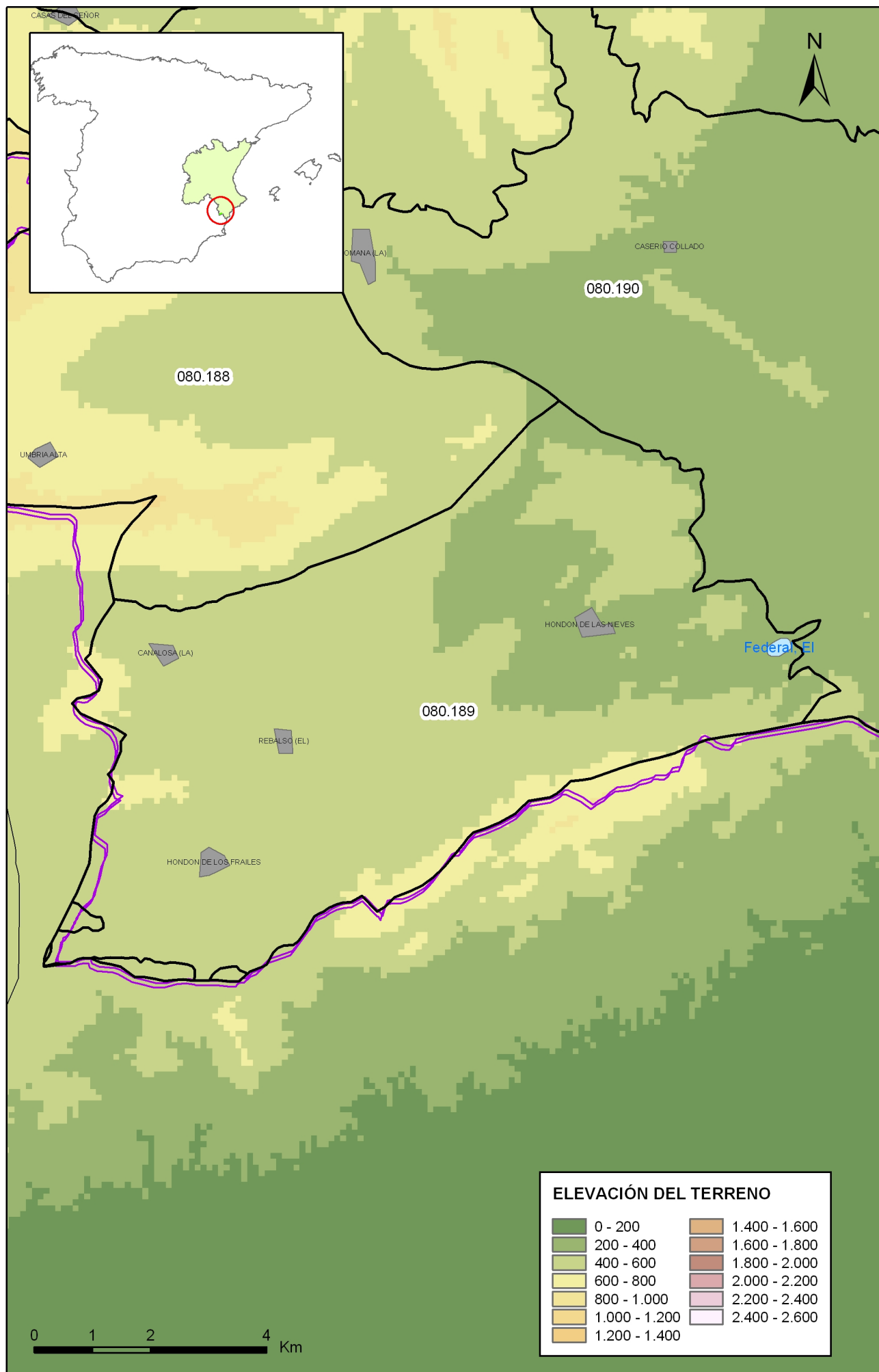
Modelo digital de elevaciones		
Rango considerado (m.s.n.m)		Superficie de la masa (%)
Valor menor del rango	Valor mayor del rango	
320	420	38
420	480	36
480	570	20
570	810	6

Información gráfica:

**Base cartográfica con delimitación de la masa
Mapa digital de elevaciones**



Mapa 1.1 Mapa base cartográfica de la masa Sierra de Crevillente (080.189)



Mapa 1.2 Mapa digital de elevaciones de la masa Sierra de Crevillente (080.189)

2.- CARACTERÍSTICAS GEOLÓGICAS

Ámbito geoestructural:

Unidades geológicas
Prebético de Alicante
Subbético de Alicante

Columna litológica tipo:

Litología	Extensión Afloramiento km ²	Rango de espesor (m)		Edad geológica	Observaciones
		Valor menor del rango	Valor mayor del rango		
Margas Arenosas y margocalizas/Calizas grises/Calizas en gruesos bancos/Margocalizas y calizas margosas	3,60		475	Albiense-Cenomaniense/Cenomaniense?/Turoniese?/Senoniense	
Margas calizas y areniscas	0,00		50	Paleoceno-Eoceno	
Calizas masivas y margas grises	0,00		25	Mioceno Inferior	
Dolomías masivas grises/Calizas masivas/Margas y calizas bien estratificadas/Calizas compactas/Calizas nodulosas/Calizas nodulosas rojas/Calizas con filamentos/Calizas claras			482	Hettagiense-Sinemuriense/Sinemuriense-Pliensbachiense/Toarciense-Aalenense/Bajociense-Bathoniese/Calloviense/Oxfordiense/Kimmeridgense/Portlandiense	

Origen de la información geológica:

Biblioteca	Cod. Biblioteca	Fecha	Título
IGME		1972	Mapa geológico de España. MAGNA 893, Elche.
DPA		1982	Las aguas subterráneas de la provincia de Alicante
MMA		2005	Adaptación de los acuíferos a las masas de agua subterránea y actualización de los balances hídricos en el ámbito de la confederación hidrográfica del Júcar. Tomo II. Descripción de las masas de agua subterránea definidas.
MMA	46	2005	ESTUDIO INICIAL PARA LA IDENTIFICACIÓN Y CARACTERIZACIÓN DE LAS MASAS DE AGUA SUBTERRÁNEA DE LAS CUENCAS INTERCOMUNITARIAS

Información gráfica:

Mapa geológico
Cortes geológicos y ubicación
Columnas de sondeos
Descripción geológica en texto

Descripción geológica

Está constituida por los relieves de la Sierra los Frailes y la Sierra de Crevillente, en la provincia de Alicante. Al Norte limita con la sierra de Argallet, en las proximidades de la localidad de La Canalosa. El límite Sur y Oeste se traza en la divisoria entre los ámbitos de planificación del Júcar y el Segura. Al Este el límite sigue la misma dirección que el río Honda de forma paralela a este.

La masa Sierra de Crevillente se encuadra regionalmente en el ámbito de las Cordilleras Béticas y dentro de éstas en la zona Subbética, aunque existen algunas pequeñas ventanas tectónicas en las que llega a aflorar el Prebético Meridional. Hacia el Sur desaparece el Subbético bajo los depósitos neógenos de la cuenca de Fortuna ("post-manto"). Este contacto está retocado por una gran falla de dirección OSO-ENE que aún puede presentar cierta actividad.

- Unidad Subbética de la Sierra de Crevillente y del altiplano de los Hondones. A esta serie pertenecen la gran parte de los afloramientos de la zona.
- Unidad Prebética. Reducida a pequeños afloramientos por subventanas tectónicas en la terminación oriental de la Sierra de Crevillente y al Norte de la Canalosa.
- Unidad Mioceno de Monte Alto. Representada en la parte Sur y Suroeste de la Sierra de Crevillente.
- Serie post-orogénica de la Cuenca de Fortuna-Elche. Se presenta en la parte más meridional de la masa.

ZONA SUBBÉTICA.

Los materiales más ampliamente representados en la zona corresponden fundamentalmente al Jurásico y dentro de él, al Lías. El Jurásico superior y el Cretácico están reducidos a pequeños retazos. Se pueden distinguir cuatro series o unidades, diferenciables por sus características estratigráficas:

El Triásico origina en la topografía zonas caóticas donde sus diversos términos aparecen de forma desordenada. No obstante, se pueden distinguir dos conjuntos litológicos, el Keuper formado por margas abigarradas, arcillas rojas y verdes y yesos, y el Rethiense compuesto por dolomías oscuras estratificadas, muy cuarteadas y en ocasiones con fracturas bien visibles, incluso a veces en perfecta concordancia con paquetes de yesos.

En el Jurásico se diferencian cuatro unidades, un tramo de dolomías masivas grises de al menos 150 m de potencia de edad Hettagiense-Sinemuriense, le sigue una serie de 150-200 m de calizas de grano grueso del Sinemuriense-Pliensbachiense, posteriormente un paquete de calizas con potencia entre 50-110 m, bien estratificadas con nódulos de sílex y margas con numerosos hard-grounds en diferentes niveles de edad Toarciense-Aaleniense, por encima de las cuales se deposita una serie de carbonatos de potencia igual o superior a 80 m, en varios paquetes con algunos niveles de margas de edad Bajociense-Malm.

El Cretácico comienza con un nivel de margas y margocalizas del Neocomiense fuertemente tectonizado, por lo que es muy difícil definir su potencia real. Por encima de estos materiales aparecen unas margas ligeramente arenosas, con intercalaciones de calizas margosas de color gris-amarillento o gris-marrón de edad Albiense localmente discordantes sobre el Kimmeridgiense. El Senoniense está representado por una serie de calizas margosas blancas en pequeños bancos.

ZONA PREBÉTICA.

El Cretácico está representado por un conjunto de al menos 350 m de margas más o menos arenosas y margocalizas con Amontes del Vraconiense-Turoniense. Le sigue unas calizas margosas blancas o gris-blancas del Senoniense inferior y unas facies de margocalizas de color rojo y rosa salmón del Senoniense superior, la potencia de este conjunto debe estar comprendida entre 110-150 m.

El Paleoceno-Eoceno inferior tiene una potencia superior a los 100 m y comienza con unas margas gris-verdes a las que siguen unas calizas areniscas marrones, en general muy dolomitizadas.

El Mioceno inferior está compuesto por unas margas grises, con calizas masivas muy duras en la base y una potencia visible de 25 m aproximadamente.

LA UNIDAD DEL MONTE ALTO.

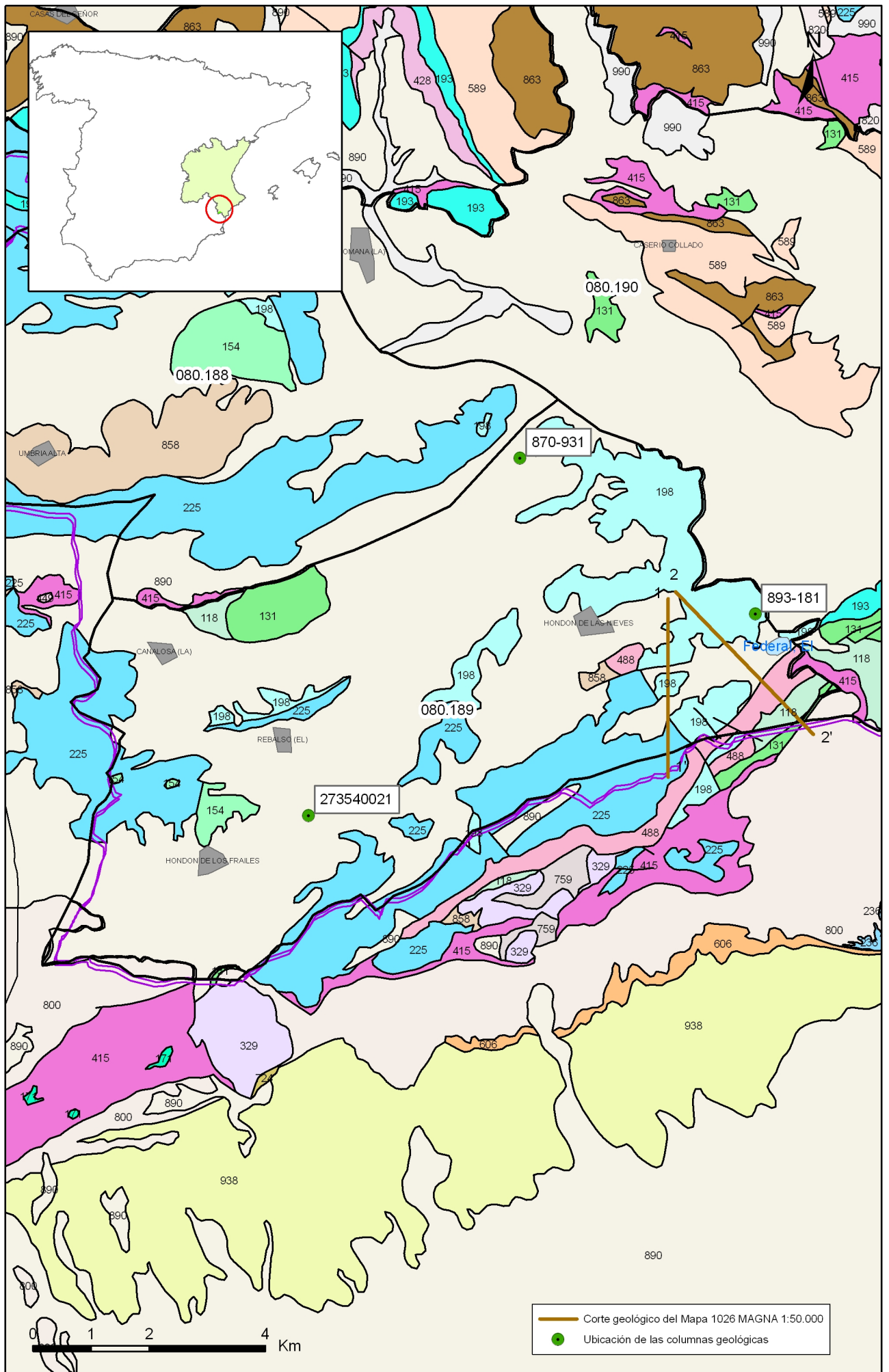
Se distinguen tres unidades: entre 200-250 m de calizas compactas grises del Aquitaniense, una serie de 500 m como mínimo de depósitos margo-areniscosos del Burdigaliense. Un paquete de 30-40 m de potencia de margas, arenas en la base, que hacia el techo pasan a calizas claras.

SERIE POST-OROGÉNICA DE LA CUENCA FORTUNA-ELCHE.

Diferentes formaciones neógenas se han depositado después de la individualización de los principales dominios estructurales. Estos afloramientos aparecen preferentemente en toda la parte meridional de la Sierra de Crevillente. Se trata de rocas de origen predominantemente marino, formadas principalmente a partir de la erosión de los relieves prebélicos y subbéticos. Depósitos post-orogénicos del Pliocuatnario se desarrollan también en el altiplano de los Hondones.

De las cuatro unidades que están presentes en el área, la Prebética y la Subbética (de carácter alóctono sobre el sustrato Prebético) y están afectadas por una tectónica compleja perteneciente a la orogenia alpina, cuyos efectos se dejan sentir en esta zona al menos desde el Oligoceno.

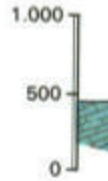
La estructura general de la Sierra de Crevillente es la de un gran anticlinal de traza axial NE-SO, afectado por una serie de fallas normales, paralelas al eje del pliegue que condicionan en gran medida los límites de la masa. Estas fracturas tienen una gran importancia hidrogeológica ya que, con una dirección N52°E representan fracturas de relajación donde se desarrolla el karst activo.



Mapa 2.1 Mapa geológico de la masa Sierra de Crevillente (080.189)

1-1'

N

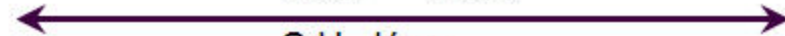


Cra. de Agost a Est. de Archena

Sierra Crevillente

Sustrato

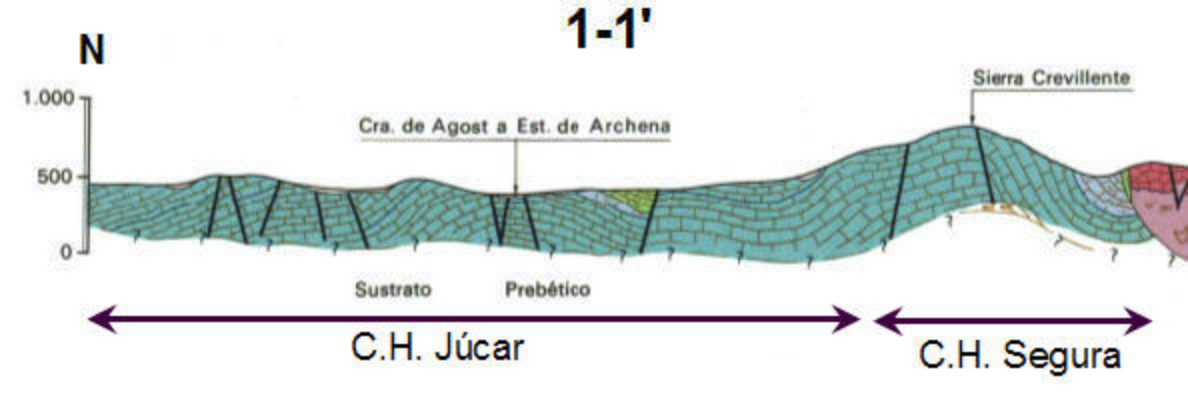
Prebético



C.H. Júcar



C.H. Segura



2-2'

NO

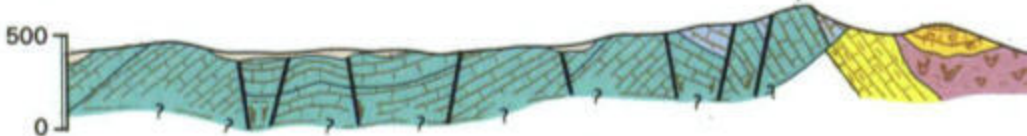
500

0

Puntal Matamoros

Sustrato

Prebético



SUBBETICO ALOCTONO

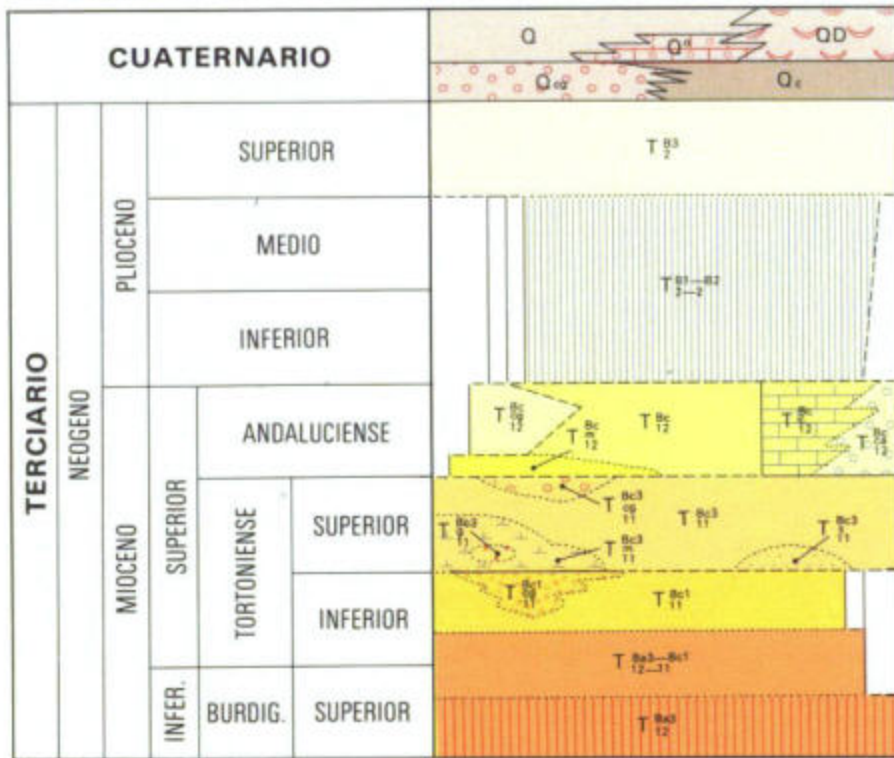
TERCIARIO	NEOGENO	BURDIGALIENSE	T ₂₁₋₂₃ ^{Ba-Ba}		
	MIOCENO INFERIOR	AQUITANIENSE			
CRETACICO	SUPER.	SENONIENSE	C ₂₃₋₂₆		C ₂₃₋₂₆ Caliza margosa
	INFERIOR	ALBIENSE	C ₁₆		C ₁₆ Caliza margosa
		NEOCOMIENSE	C ₁₁₋₁₃		C ₁₁₋₁₃ Caliza margosa y margas arriñonadas con Ammonites
JURASICO	SUPERIOR		J ₃		J ₃ Calizas nodulosas, a veces rojas con Ammonites
	MEDIO		J ₂		J ₂ Margas y calizas bien estratificadas con nódulos de Silix
	INFERIOR		J ₁₋₂		J ₁₋₂ Calizas blanquecinas en gruesos bancos masivas
TRIASICO	SUPER.	RETHIENSE	T _{A33}		T _{A33} Dolomias de grano fino, gris muy brechificadas
	MUSCHELKALK		T _G	T _{G2}	T _G Margas abigarradas, yesíferas T _{G2} Calizas negruzcas

MANTO DE LA ESTACION DE ALBATERA

JUR.	INFERIOR	T _{A33} -J ₁	
TRIAS	SUPERIOR		

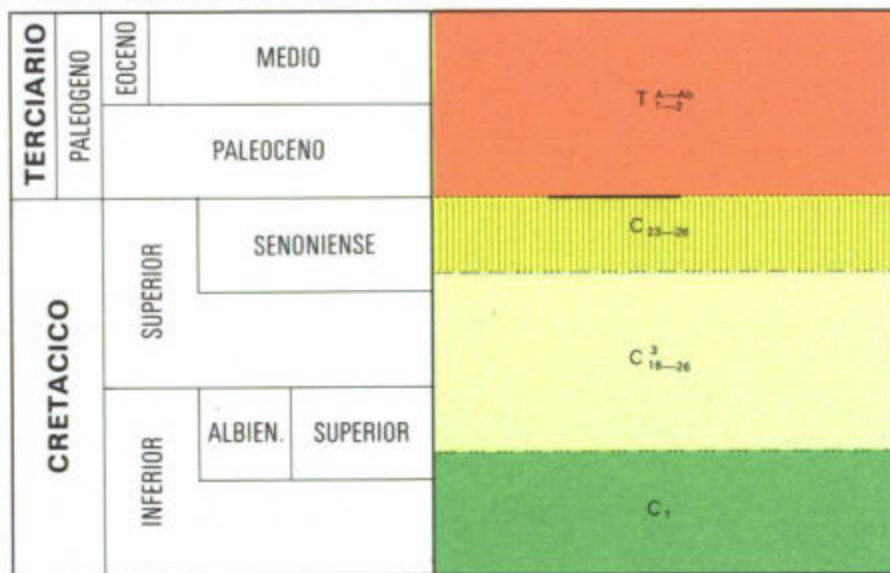
T_{A33}-J₁ Calizas masivas, blancas, rojas y rosadas brechificadas

SEDIMENTOS POST-MANTO



- Q Cuaternario indiferenciado
- QD Dunas (Eólico)
- Q^o Caliza oolítica
- Q_o Conglomerados y arcillas
- Q_c Caliche
- T₂³ Arenisca
- T₂₋₂¹⁻² Marga
- T₁₂^{Bc} Conglomerado arcilloso y arcillas
- T₁₂^{Bc} Areniscas calcomargosas y margas
- T₁₂^{Bc} Marga
- T₁₂^{Bc} Caliza zoogena
- T₁₂^{Bc} Albarizas
- T₁₁^{Bc3} Conglomerado, areniscas y algo de marga, con intercalados continentales
- T₁₁^{Bc3} Arenisca calcárea
- T₁₁^{Bc3} Margas
- T₁₁^{Bc3} Lentijón detritico intercalado
- T₁₁^{Bc3} Arenisca con escafópodos
- T₁₁^{Bc1} Conglomerado: tramo regresivo
- T₁₁^{Bc1} Calizas zoogenas
- T₁₂₋₁₁^{Bc3-Bc1} Areniscas masivas
- T₁₂^{Bc1} Margas arenosas y margas blancas

PREBETICO DE ALICANTE



- T₁₋₂^{A-Ab} Margas, areniscas y calizas
- C₂₃₋₂₆ Calizas margosas blancas y rojas y margas
- C₁₈₋₂₆³ Margas ocre claro, con niveles arenosos y calcáreos
- C₁ Marga gris-verdoso claro, con niveles arenosos



Sondeo: "EL ROLLO"

Término municipal: HONDON DE LAS NIEVES (ALICANTE)

Propietario: Hoja/octante 870/8

Longitud: 02°49'16" E Latitud: 38°20'08" Altitud: 390 ±10

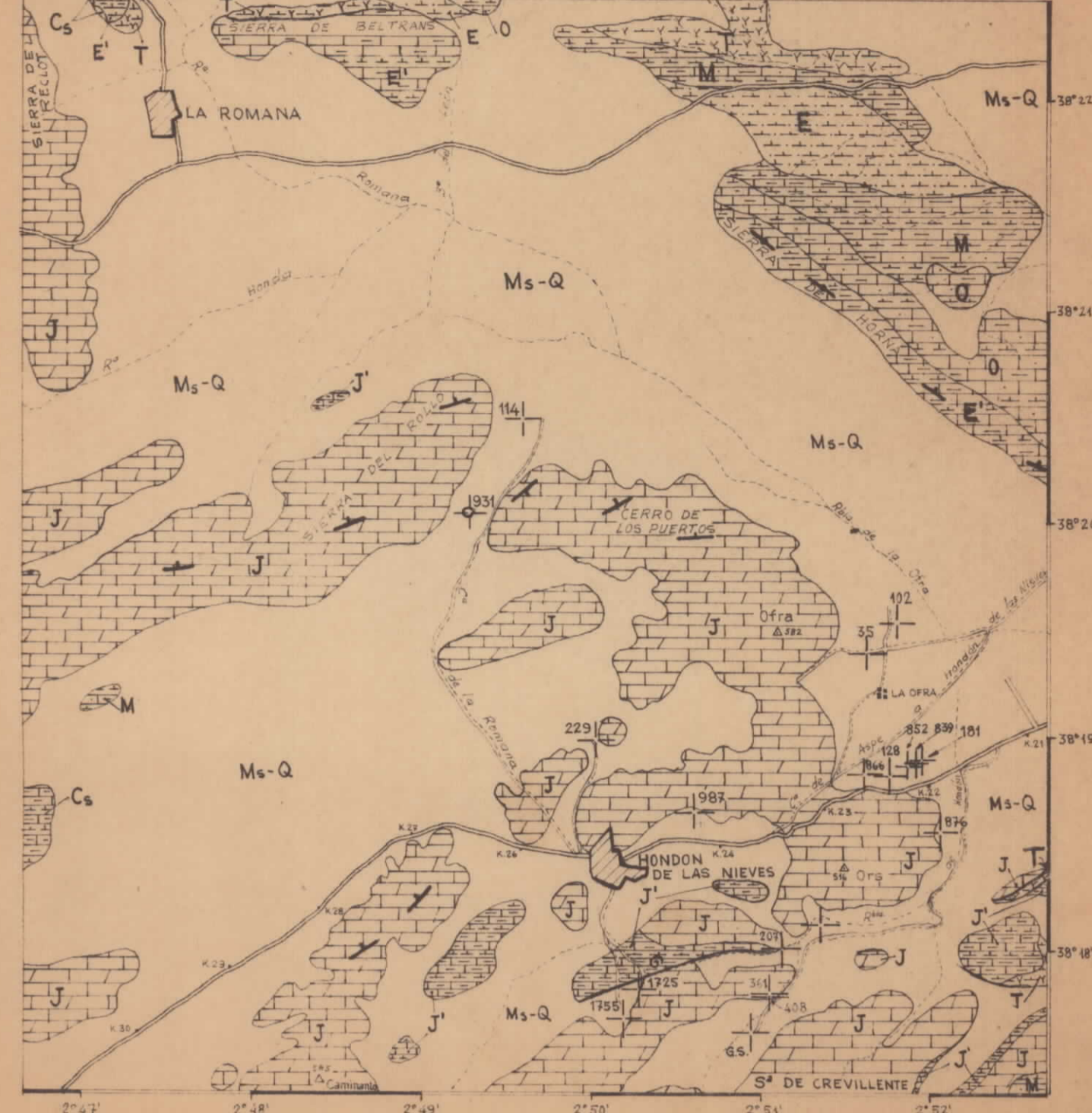
Nombre de la finca:

Nombre del propietario: 273480026

Marcado por:

Madrid de 19
El Ingeniero Agronomo

Control geológico



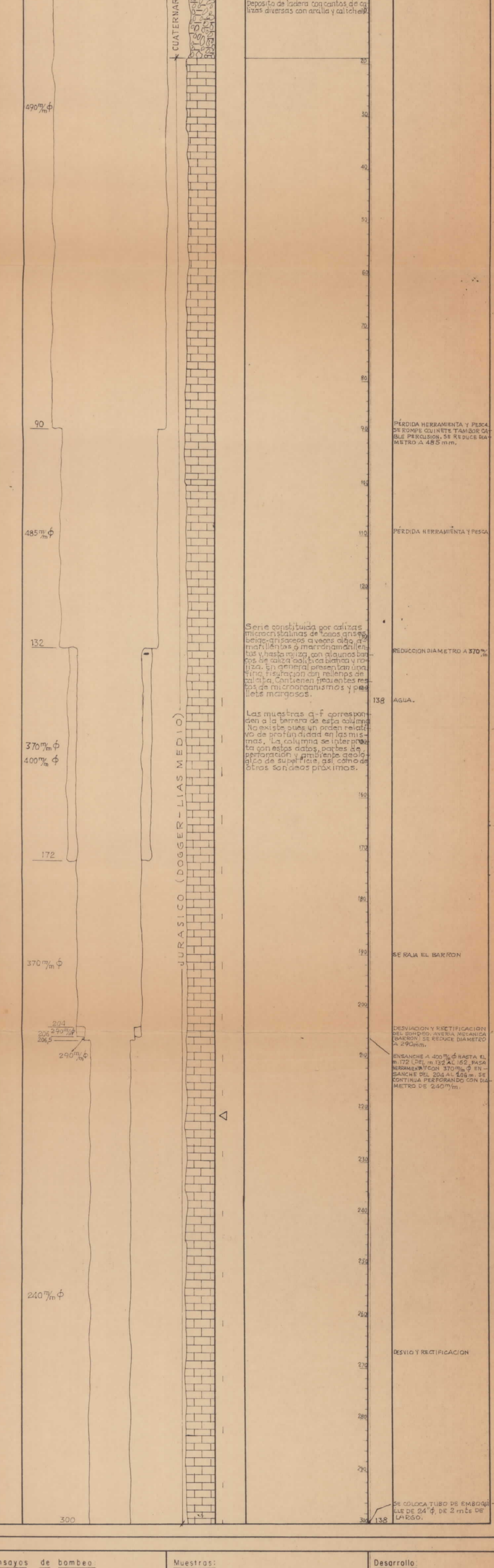
T=TRIAS J=LIAS DOGGER J'=MALM Cs=CRETACIO SUP.
E=EOCENO O=OLIGOCENO M=MIOCENO INF. MED. Ms-Q=MIOCENO SUP. - CUATERNARIO

	CONGLOMERADO BRECHA		CALIZA ARENOSA CALCILUTITA		PIRITA
	ARENA ARENISCA		CALCARENITA CALCIRUDITA		HALITA
	ARENISCA CALCAREA ARENISCA CUARCITICA		CALIZA OOLITICA-PISOLITICA PSEUDO BRECHA		GLAUCONITA
	ARENISCA ARCILLOSA LIMOLITA		CALIZA ARRECIFAL MODULOS DE SILEX		FELDSPATOS
	ARCILLA PIZARRA		DOLOMIA CALIZA DOLOMITICA		MOSCOVITA
	ARCILLA ARENOSA PIZARRA CARBONOSA		YESO Y ANHIDRITA SAL		BIOTITA
	ARCILLA MARGOSA MARGA		ROCAS PLUTONICAS		CARBON
	CALIZA CALIZA ARCILLOSA		ROCAS EFUSIVAS		FOSFATO
			ROCAS METAMORFICAS		CONCRECIONES FERRUGINOSAS
	ACUIFERO				SIDERITA
	ACUIFUGO				MICROFOSILE EN GENERAL
					MACROFAUNA EN GENERAL
					RESTOS DE PLANTAS

Completado

INSTITUTO NACIONAL DE COLONIZACION
PARQUE MAQUINARIA AGRICOLA
PERFIL LITOLOGICO

Sondeo "EL ROLLO"
Tº Municipal HONDON DE LAS NIEVES (ALICANTE)
Hoja / octante 870 / 8 Nº P.M.A. 931
Coordenadas: 02°49'16" E - 38°20'08" N
Altitud 390 ±10
El Ingeniero Agronomo



Deposito de ladera con cantos de calizas diversas con arcilla y calcicheo.

Serie constituida por calizas microcristalinas de tonos gris-beige, grisaceos a veces algo amarillentos o marron amarillos y hasta rojiza con algunos bancos de caliza oolitica bien definida. En general presentan una fina fisuracion con rellenos de caliza. Contienen frecuentes restos de microorganismos y pellets margosos.

Las muestras a-f corresponden a la base de esta columna. No existe pues un orden relativo de profundidad en las mismas. La columna se interpreta con estos datos, partes de perforacion y pruebas geologicas de superficie, asi como de otras sondas proximas.

PERDIDA HERRAMIENTA Y PESCA. SE ROMPE CUINETE TAMBOR CABLE PERCUSSION, SE REDUCE DIAMETRO A 485 mm.

PERDIDA HERRAMIENTA Y PESCA.

REDUCCION DIAMETRO A 370 mm.

AGUA.

SE RAJA EL BARRON

DESVIACION Y RECTIFICACION DEL SONDEO. AVERIA MECANICA (BARRON) SE REDUCE DIAMETRO A 290 mm.

ENSANCHE A 400 mm HASTA EL P. 172 (DEL m. 132 AL 162) PASA NERRAMENTACION 370 mm EN ENSANCHE DEL 204 AL 206 m. SE CONTINUA PERFORANDO CON DIAMETRO DE 240 mm.

DESVIO Y RECTIFICACION

SE COLOCA TUBO DE EMBOQUE ALLE DE 24 φ. DE 2 mts DE LARGO.

Ensayos de bombeo					Muestras:		Desarrollo:	
Fecha	Bomba	NL	L/s	ND				
					931-a: EQUINODERMOS Y ALGAS			
					EDAD: JURASICO INDETERMINADO (DOGGER O LIAS MEDIO)			
					931-b: PROTOCONCHAS, ESPICULAS Y RADIOLARIOS			
					EDAD: JURASICO (DOGGER?)			
					931-c: PROTOCONCHAS, PELLETS, OSTRACODOS			
					EDAD: SAUCCIENSE			
					931-d: ESPICULAS, GLOBOCHAETE ALPINA, RADIOLARIOS Y EQUINODERMOS, EDAD: JURASICO INDETERMINADO			
					931-e: PROTOCONCHAS, ESPICULAS, RADIOLARIOS Y EQUINODERMOS			
					EDAD: DOGGER A LIAS			



Sondeo: "LA OFRA 4ª"

Término municipal: ASPE (ALICANTE)

Propietario: Hoja/octante 893/1

Longitud: 02° 52' 00"E. Latitud: 38° 18' 58" Altitud: 297m ± 5

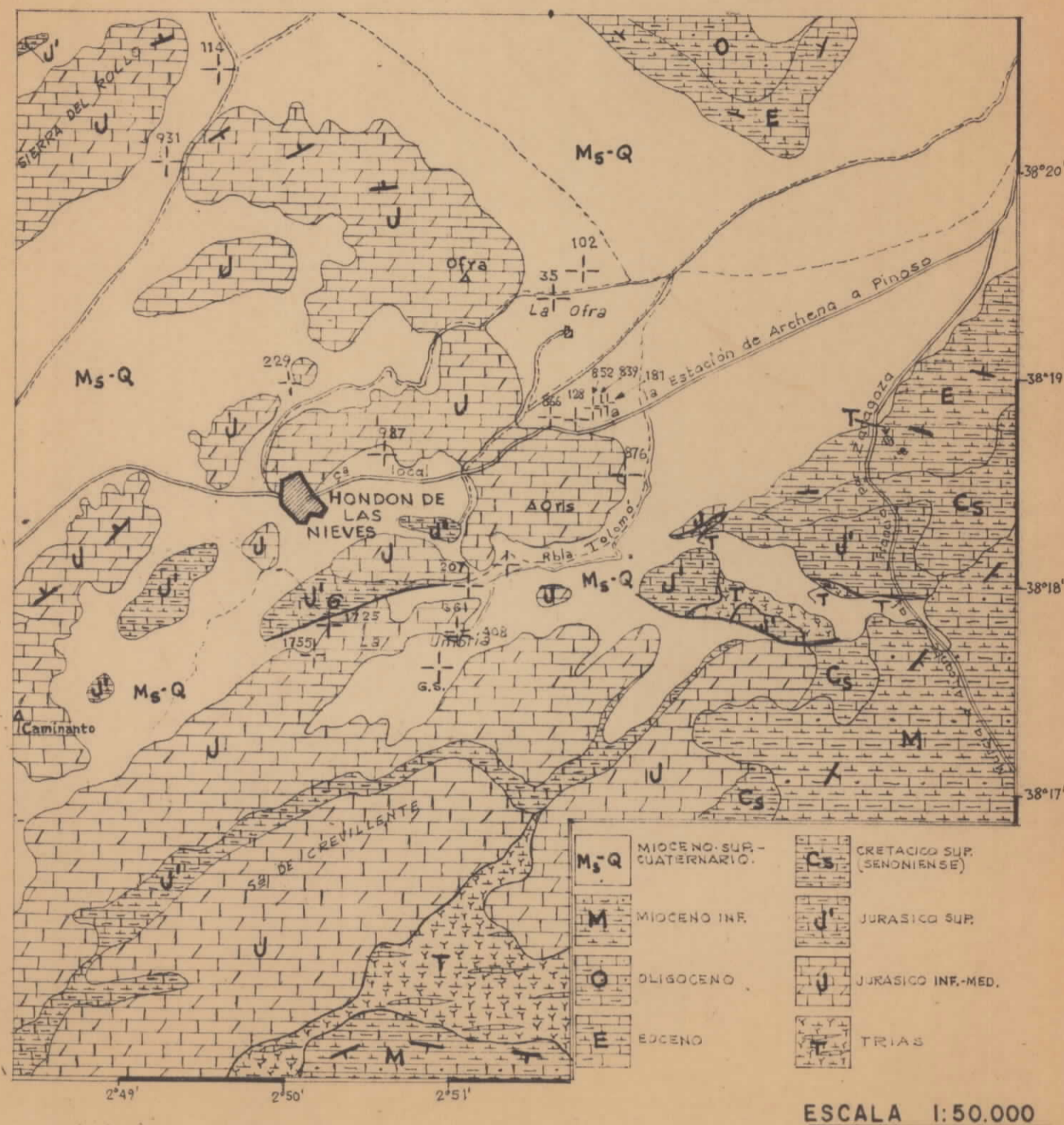
Nombre de la finca:

Nombre del propietario:

Marcado por:

Madrid de 19
El Ingeniero Agronomo

Control geológico



ESCALA 1:50.000

	CONGLOMERADO BRECHA		CALIZA ARENOSA CALCILUTITA		PIRITA
	ARENA ARENISCA		CALCARENITA CALCIRUDITA		HALITA
	ARENISCA CALCAREA ARENISCA CUARCITICA		CALIZA OOLITICA-PISOLITICA PSEUDO BRECHA		GLAUCIONITA
	ARENISCA ARCILLOSA LIMOLITA		CALIZA ARRECIFAL MODULOS DE SILEX		FELDESPATOS
	ARCILLA PIZARRA		DOLOMIA CALIZA DOLOMITICA		MOSCOVITA
	ARCILLA ARENOSA PIZARRA CARBONOSA		YESO Y ANIHIDRITA SAL		BIOTITA
	ARCILLA MARGOSA MARGA		ROCAS PLUTONICAS ROCAS EFUSIVAS		CARBON
	CALIZA CALIZA ARCILLOSA		ROCAS METAMORFICAS		FOSFATO
	ACUIFERO				CONCRECIONES FERRUGINOSAS
	ACUIFUGO				SIDERITA
					MICROFOSILE EN GENERAL
					MACROFAUNA EN GENERAL
					RESTOS DE PLANTAS

INSTITUTO NACIONAL DE COLONIZACION
PARQUE MAQUINARIA AGRICOLA

PERFIL LITOLOGICO

Sondeo: "LA OFRA 4ª"
Tº Municipal: ASPE (ALICANTE)
Hoja / octante 893 / 1 Nº P.M.A. 181
Coordenadas: 02° 52' 00"E. 38° 18' 58"
Altitud 297m ± 5

Prof y diám. Entub. Perf.	Observaciones
550mm Ø	
26" Ø EXTRAIDA	
39,7	31 - Se encuentra agua, quedando el nivel en 31m.
49,5	40 - Se reduce diámetro a 270mm. Se añade arena al sondeo para perforar mejor.
20" Ø	
18" Ø RAJADA	
60,63	31 - Se repasa con trépano 295mm Ø y se continúa con 295mm Ø.
20" Ø	
62	31 - Se ensancha a 550mm Ø hasta el m. 62. Se entuba hasta el m. 49 con 495/510mm Ø. Se tuerce la torre. Se continúa la entubación hasta el m. 62 (rajado el tramo 34-40). Se continúa perforando con 295mm Ø.
62	
490mm Ø	
69	
20" Ø	
72,8	
18" Ø RAJADA	
91	31 - Se atora el 28-11-57 con bomba a 52m. El 20-1-59 se desmonta la bomba de explotación. Por descenso de niveles el 23-10-64, la sonda 1-3-1 sacó la tubería de 510mm Ø y ensanchó a 490mm Ø desde el m. 62,2 al 111. Se entuba hasta el metro 49,5 con 20" Ø L y entre 49,5 y 100 m. con 18" Ø H. rajada, soldada a la anterior.
18" Ø RAJADA	
111	En Julio 1965 la sonda 1-2-7 intenta pescar la tubería de 20" Ø que se había caído hasta el m. 91 (la columna perdida estaba colocada entre 60,63 y 111 m). Se sacó parte de la tubería de 20" hasta el m. 69, quedando el resto en el sondeo. Se entuba con 20" Ø de nuevo hasta apoyarse en la columna perdida (60,63) Se monta la bomba y da 80 l/s.

Ensayos de bombeo					Muestras	Desarrollo
Fecha	Bomba	NL	L/s	ND		
28-11-57	Bomba	30,6	105,17	34,1/17		
"	"	"	110,0/17	30,8/10,17		

SERIE PREBETICA DE LA CANALOSA

EDAD	POTEN. (m)	COLUMNA	LITOLOGIA Y FAUNA
MIOC. INF.	25		Margas grises
			Caliza masiva
PALEOCENO- EOCENO	50		Areniscas con nódulos de sílex y margas terrigenas con <i>Truncorotalias</i>
			Calizas areniscosas marrones
			Margas verdes con <i>Discocyclinas</i>
SENONIENSE SUPERIOR	125		Margas grises con <i>Globotruncanas</i> , <i>Gumbelinas</i> y <i>Rugoglobigerinas</i> .
			Margocalizas de color rojo, con <i>Inoceramus</i> y <i>Globotruncanas</i>
SENONIENSE INFERIOR	125		Calizas margosas blancas con finos horizontes margosos. <i>Globotruncanas</i>
TUR.?	16		Caliza en gruesos bancos
CEN.?	24		Calizas grises con algunas interestratificaciones margosas
ALBIENSE - CENOMANIENSE	310		Margas mas o menos arenosas y margocalizas con <i>Ammonites</i>

Fig. 5.2.2

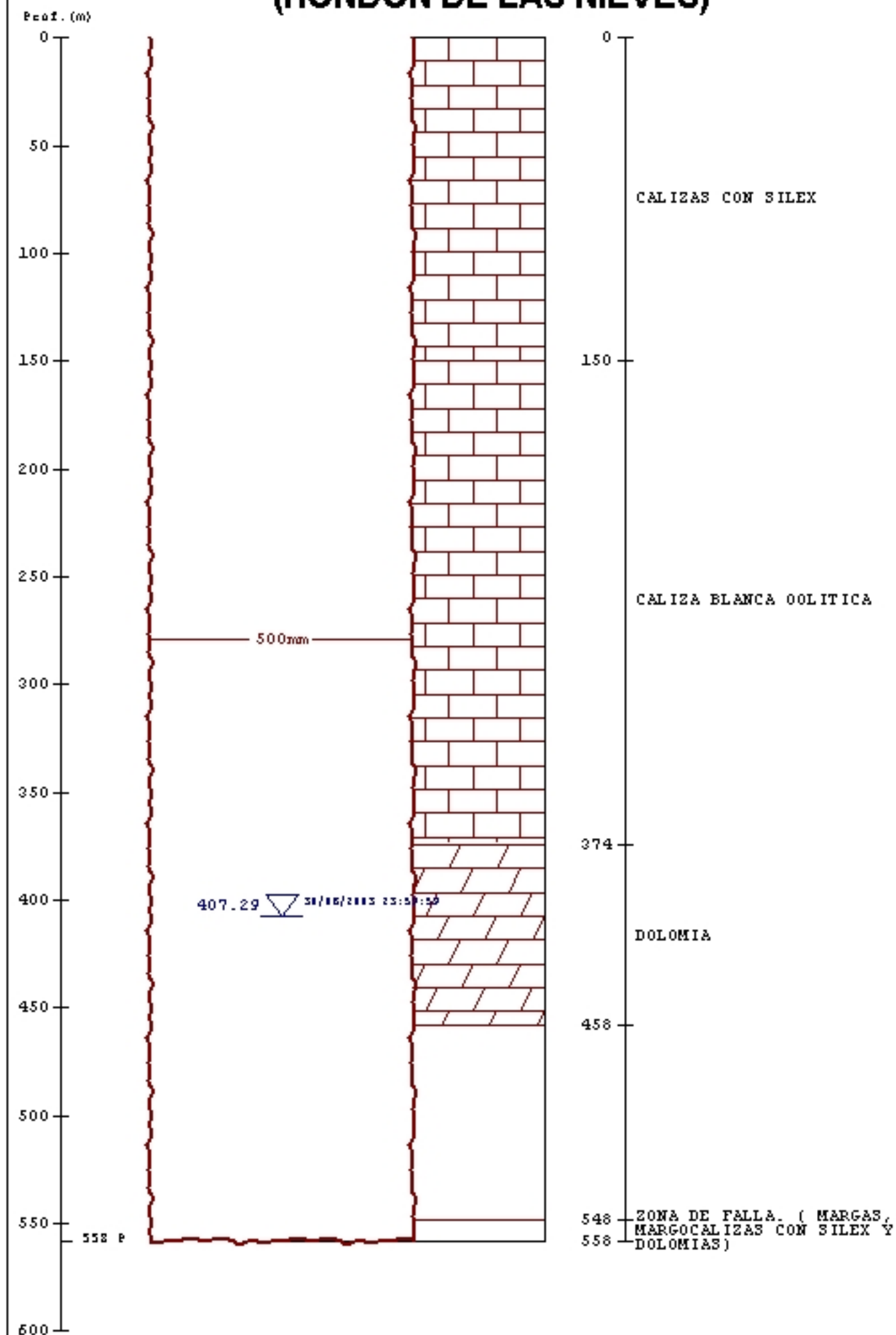
SERIE SUBBETICA DE LA SIERRA DE CREVILLENTE

EDAD	POTEN. (m)	COLUMNA	LITOLOGIA Y FAUNA
PORT.	12		Calizas claras
KIMM.	12		Calizas con filamentos y estructura pano-clarificada
OXFORD.	40		Calizas nodulosas rojas ricas en Ammonites. Calizas margosas y margo-calizas en la base
CALLOV.	6		Calizas subnodulosas
BAJ-BAD.	10		Calizas compactas
TOARCIENSE - A ALENIENSE	50		Margas y calizas bien estratificadas con nódulos de sílex que lateralmente pasan a calizas compactas claras
SINEMURIENSE - PLIENSBACHIENSE	175		Calizas masivas, micriticas con estructura oolítica y colores claros
HETTANGIENSE - SINEMURIENSE	150		Dolomias masivas grises
			Arcillas, margas, yesos y dolomias

Fig. 5.2.1

CROQUIS DE POZO
POZO GALIANA
(HONDÓN DE LAS NIEVES)

2735-4-0021



X: 682.927 Y: 4.239.128 Z: 418

3.- CARACTERÍSTICAS HIDROGEOLÓGICAS

Límites hidrogeológicos de la masa:

Límite	Tipo	Sentido del flujo	Naturaleza
Norte	Cerrado	Flujo nulo	Contacto mecánico, contacto tectónico de los materiales acuíferos con los materiales de baja permeabilidad del Cretácico-Prebético, a través de la falla de La Canalosa
Este	Cerrado	Flujo nulo	Contacto mecánico e impermeable, según la línea de fractura situada al E de las Sierras de Ofre y Ors, por donde se inyecta el impermeable de base, formado por arcillas y yesos triásicos
Oeste	Abierto	Entrada-salida según varias circunstancias	Convencional, divisoria entre los ámbitos de planificación del Júcar y Segura

Origen de la información de Límites hidrogeológicos de la masa:

Biblioteca	Cod. Biblioteca	Fecha	Título
MMA	46	2005	ESTUDIO INICIAL PARA LA IDENTIFICACIÓN Y CARACTERIZACIÓN DE LAS MASAS DE AGUA SUBTERRÁNEA DE LAS CUENCAS INTERCOMUNITARIAS

Naturaleza del acuífero o acuíferos contenidos en la masa:

Denominación	Litología	Extensión del afloramiento km ²	Geometría	Observaciones
Sierra de Crevillente	Carbonatado	27,9	Plegada	

Origen de la información de la naturaleza del acuífero:

Biblioteca	Cod. Biblioteca	Fecha	Título
IGME	62783	2004	SIMULACION DE LA GESTION DE LOS RECURSOS HIDRICOS EN EL MEDIO VINALOPO. INFORME IGME H6.001.04

Espesor del acuífero o acuíferos:

Acuífero	Espesor		
	Rango espesor (m)		% de la masa
	Valor menor en rango	Valor mayor en rango	
Sierra de Crevillente		400	100

Origen de la información del espesor del acuífero o acuíferos:

Biblioteca	Cod. Biblioteca	Fecha	Título
MMA	01661	1977	EST. RECOPIACION/SINTESIS REC. HIDRAUL. CUENCAS R.VINALOPO-VERDE
IGME	62783	2004	SIMULACION DE LA GESTION DE LOS RECURSOS HIDRICOS EN EL MEDIO VINALOPO. INFORME IGME H6.001.04
MMA		2005	Adaptación de los acuíferos a las masas de agua subterránea y actualización de los balances hídricos en el ámbito de la confederación hidrográfica del Júcar. Tomo II. Descripción de las masas de agua subterránea definidas.
MMA	46	2005	ESTUDIO INICIAL PARA LA IDENTIFICACIÓN Y CARACTERIZACIÓN DE LAS MASAS DE AGUA SUBTERRÁNEA DE LAS CUENCAS INTERCOMUNITARIAS

Porosidad, permeabilidad (m/día) y transmisividad (m²/día)

Acuífero	Régimen hidráulico	Porosidad	Permeabilidad	Transmisividad (rango de valores)		Método de determinación
				Valor menor en rango	Valor mayor en rango	
Sierra de Crevillente	Parcialmente confinado	Fisuración-Karstificación	Alta: 10+2 a 10-1 m/día		12.174,0	Ensayo de bombeo

Origen de la información de la porosidad, permeabilidad y transmisividad:

Biblioteca	Cod. Biblioteca	Fecha	Título

Coefficiente de almacenamiento:

Acuífero	Coefficiente de almacenamiento			
	Rango de valores		Valor medio	Método de determinación
	Valor menor del rango	Valor mayor del rango		

Origen de la información del coeficiente de almacenamiento:

Biblioteca	Cod. Biblioteca	Fecha	Título

Información gráfica y adicional:

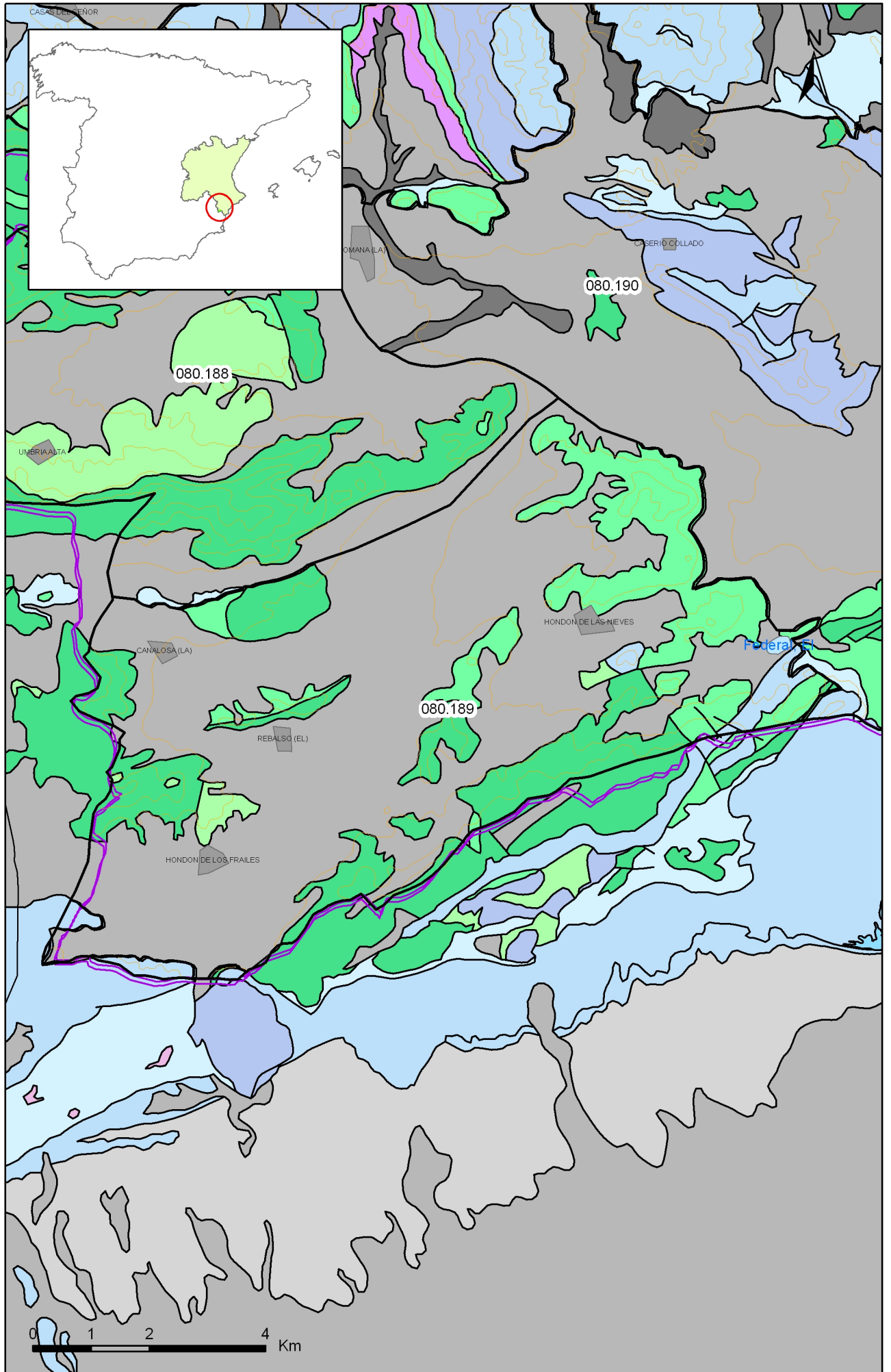
Mapa de permeabilidades según litología
Mapa hidrogeológico con especificación de acuíferos

Descripción hidrogeológica

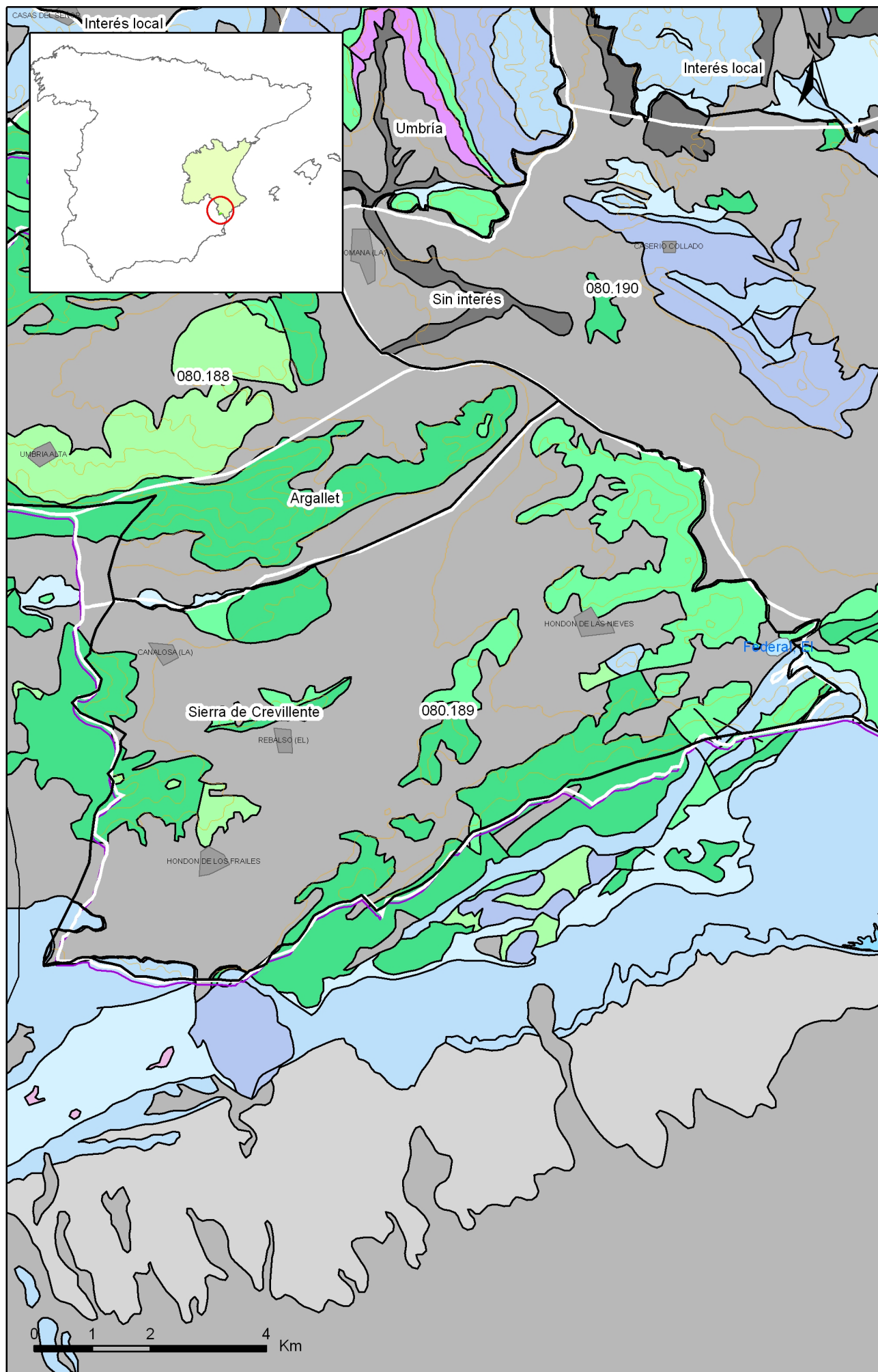
La masa está constituida por dolomías y calizas masivas del Lías y localmente calizas, margocalizas y margas del Lías-Dogger. En total el acuífero tiene unos 400 m de espesor. Estos materiales forman parte de la unidad estructural alóctona del Subbético, que se encuentra cabalgante sobre el Prebético meridional. Los materiales impermeables están formados por arcillas y yesos triásicos en la base, que actúan además como nivel de despegue de los cabalgamientos. También funcionan como impermeable de base los materiales prebéticos margosos del Albiense-Paleoceno. A techo aparecen margas y areniscas del Dogger-Malm, confinando parte del acuífero, y materiales arcillosos del Cretácico-Eoceno que limitan el acuífero lateralmente.

El acuífero Sierra de Crevillente queda dividido en dos zonas por la divisoria hidrográfica entre los ámbitos de planificación del Segura y del Júcar. La parte correspondiente al Júcar limita al Norte de forma cerrada al flujo subterráneo por afloramiento y/o subafloramiento del impermeable de base margoso del Prebético meridional. El límite Oeste es de tipo convencional coincidente con el límite de la Cuenca del Segura. El límite Sur y Este queda cerrado al flujo subterráneo por afloramientos del Keuper, y más localmente por afloramiento y/o subafloramiento del impermeable de base margoso del Prebético meridional.

La piezometría está comprendida entre 50 m.s.n.m. en su sector centro occidental y -10 m.s.n.m. en las proximidades de Hondón de las Nieves. La alimentación de la masa se realiza mediante infiltración por agua de lluvia y la descarga se produce exclusivamente por bombeos ya que no existen puntos de descarga natural.



Mapa 3.1 Mapa de permeabilidades según litología de la masa Sierra de Crevillente (080.189)



Mapa 3.2 Mapa hidrogeológico con especificación de acuíferos de la masa Sierra de Crevillente (080.189)

4.- ZONA NO SATURADA

Litología:

Véase 2.- Características geológicas generales

Véase 3.- Características hidrogeológicas generales, en particular, mapa de permeabilidades, porosidad y permeabilidad

Espesor:

Fecha o periodo	Espesor (m)		
	Máximo	Medio	Mínimo
1977-1979	282,00	276,00	272,90
1984-1994	456,10	382,70	267,90
1995-2000	475,30	449,80	391,00
2001-2008	485,30	400,60	237,00

Véase 5.- Piezometría

Suelos edáficos:

Tipo	Espesor medio (m)	% afloramiento en masa
Aridisol/Calcid/Haplocalcid//Haplargid///		54,90
Aridisol/Calcid/Haplocalcid//Haplocambid//Haplargid/		16,20
Aridisol/Calcid/Haplocalcid//Torriorthent///		0,30
Aridisol/Calcid/Haplocalcid//Torriorthent//Haplargid/		28,60

Vulnerabilidad a la contaminación:

Magnitud	Rango de la masa	% Superficie de la masa	Índice empleado
Muy baja		0,80	Permeabilidad Espesor de la ZNS Calidad del agua
Baja		64,00	Permeabilidad Espesor de la ZNS Calidad del agua
Moderada		35,10	Permeabilidad Espesor de la ZNS Calidad del agua

Origen de la información de zona no saturada:

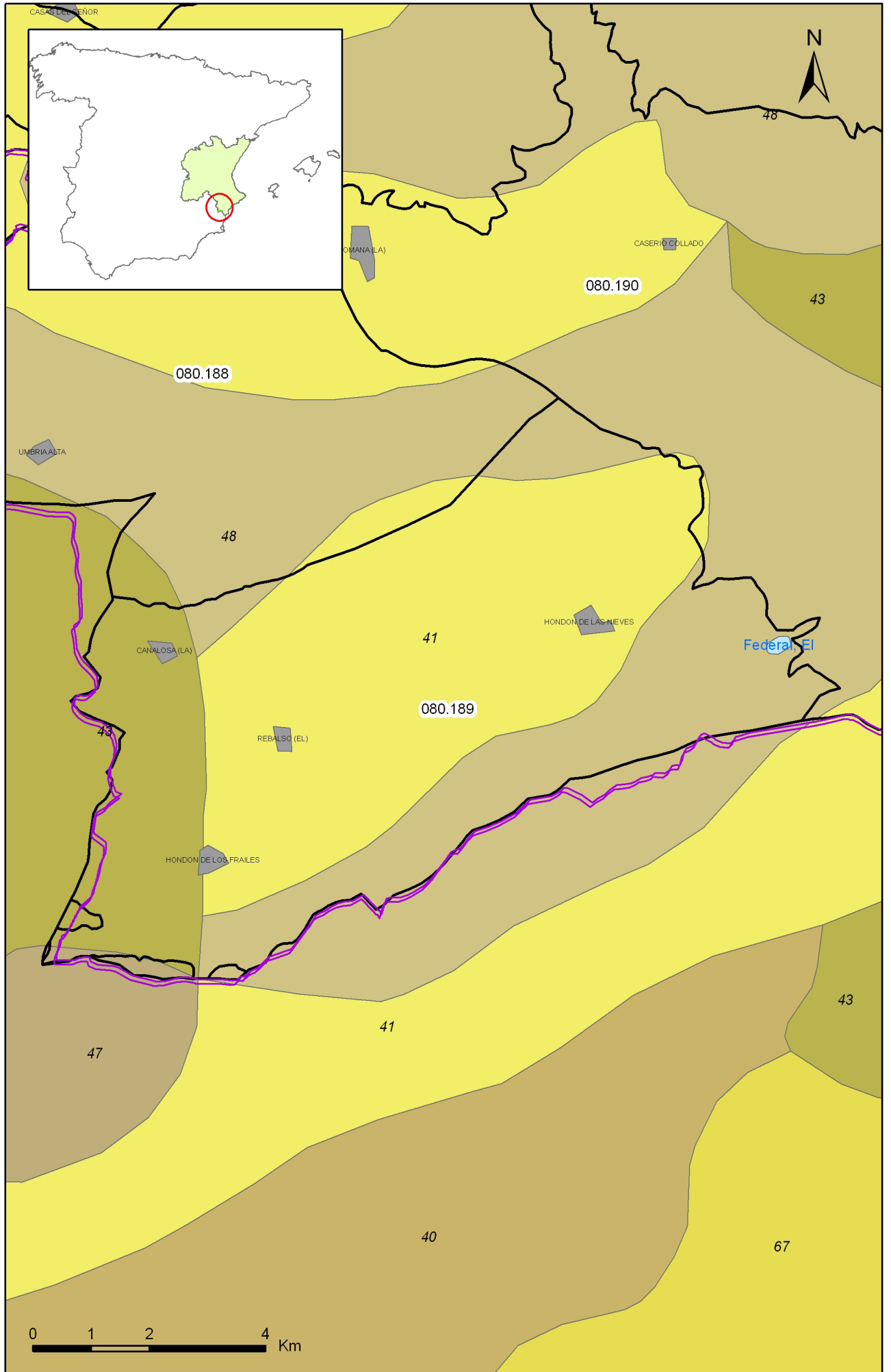
Biblioteca	Cod. Biblioteca	Fecha	Título
OTRAS		2001	Mapa de suelos. Atlas de España. IGN
OTRAS		1998	Cartografía temática de la Generalitat Valenciana 1:50.000. Mapa de vulnerabilidad a la contaminación de las aguas subterráneas. COPUT.

Información gráfica y adicional:

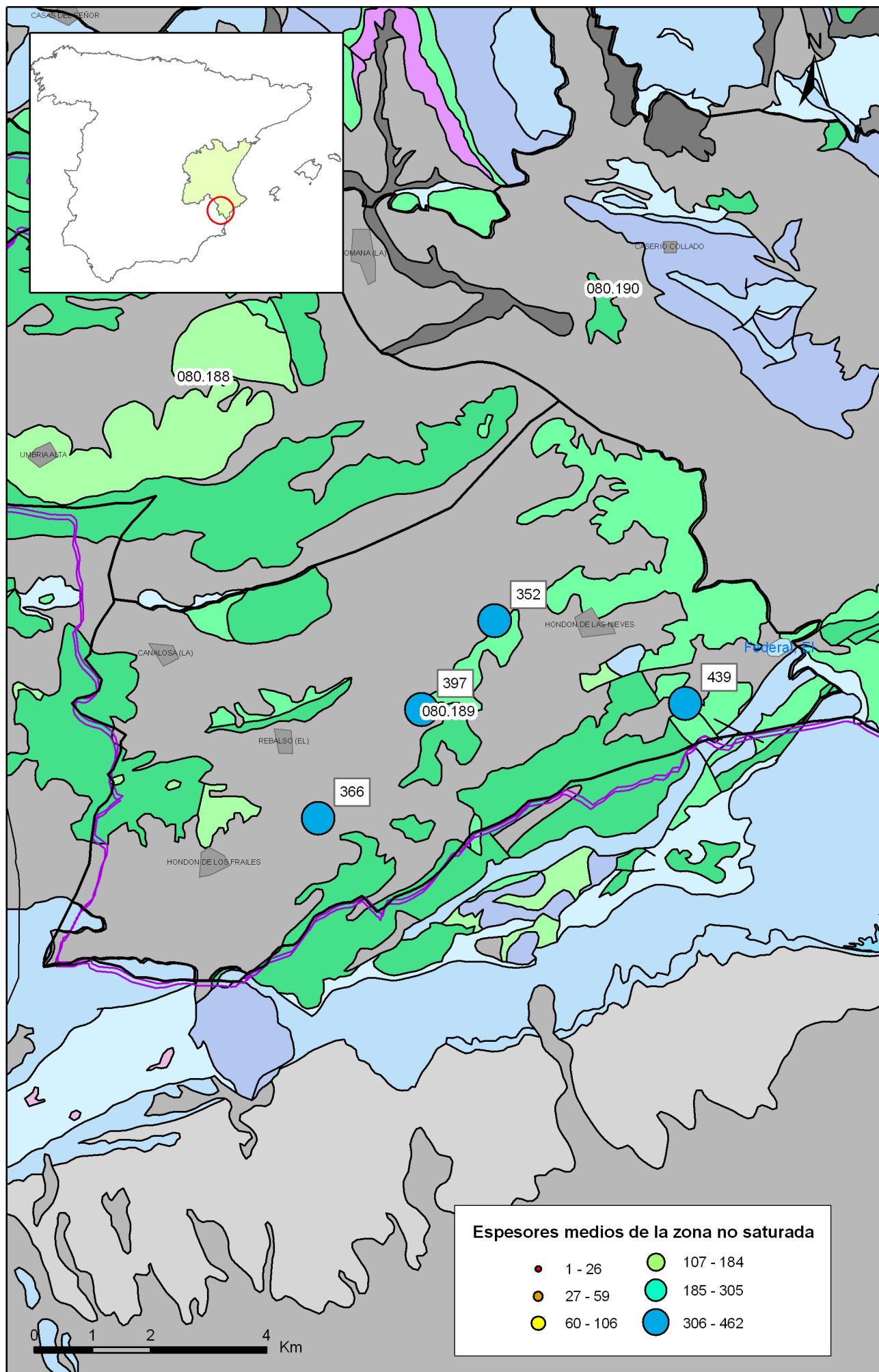
Mapa de Suelos

Mapa de espesor de la zona no saturada

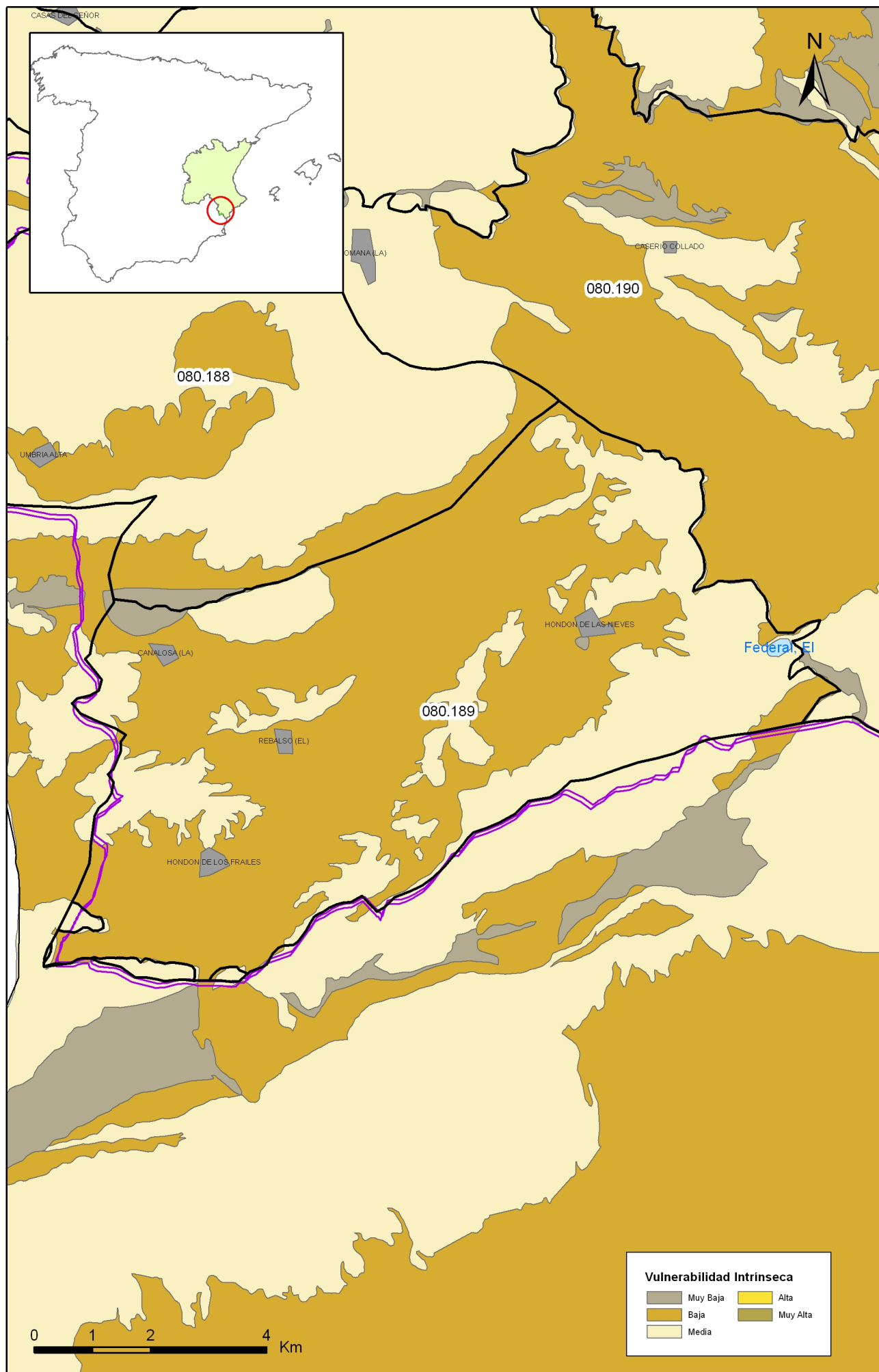
Mapa de vulnerabilidad intrínseca



Mapa 4.1 Mapa de suelos de la masa Sierra de Crevillente (080.189)



Mapa 4.2 Mapa de espesores de la zona no saturada de la masa Sierra de Crevillente (080.189)



Mapa 4.3 Mapa de vulnerabilidad intrínseca de la masa Sierra de Crevillente (080.189)

5.- PIEZOMETRÍA. VARIACIÓN DEL ALMACENAMIENTO

Red de seguimiento:

Nº Puntos:	Densidad Espacial (por 100 km ²):	Periodo:
2	2,95	1977-2008

Frecuencia de medidas:	Organismo que opera la red:
Mensual	DGA-IGME

Origen de la información: Reporting de Marzo de 2007 para cumplimiento del Artículo 8 de la DMA.

Análisis de tendencias: No hay una tendencia clara..

Evolución del llenado: El índice de llenado refleja un descenso en el período 2004-07..

Características piezométricas:

Isopiezas	Año	Nº Puntos	Nivel piezométrico (m.s.n.m)		Diferencia (max-min) (m)	Rango de oscilación estacional (m)	Sentido de flujo	Gradiente (1)
			Max.	Min.				
De referencia	1987	2	59,90	-46,00	105,90	28	Flujo concéntrico hacia el r	
Recientes estiaje	2007	3	34,80	-45,80	80,60	9,1		0,03%*
Recientes periodo húmedo	2007	3	37,50	-41,30	78,80	9,1		0,03%*
De año seco	1994	2	142,10	-32,90	175,00	88,9		
De año húmedo	1989	2	71,70	79,40	52,30	21,7		

(1) Gradiente medio en el sentido del flujo principal

Origen de la información CHJ. Red de seguimiento piezométrico. IGME. Base de datos de Agua.

Observaciones: *Gradiente a partir de la piezometría de síntesis.

Estado/variación del almacenamiento:

Acuífero	Evolución

Origen información: BB.DD. de piezometría DGA-MMA (2007) según metodología de Informes de coyuntura anuales del MMA (en: http://www.mma.es/portal/secciones/info_estadistica_ambiental/estadisticas_info/informes_coyuntura/info_rme_anual/index.jsp)

Origen de la información de piezometría:

Biblioteca	Cod. Biblioteca	Fecha	Título

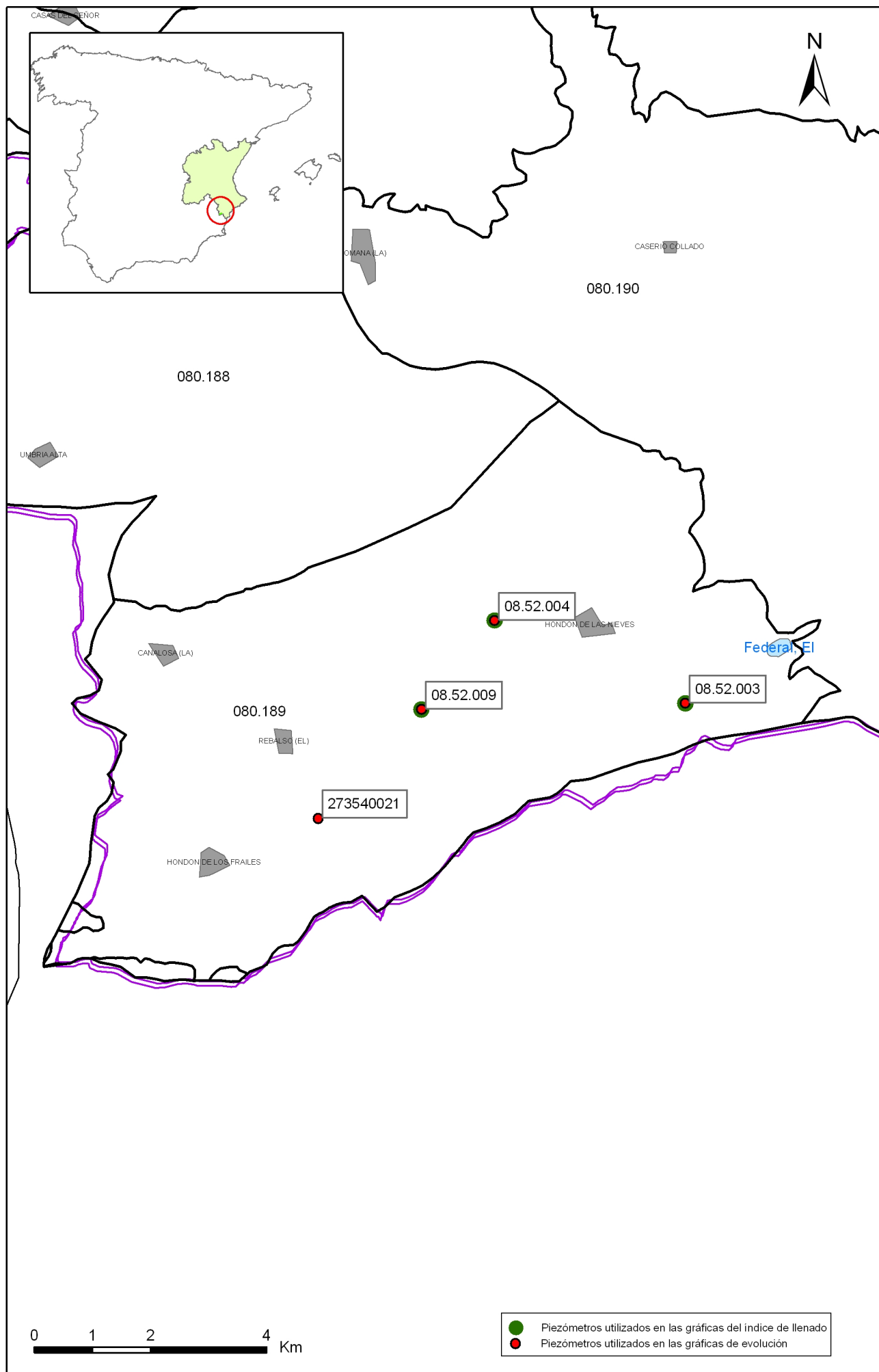
Información gráfica y adicional:

Gráficas de evolución piezométrica

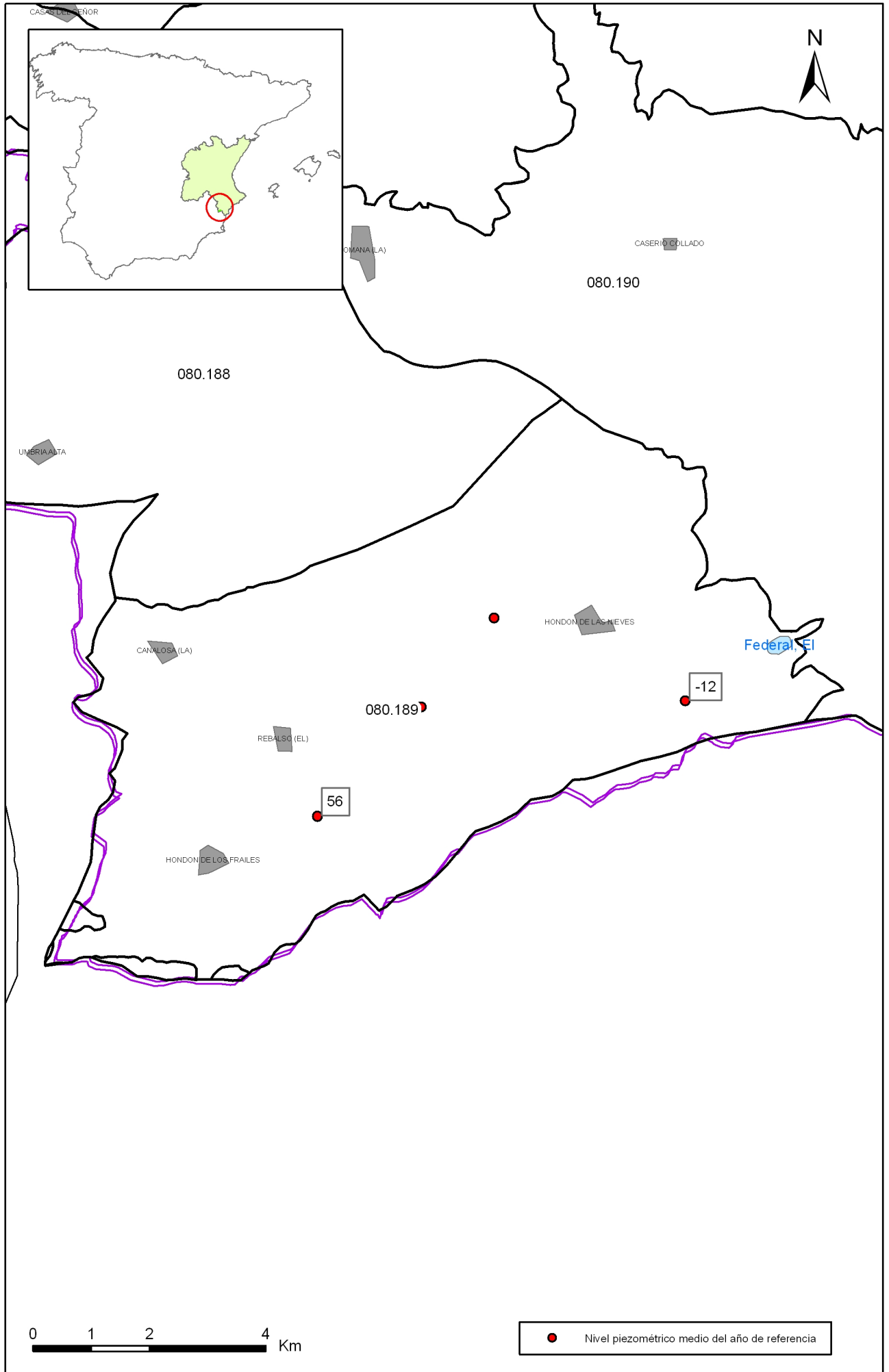
Mapas piezométricos o de isopiezas (referencia, actual, año húmedo, seco, etc.)

Otros mapas de isopiezas

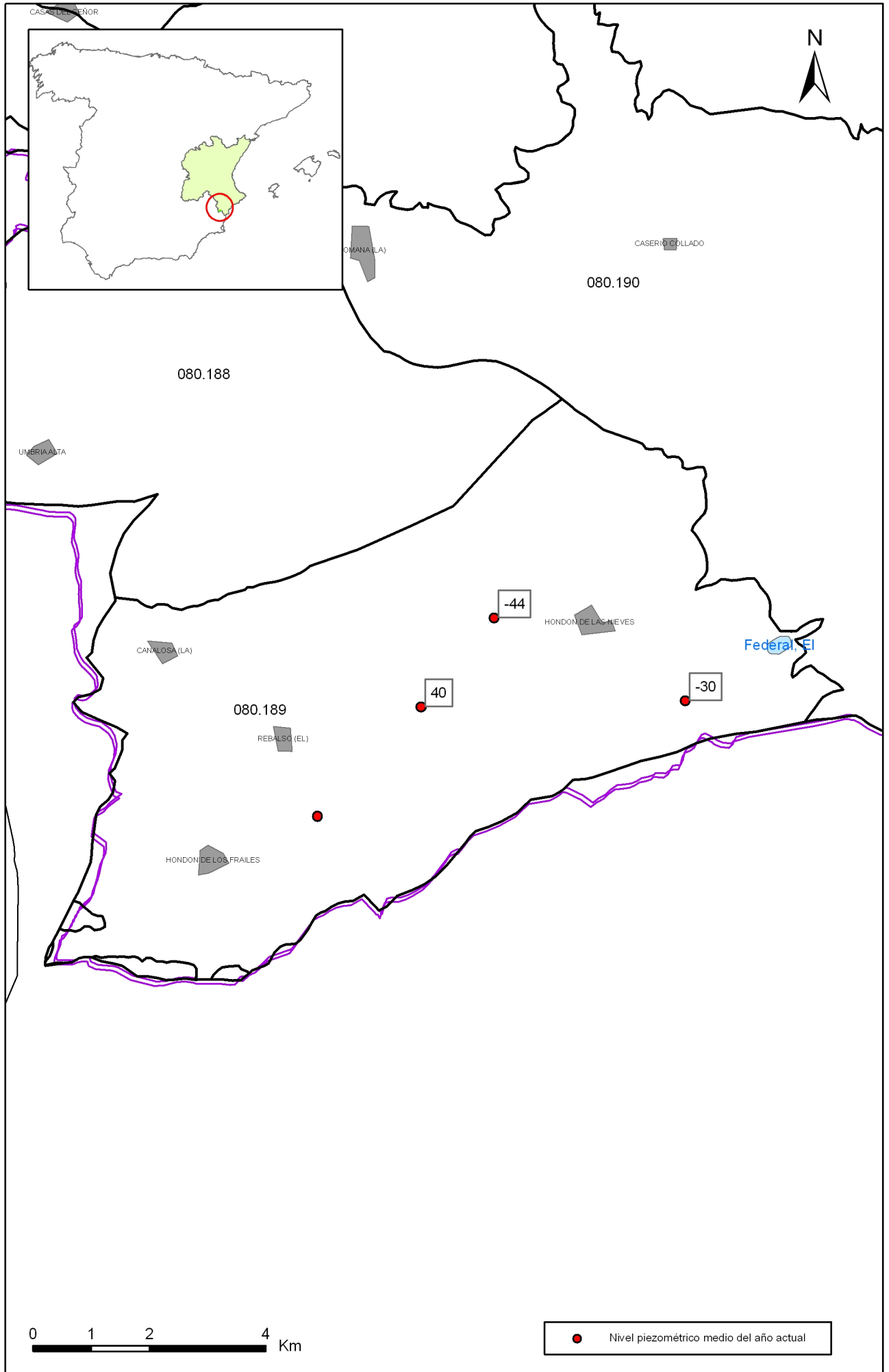
Gráficas de evolución del índice de llenado



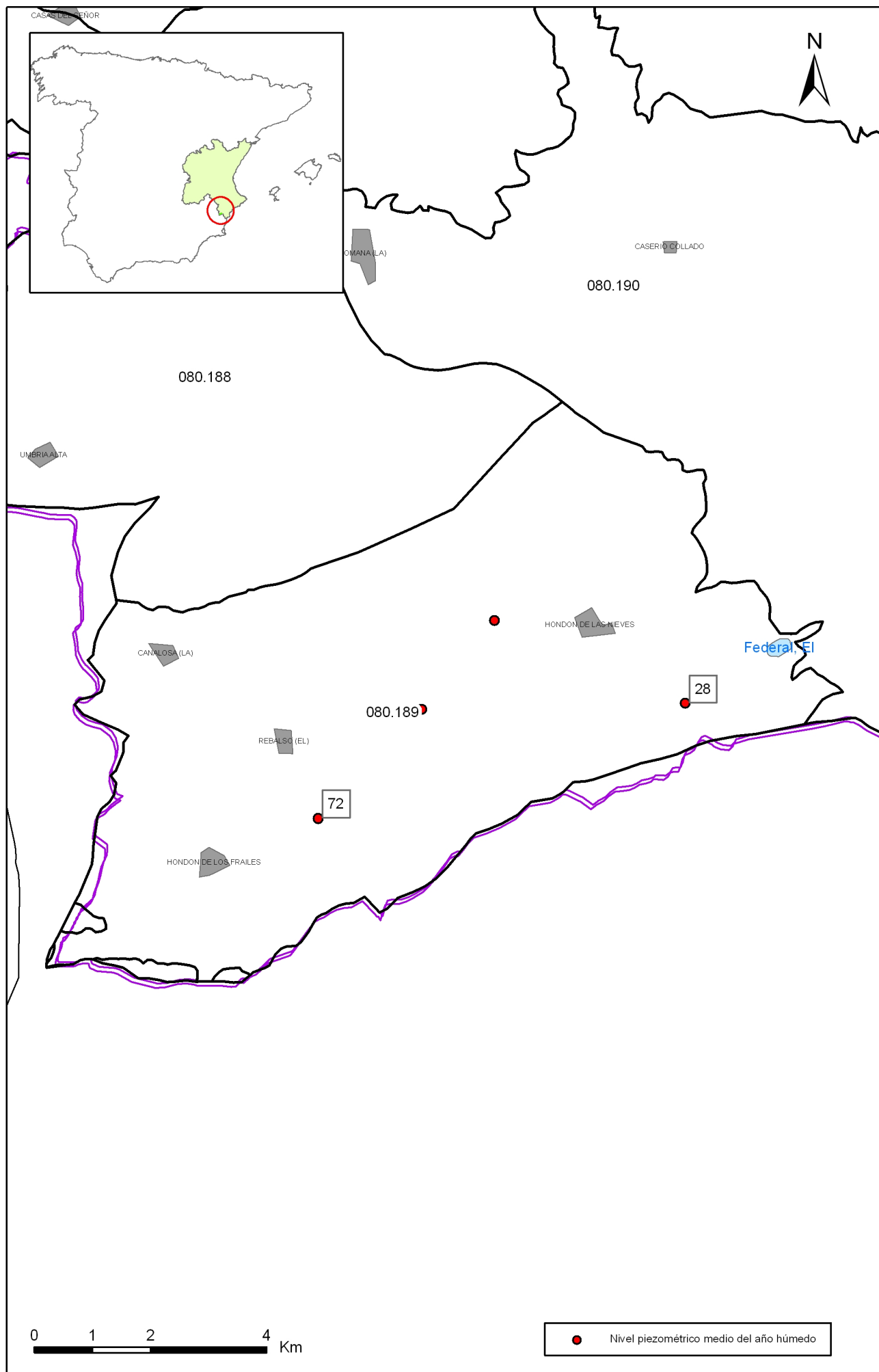
Mapa 5.1 Mapa de situación de piezómetros utilizados para la gráfica de evolución e índice de llenado de la masa Sierra de Crevillente (080.189)



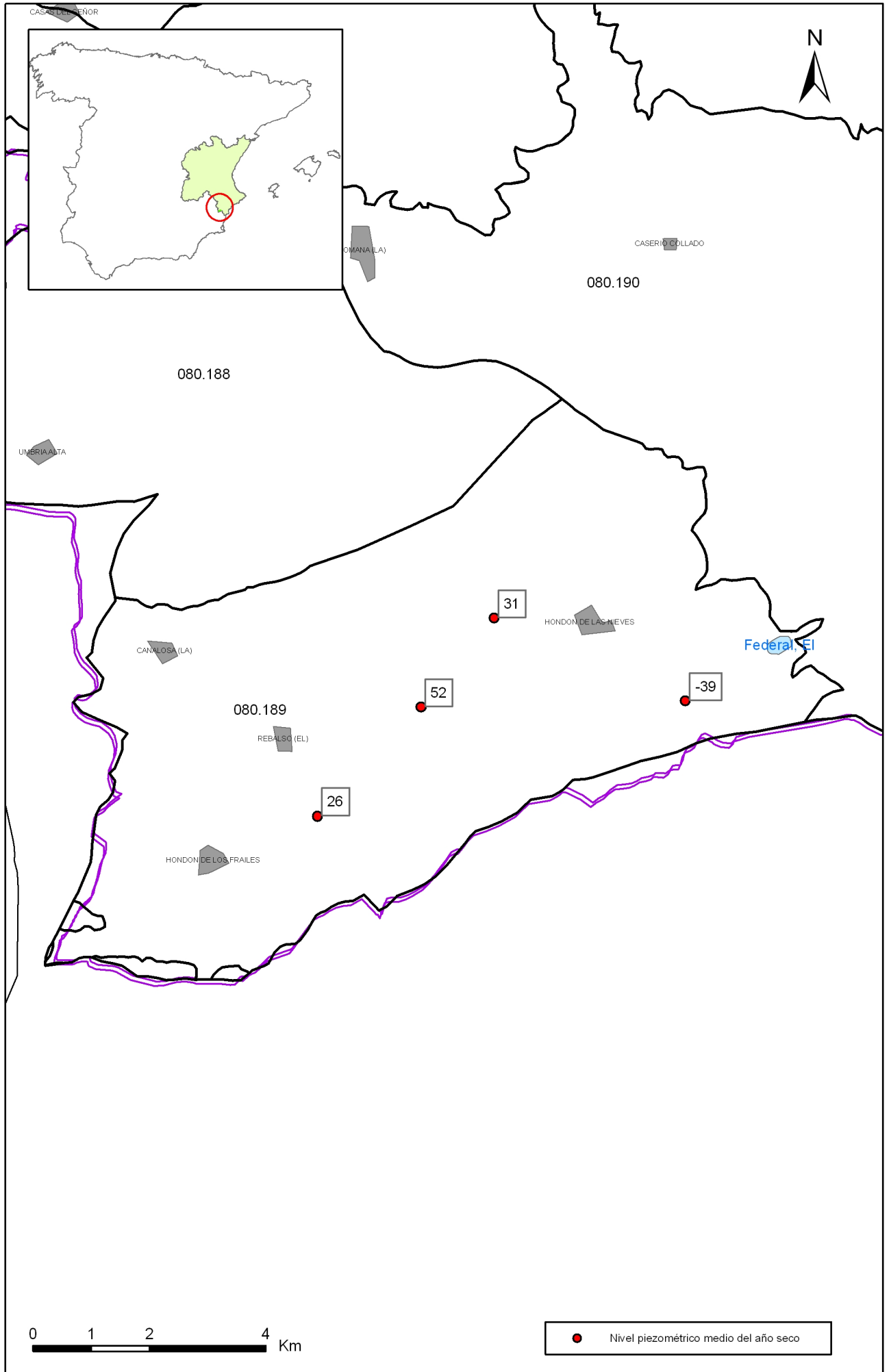
Mapa 5.2.a Mapa de puntos de información del nivel medio de agua del año de referencia de la masa Sierra de Crevillente (080.189)



Mapa 5.2.b Mapa de puntos de información del nivel medio de agua del año actual de la masa Sierra de Crevillente (080.189)

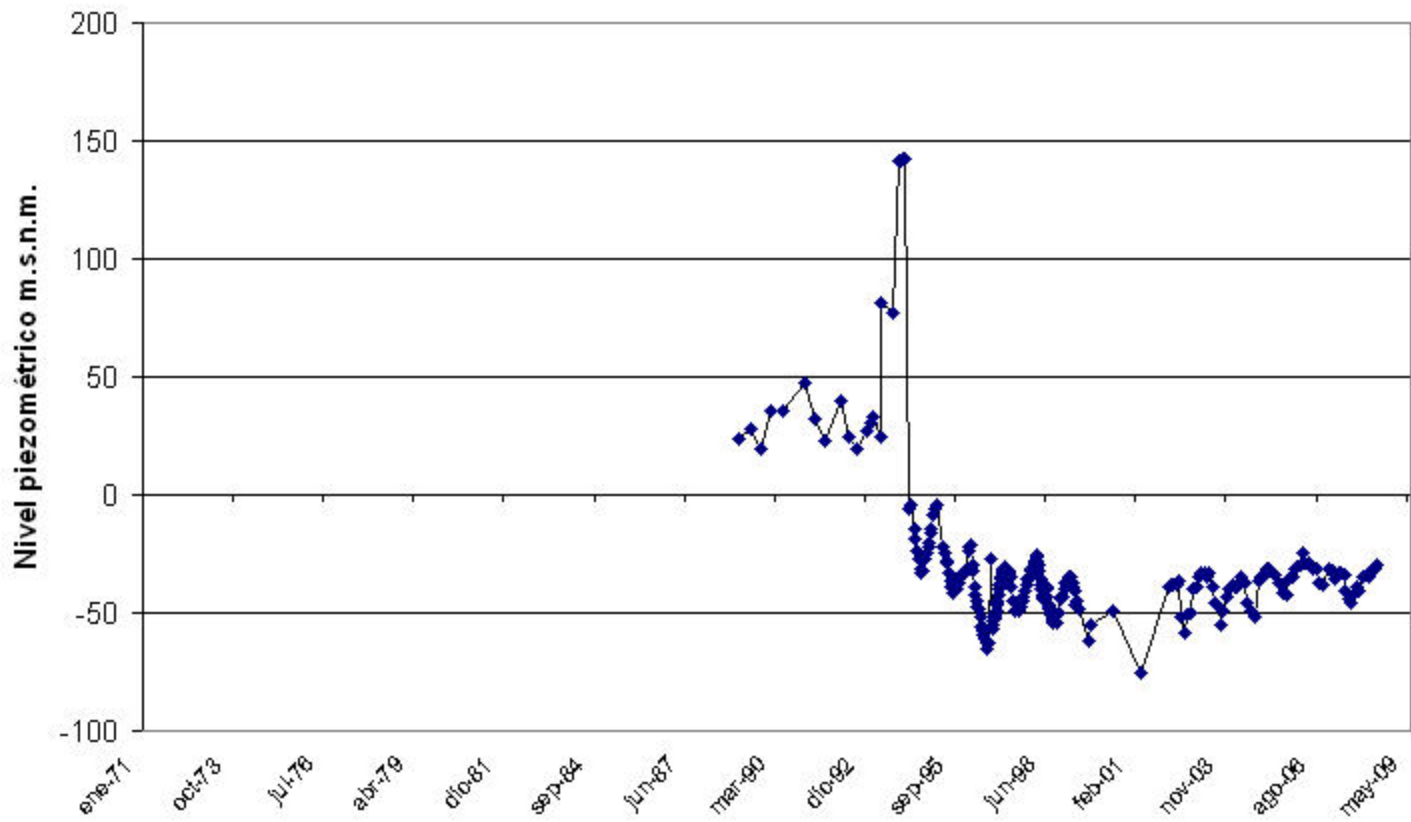


Mapa 5.2.c Mapa de puntos de información del nivel medio de agua del año húmedo de la masa Sierra de Crevillente (080.189)

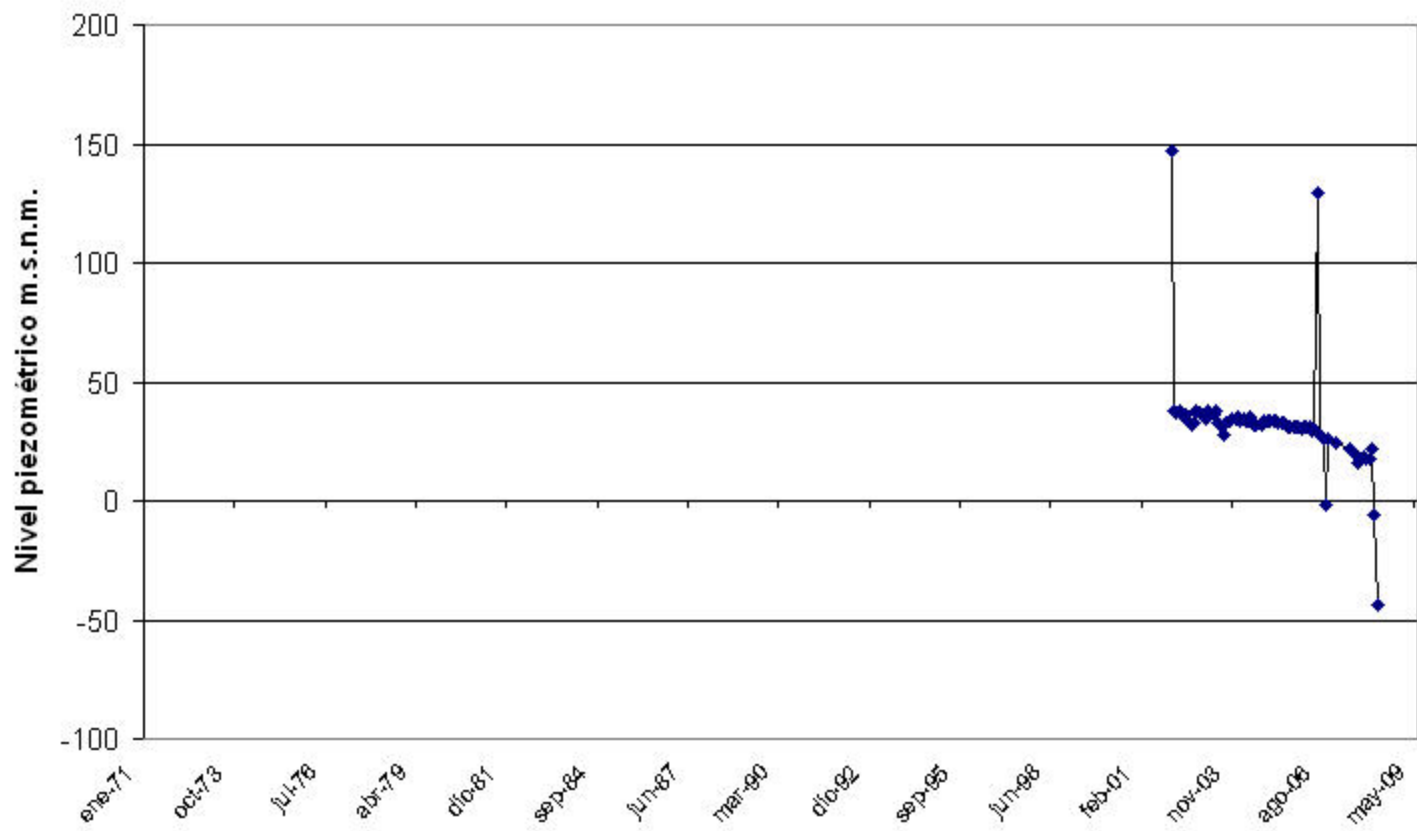


Mapa 5.2.d Mapa de puntos de información del nivel medio de agua del año seco de la masa Sierra de Crevillente (080.189)

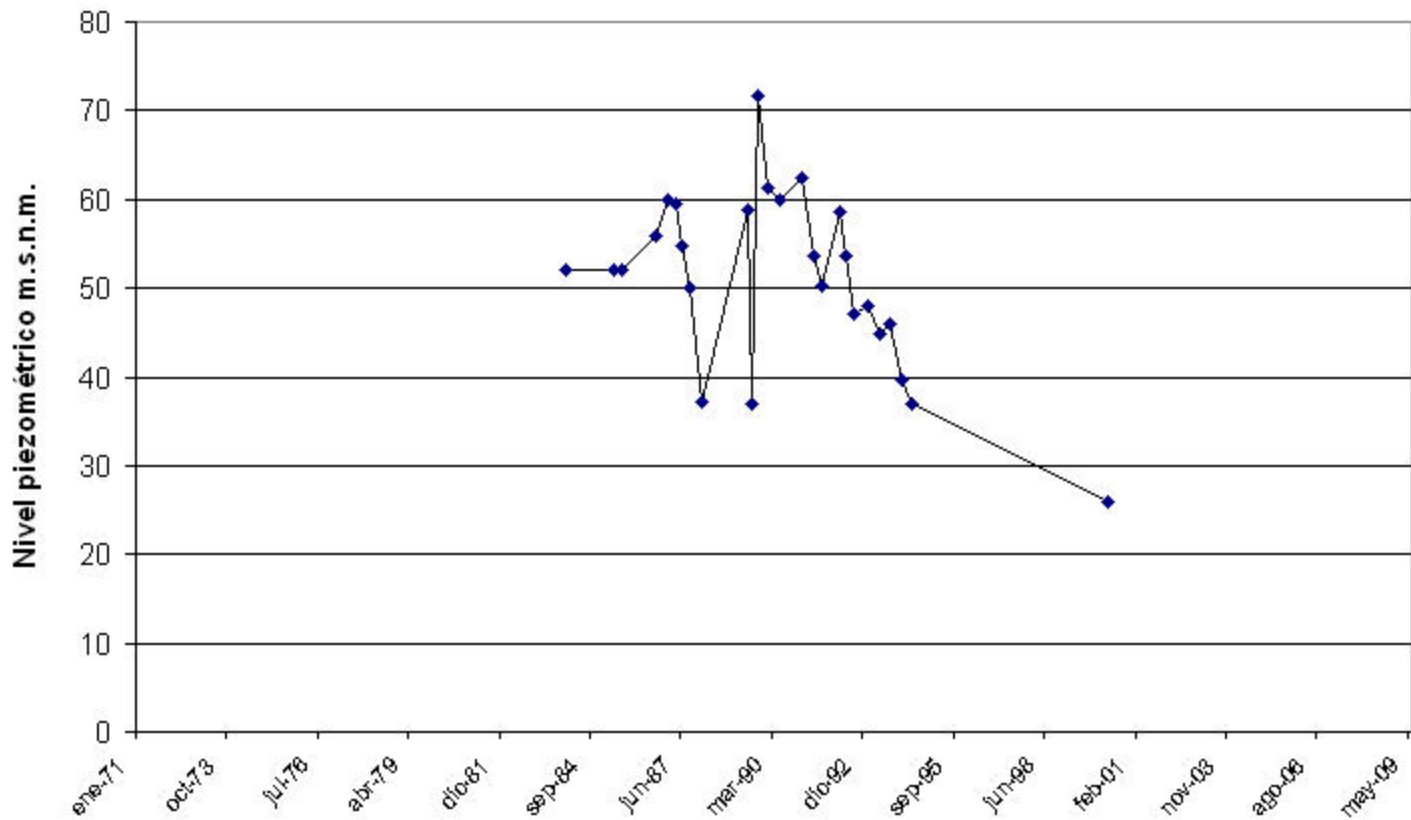
PIEZÓMETRO 08.52.003 (283510005)



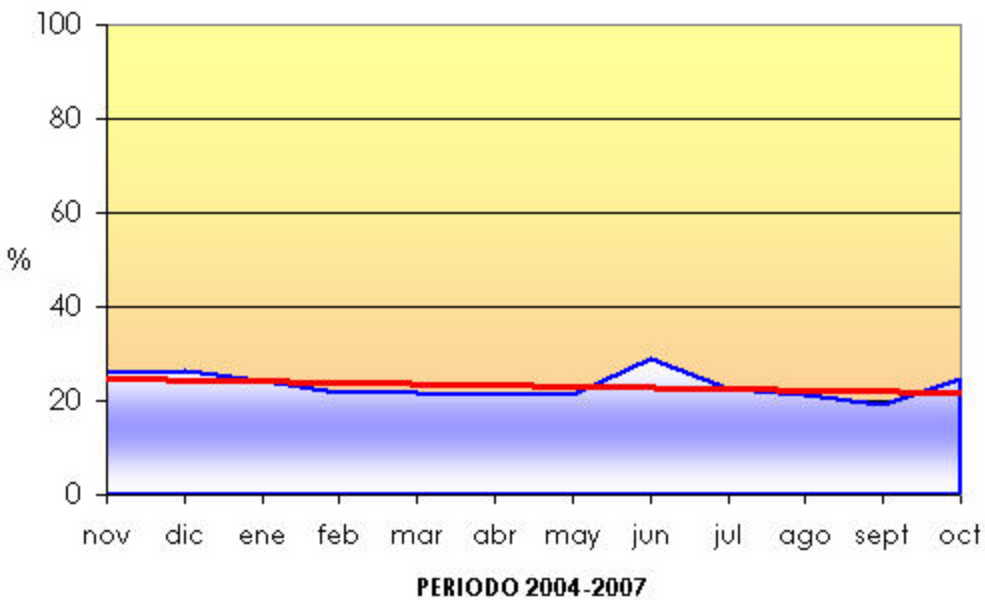
PIEZÓMETRO 08.52.004



PIEZÓMETRO 273540021



80.189



6.- SISTEMAS DE SUPERFICIE ASOCIADOS Y ECOSISTEMAS DEPENDIENTES

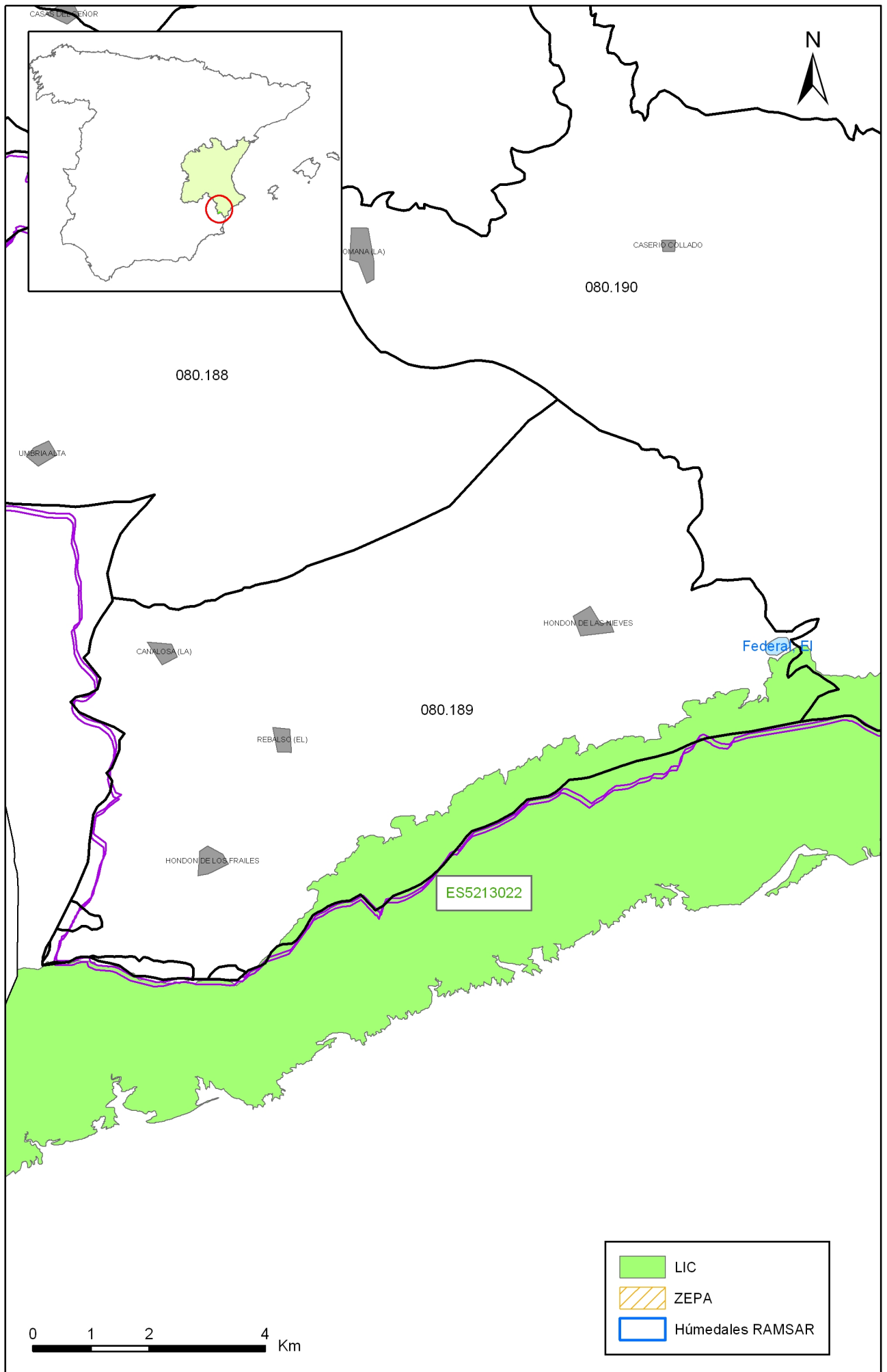
Tipo	Nombre	Código	Fecha o periodo	Zona de transferencia	Tasa de transferencia (hm ³ /año)	Observaciones
Ecosistemas terrestres	Serra de Crevillente	ES5213022				LIC
Ecosistemas costeros	Cap de l'Horta	ES5213032				LIC
Zonas húmedas	El Fondo de Crevillent-Elx	ES0000058				LIC ZEPA RAMSAR
Zonas húmedas	Les Salinas de Santa Pola	ES0000120				LIC ZEPA RAMSAR

Origen de la información de sistemas de superficie asociados:

Biblioteca	Cod. Biblioteca	Fecha	Título

Información Gráfica:

- Mapa de ecosistemas dependientes



Mapa 6.1 Mapa de situación de ecosistemas dependientes de aguas subterráneas de la masa Sierra de Crevillente (080.189)

7.-RECARGA

Componente	hm3/año	Periodo	Método de cálculo	Fuente de información
Infiltración de lluvia	1,0	1981-2005	PATRICAL	CHJ
Retorno de riego				
Recarga desde ríos, lagos y embalses				
Aportación lateral de otras masas				
Otros				
Tasa recarga (valor medio interanual)	1,0	1981-2005	PATRICAL	CHJ

Origen de la información de recarga:

Observaciones sobre la información de recarga:

Origen de la información de recarga:

Biblioteca	Cod. Biblioteca	Fecha	Título

Información gráfica:

- Mapa de áreas de recarga

8.-RECARGA ARTIFICIAL

Periodo de operación	Sistema de recarga	Volumen anual (hm3)	Origen agua de recarga	Composición química del agua de recarga

Origen de la información de recarga:

Biblioteca	Cod. Biblioteca	Fecha	Título

Información gráfica:

- Mapa de instalaciones de recarga

9.-EXPLOTACIÓN DE LAS AGUAS SUBTERRÁNEAS

Extracciones por bombeo:

Año	Aprovechamiento de agua subterránea según uso y volumen anual											
	Abastecimiento población		Agricultura y ganadería		Industria		Uso recreativo		Otros		TOTAL	
	nº	hm3	nº	hm3	nº	hm3	nº	hm3	nº	hm3	nº	hm3

Origen principal de la información:

Origen de la información de extracciones:

Biblioteca	Cod. Biblioteca	Fecha	Título

Derechos de uso inscritos:

Tipo de derecho	Aprovechamiento de agua subterránea según uso y volumen anual											
	Abastecimiento población		Agricultura y ganadería		Industria		Uso recreativo		Otros		TOTAL	
	nº	hm3	nº	hm3	nº	hm3	nº	hm3	nº	hm3	nº	hm3
En registro de Aguas (Sec. A y C)												
En catálogo Aprovech.												
< 7.000 m3/a												
Total												

Origen y fecha de la información:

10. CALIDAD QUÍMICA DE REFERENCIA

Niveles de referencia:

Parámetro	Nº estaciones / Nºmuestras	Valor del parámetro							Periodo	Observacion- es
		máximo	medio	mínimo	mediana	Perc. 25	Perc. 75	Perc. 90		
Temperatura (°C)	6/ 14	26,0	22,7	13,9	23,6	22,9	24,3	25,0	1.992/ 2.007	
pH (Ud. pH)	/								/	
Conductividad eléctrica a 20° C (µS/cm)	5/ 25	3.680	2.162	953	2.150	1.850	2.490	2.675	1.979/ 2.002	
O2 disuelto (mg /L)	/								/	
DQO (mg O2/L)	/								/	
Dureza Total CO3Ca (mg /L)	/								/	
Alcalinidad CO3Ca (mg /L)	/								/	
Bicarbonatos CO3Ca (mg /L)	/								/	
Sodio (mg/L)	/								/	
Potasio (mg/L)	/								/	
Calcio (mg/L)	/								/	
Magnesio (mg/L)	/								/	
Nitrato (mg/L)	10/ 33	35,8	14,9	2,0	13,0	8,0	20,0	29,0	1.979/ 2.007	
Arsénico (mg/L)	/								/	
Cadmio (mg/L)	/ 7	12,00000	0,01000	0,00000	0,00000	0,00000	0,01000	0,01000	1993/ 2007	
Plomo (mg/L)	7/ 14	0,02000	0,01000	0,00000	0,00000	0,00000	0,01000	0,02000	1.991/ 2.007	
Mercurio (mg/L)	8/ 13	0,01000	0,00000	0,00000	0,00000	0,00000	0,00000	0,00000	1.993/ 2.007	
Amonio total (mg NH4/L)	3/ 16	0,3	0,1	0,0	0,0	0,0	0,1	0,1	1.990/ 2.002	
Cloruro (mg/L)	10/ 36	1.065,0	478,3	141,0	447,0	369,0	570,0	725,1	1.979/ 2.007	
Sulfato (mg/L)	10/ 36	492,0	257,2	61,0	247,5	200,0	312,8	370,0	1.979/ 2.007	
DIAZINON	1/ 1	7,81000	7,81000	7,81000	7,81000	7,81000	7,81000	7,81000	1.997/ 1.997	
Endosulfán (suma isómeros alfa, beta y sulfato)	3/ 3	85	28	0	0	0	85	85	1.997/ 2.006	
ETION	1/ 1	9,30000	9,30000	9,30000	9,30000	9,30000	9,30000	9,30000	1.997/ 1.997	
Heptacloro	1/ 1	3,47000	3,47000	3,47000	3,47000	3,47000	3,47000	3,47000	1.997/ 1.997	
Hexaclorobenceno (HCB, Perclorobenceno)	3/ 3	2,00000	0,66667	0,00000	0,00000	0,00000	2,00000	2,00000	1.997/ 2.006	
Hexaclorociclohexano (HCH) (suma isómeros)	2/ 2	1,00000	0,50000	0,00000	0,50000	0,00000	1,00000	1,00000	2.004/ 2.006	
pp'-DDT	1/ 1	19,19	19,19	19,19	19,19	19,19	19,19	19,19	1.997/ 1.997	

- Origen de la información:

Tratamiento estadístico realizado por el MMA. Base de datos de calidad del MMA 2008

Niveles básicos:

Parámetro	Nº estaciones / Nºmuestras	Valor del parámetro							Periodo	Observaciones
		máximo	medio	mínimo	mediana	Perc. 25	Perc. 75	Perc. 90		
Temperatura agua(°C)	/								/	
pH (Ud. pH)	/								/	
Conductividad eléctrica a 20° C (µS/cm)	/								/	
O2 disuelto (mg /L)	/								/	
DQO (mg O2/L)	/								/	
Dureza Total CO3Ca (mg /L)	/								/	
Alcalinidad CO3Ca (mg /L)	/								/	
Bicarbonatos CO3Ca (mg /L)	/								/	
Sodio (mg/L)	/								/	
Potasio (mg/L)	/								/	
Calcio (mg/L)	/								/	
Magnesio (mg/L)	/								/	
Nitrato (mg/L)	/								/	
Plaguicidas individuales(detallar) (mg/L)	/								/	
Total plaguicidas (µg/L)	/								/	
Arsénico (mg/L)	/								/	
Cadmio (mg/L)	/								/	
Plomo (mg/L)	/								/	
Mercurio (mg/L)	/								/	
Amonio(mgNH4/L)	/								/	
Cloruro (mg/L)	/								/	
Sulfato (mg/L)	/								/	
Tricloroetileno (µg/L)	/								/	
Tetracloroetileno (µg/L)	/								/	
	/								/	

- Origen de la información:

Estratificación del agua subterránea:

Rango de profundidad (m)	Nitrato (mg/L)	Conductividad eléctrica (mS/cm)	Temperatura (°C)	Contaminantes orgánicos (Detallar)	Otros (Detallar)
/					

Origen de la información:

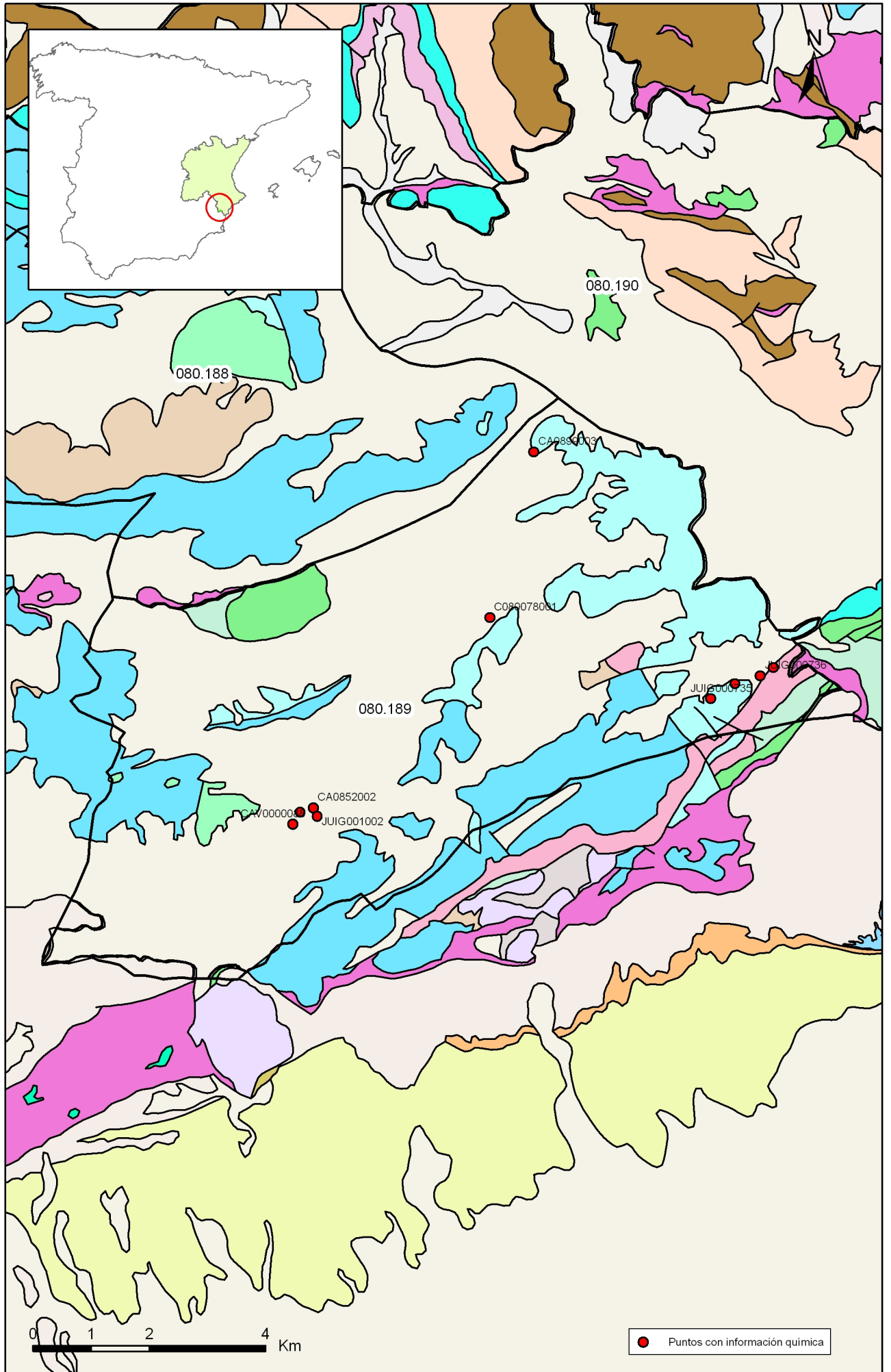
Biblioteca	Cod. Biblioteca	Fecha	Título

Información gráfica:

- Mapa de situación de estaciones para los niveles de referencia
- Calidad química de referencia (facies hidrogeoquímica)
- Calidad química de referencia (niveles de referencia)
- Gráficos de niveles de referencia

Observaciones:

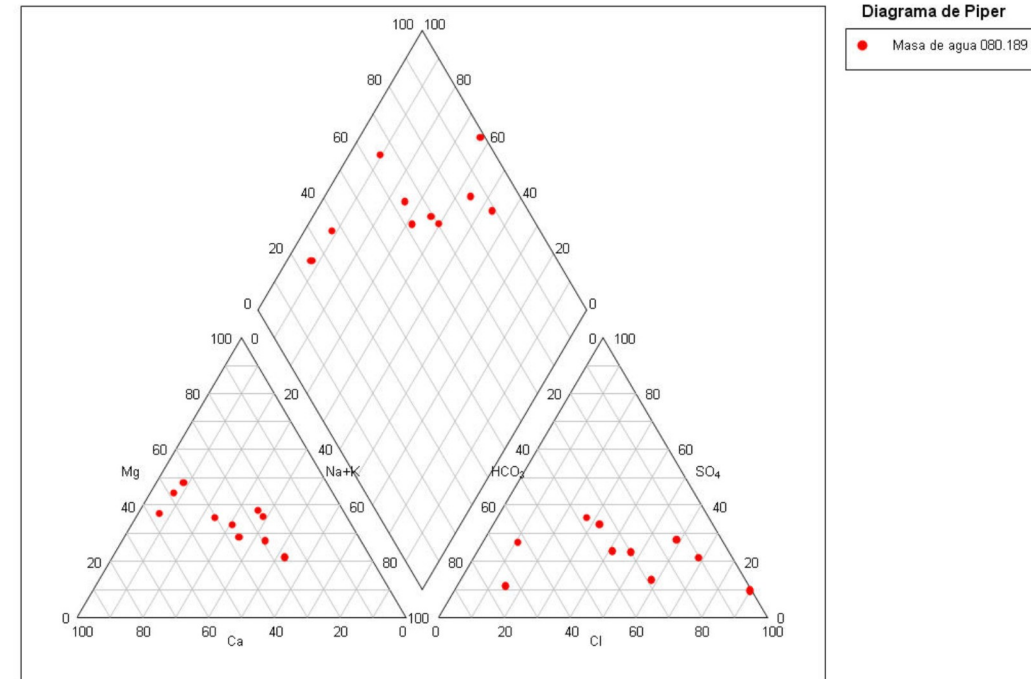
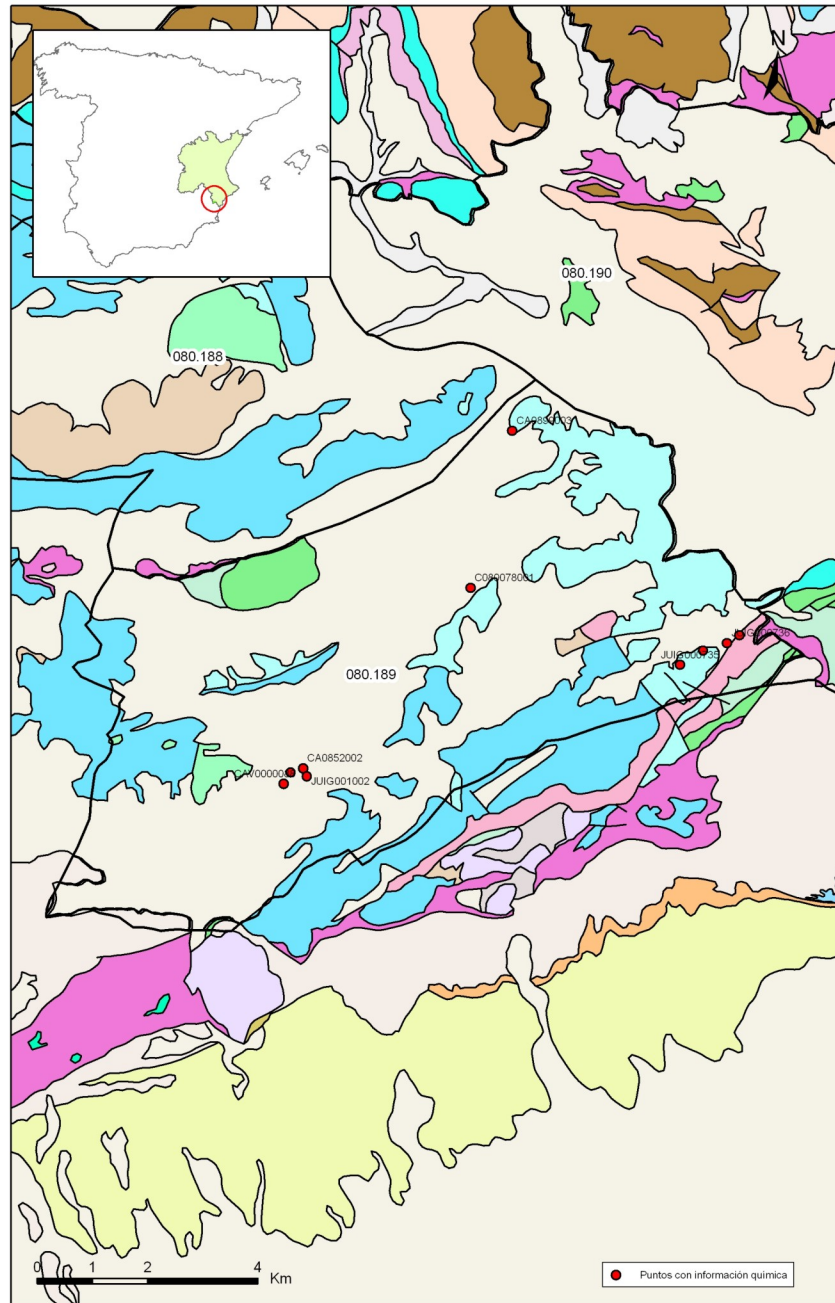
La denominación y cuantificación -unidades en que se expresan y valor- de todos los parámetros químicos debe efectuarse siguiendo las directrices de la ORDEN MAM/3207/2006, de 25 de septiembre, por la que se aprueba la instrucción técnica complementaria MMA-EECC-1/06 sobre determinaciones químicas y microbiológicas para el análisis de las aguas.



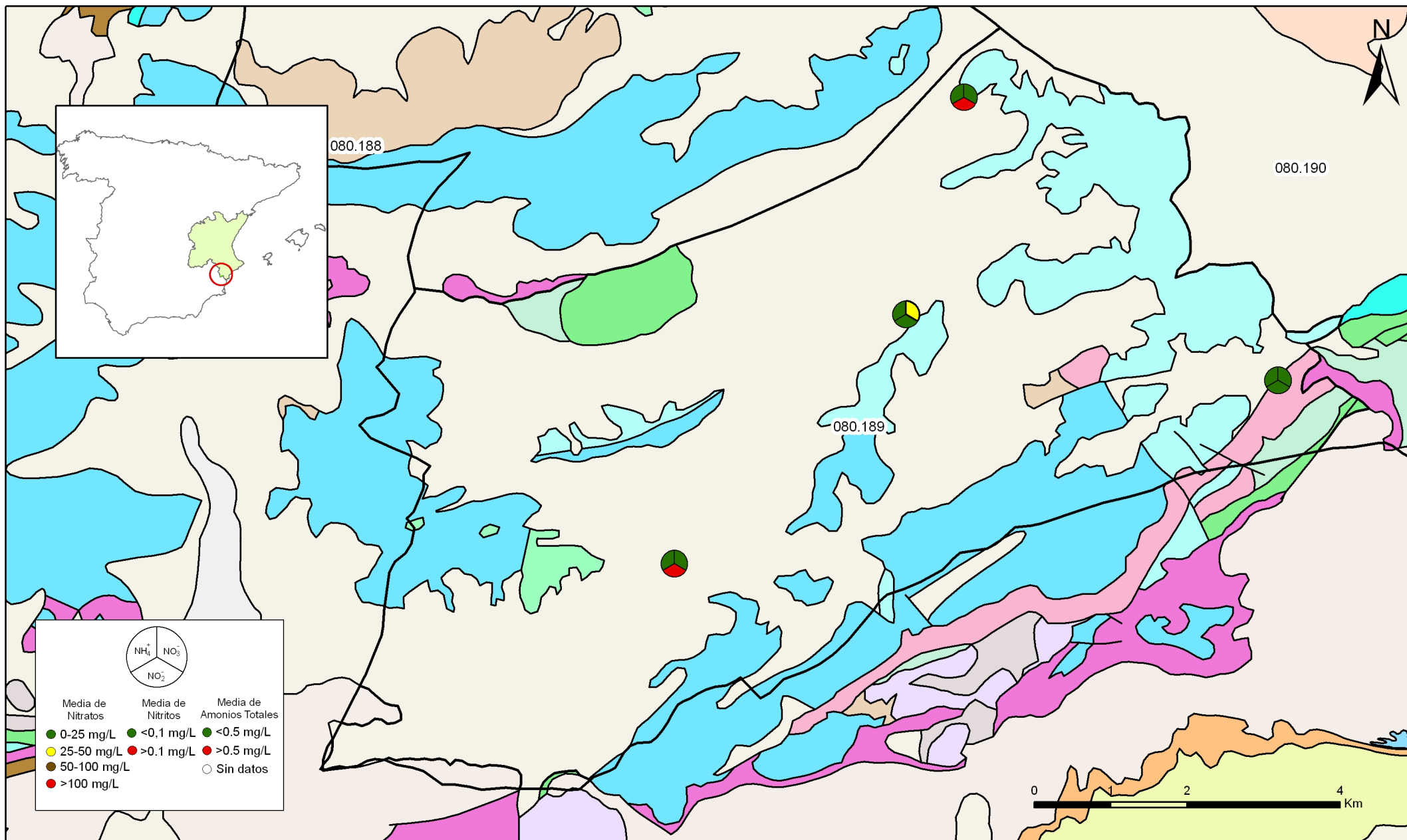
Mapa 10.1 Mapa de situación de puntos en la determinación de niveles de referencia de la masa Sierra de Crevillente (080.189)

FACIES HIDROGEOQUÍMICAS DOMINANTES EN LA MASA DE AGUA SUBTERRÁNEA

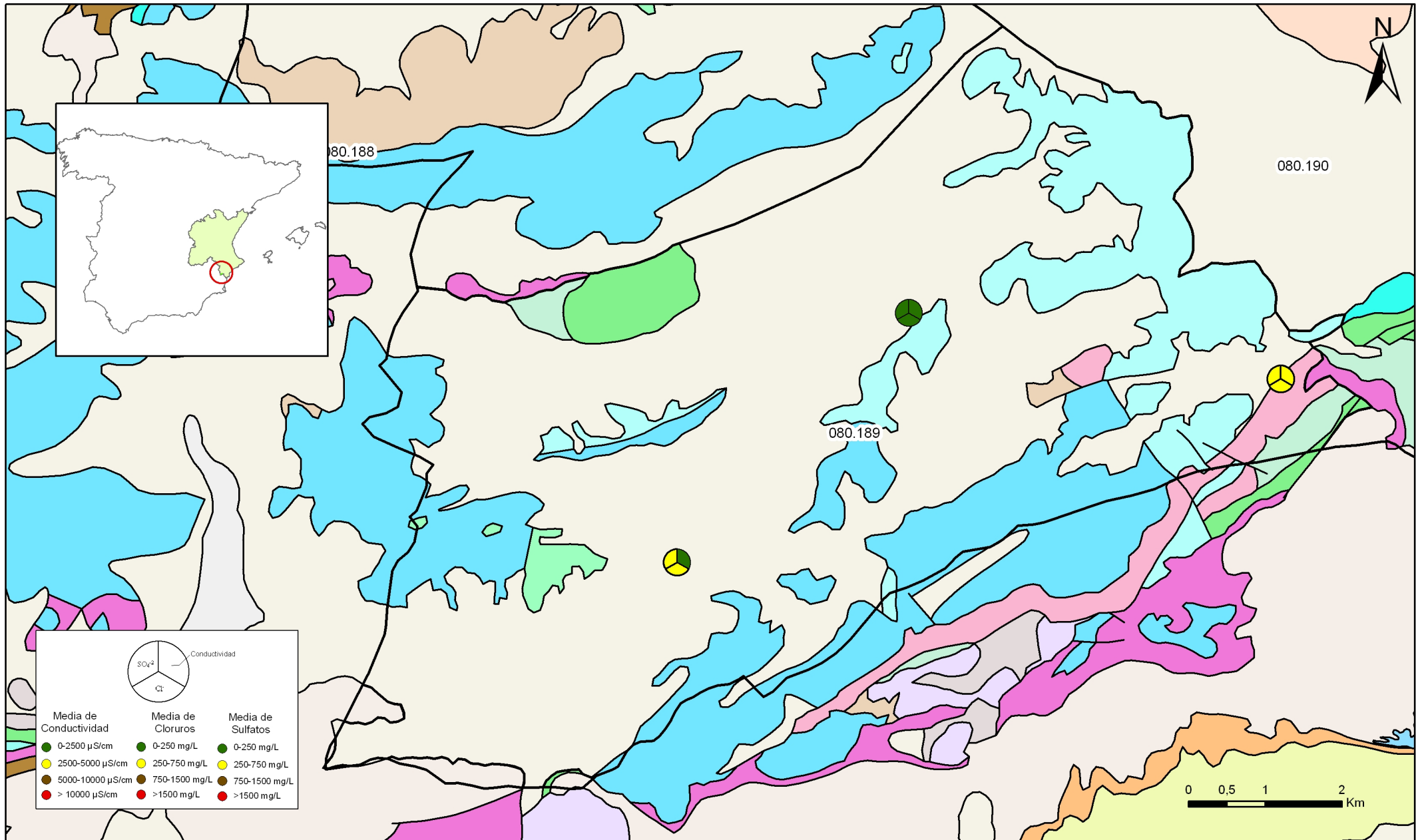
	Cálcica	Magnésica	Sódica
Bicarbonatada			
Sulfatada			
Clorurada			



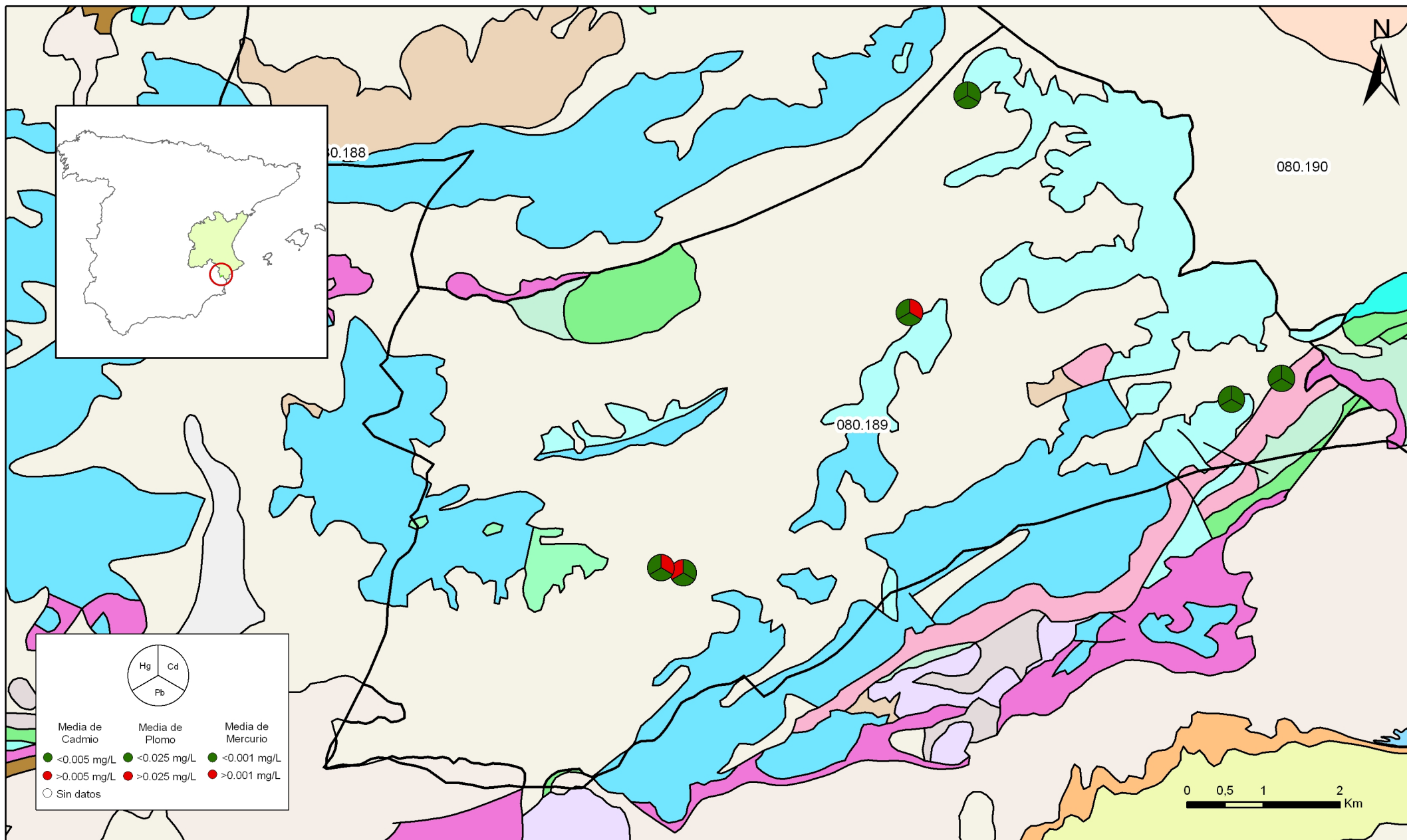
Mapa 10.1 Mapa de situación de puntos en la determinación de niveles de referencia de la masa Sierra de Crevillente (080.189)



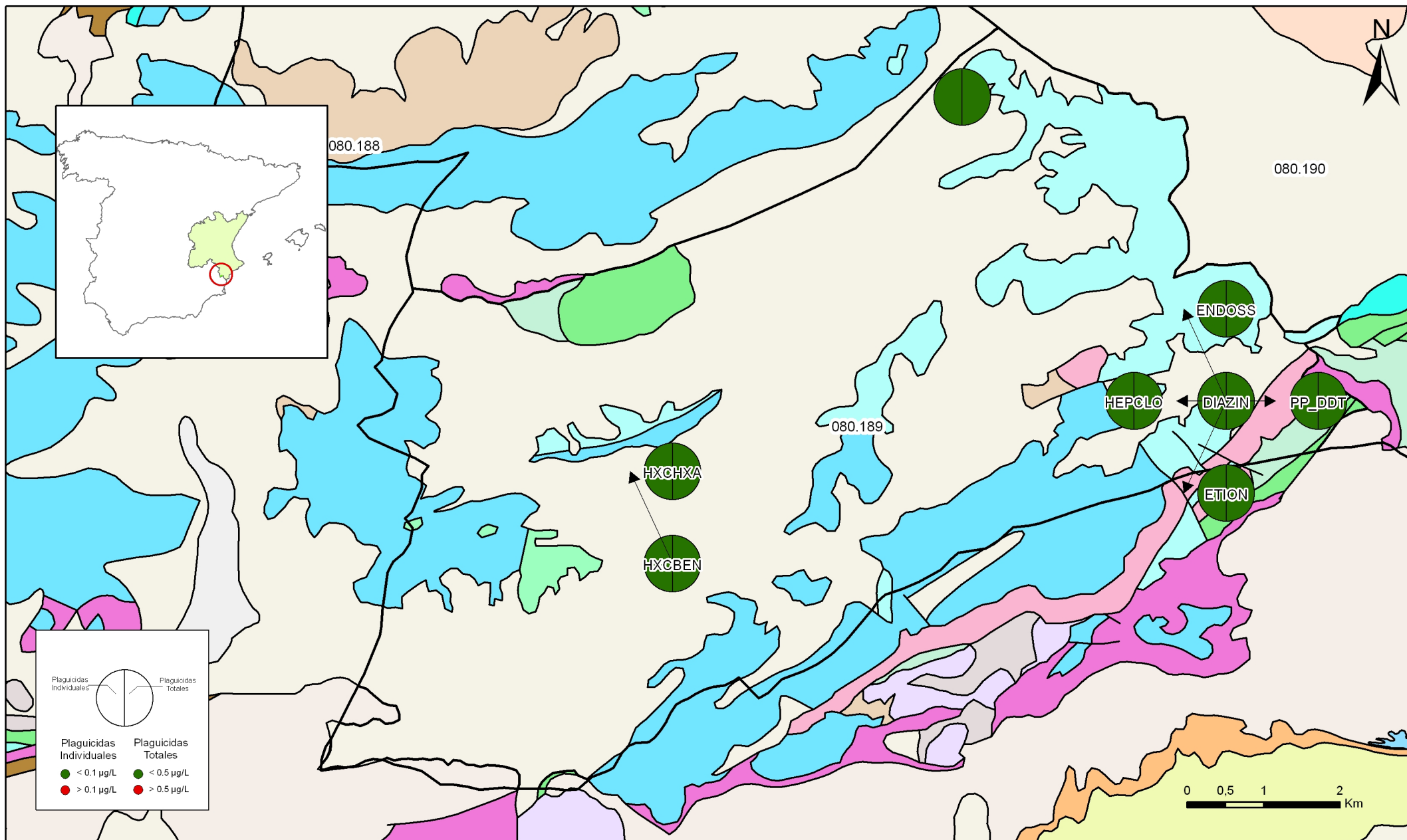
Mapa 10.3.1 Mapa de calidad química de referencia. Compuestos nitrogenados de la masa Sierra de Crevillente (080.189)



Mapa 10.3.2 Mapa de calidad química de referencia. Conductividad, cloruros y sulfatos de la masa Sierra de Crevillente (080.189)

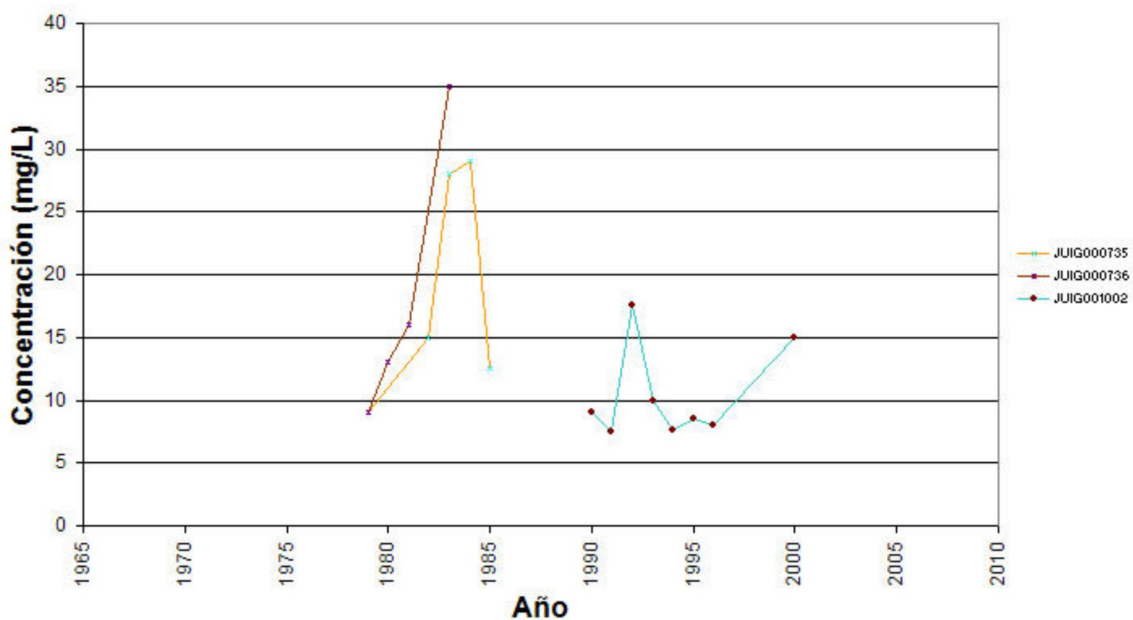


Mapa 10.3.3. Mapa de calidad química de referencia. Metales pesados de la masa Sierra de Crevillente (080.189)

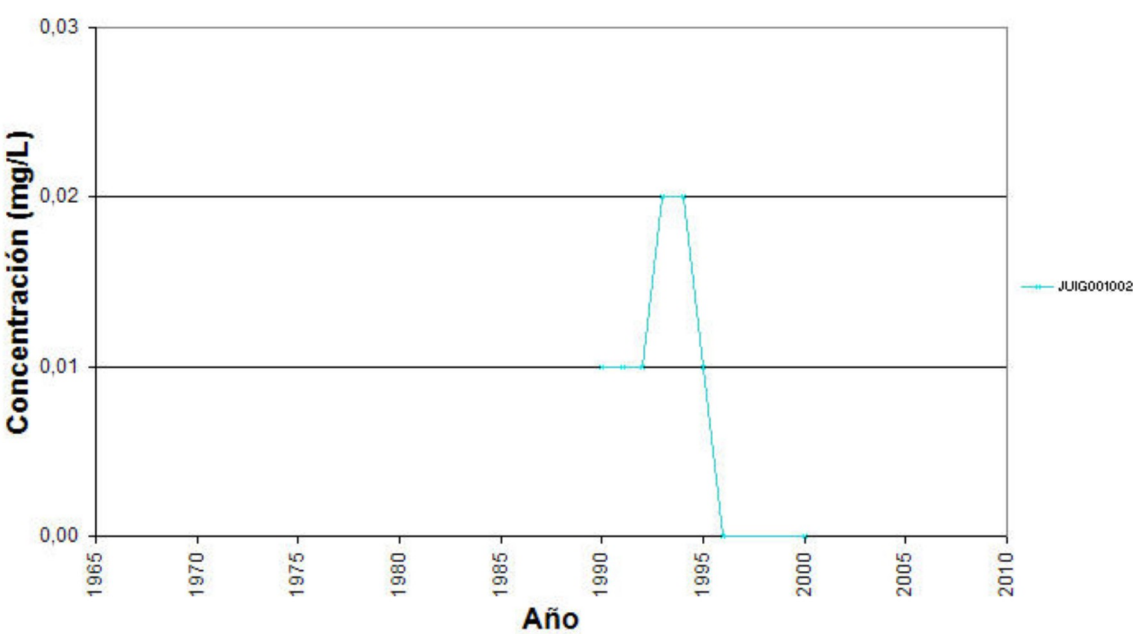


Mapa 10.3.4 Mapa de calidad química de referencia. Plaguicidas individuales y totales de la masa Sierra de Crevillente (080.189)

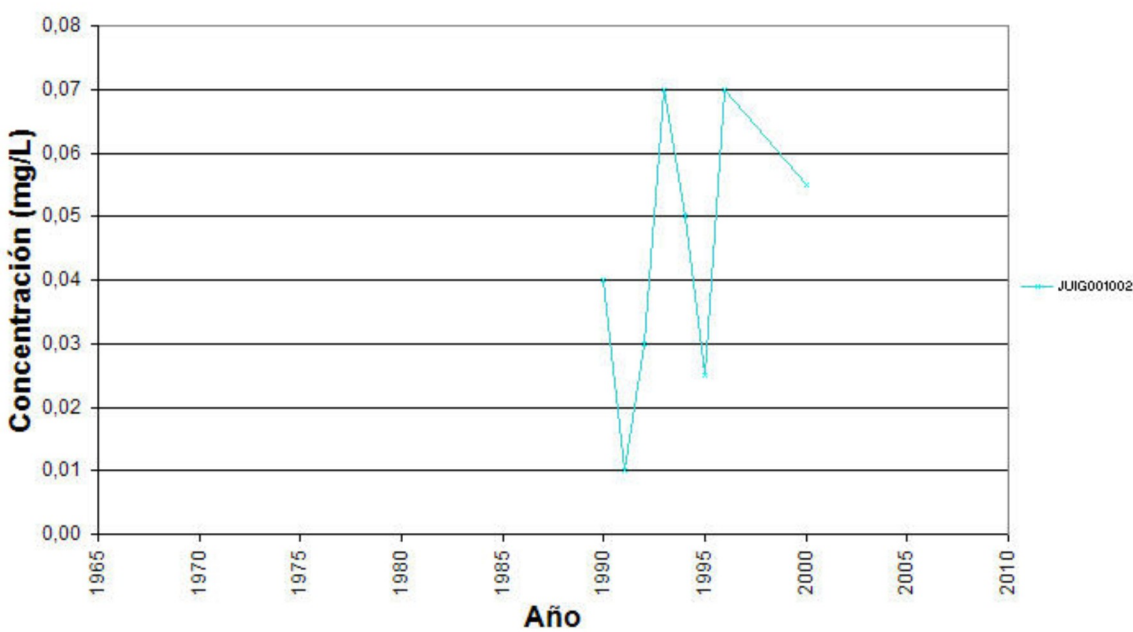
Nitratos



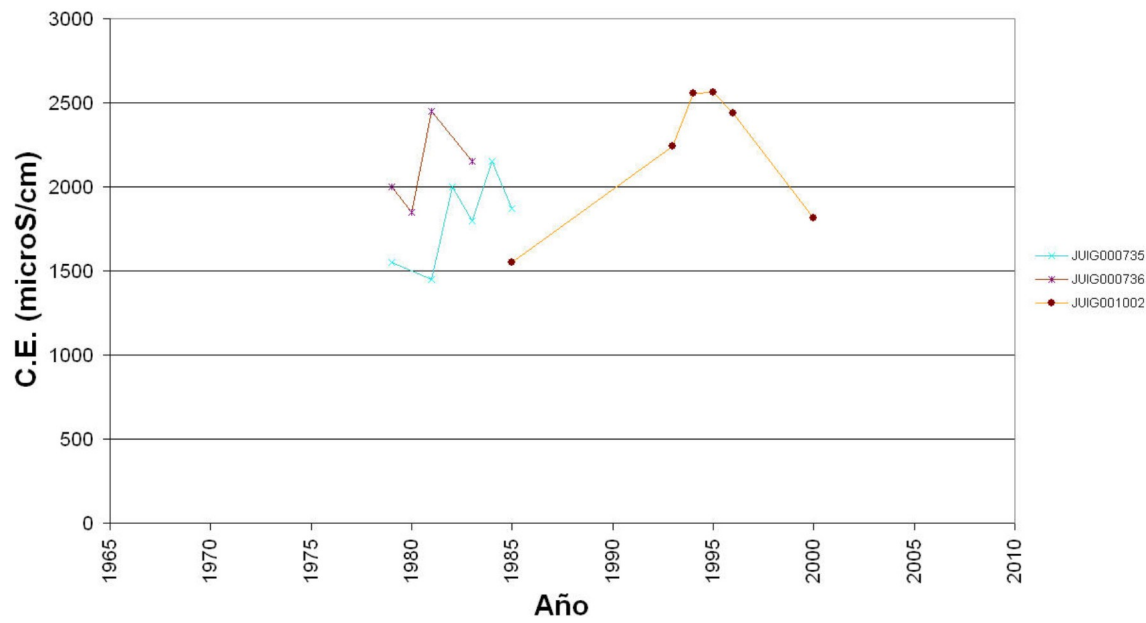
Nitritos



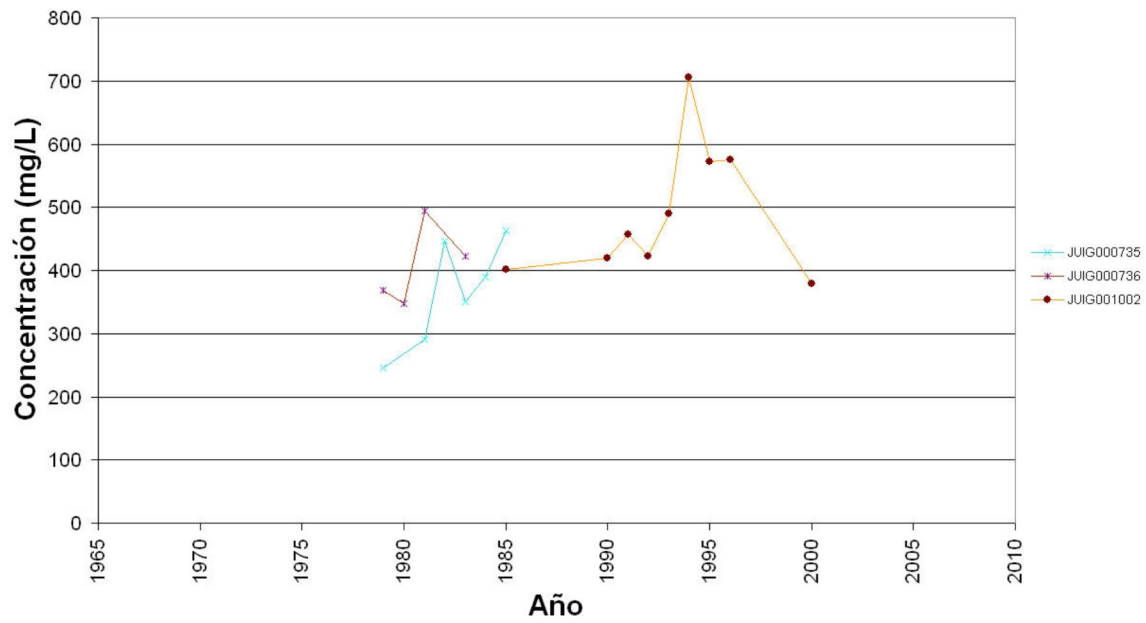
Amonio Total



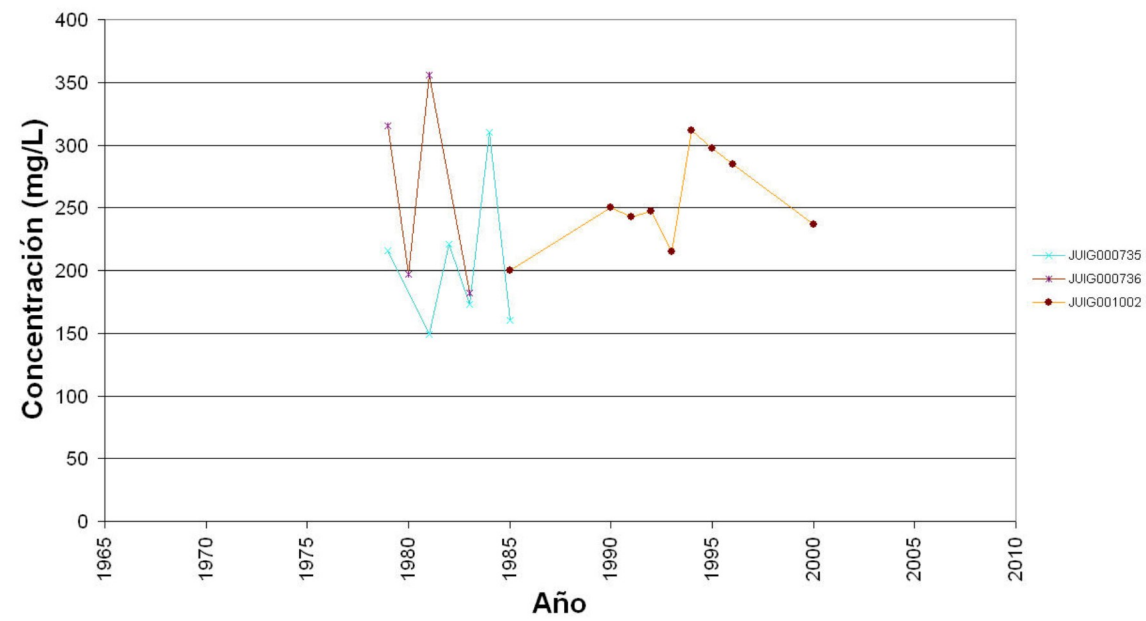
Conductividad



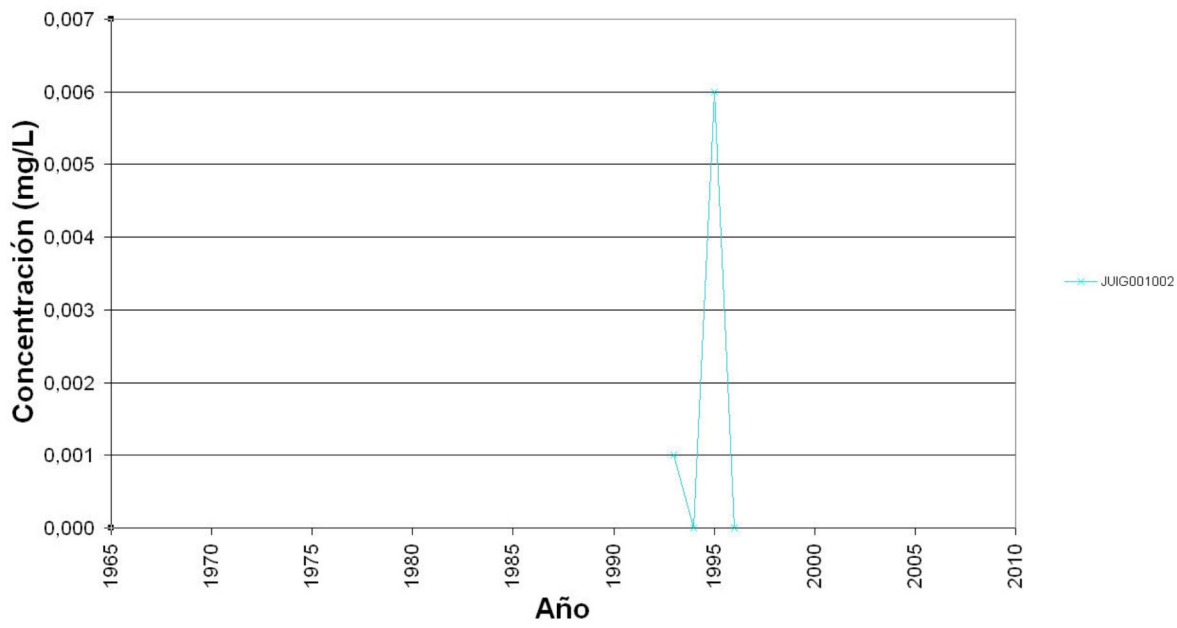
Cloruros



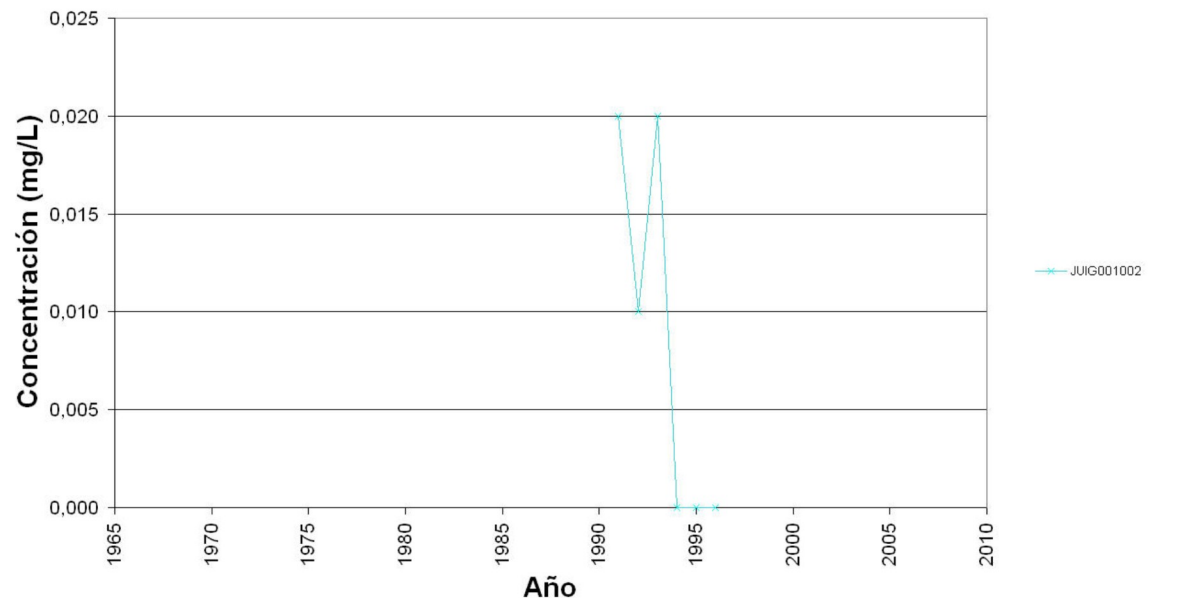
Sulfatos



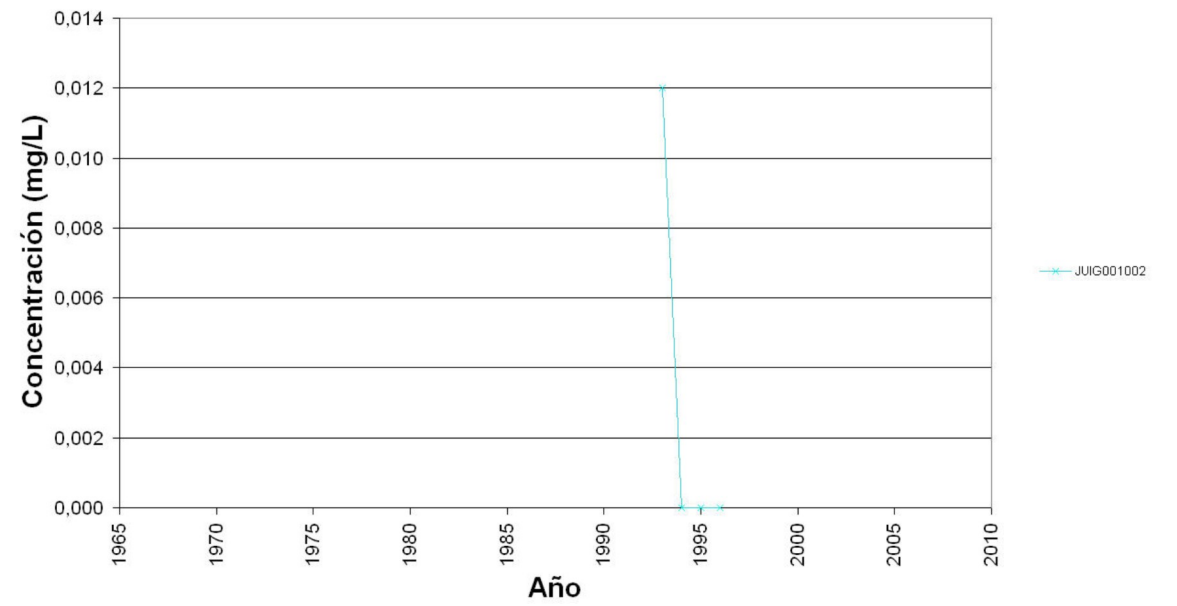
Cadmio



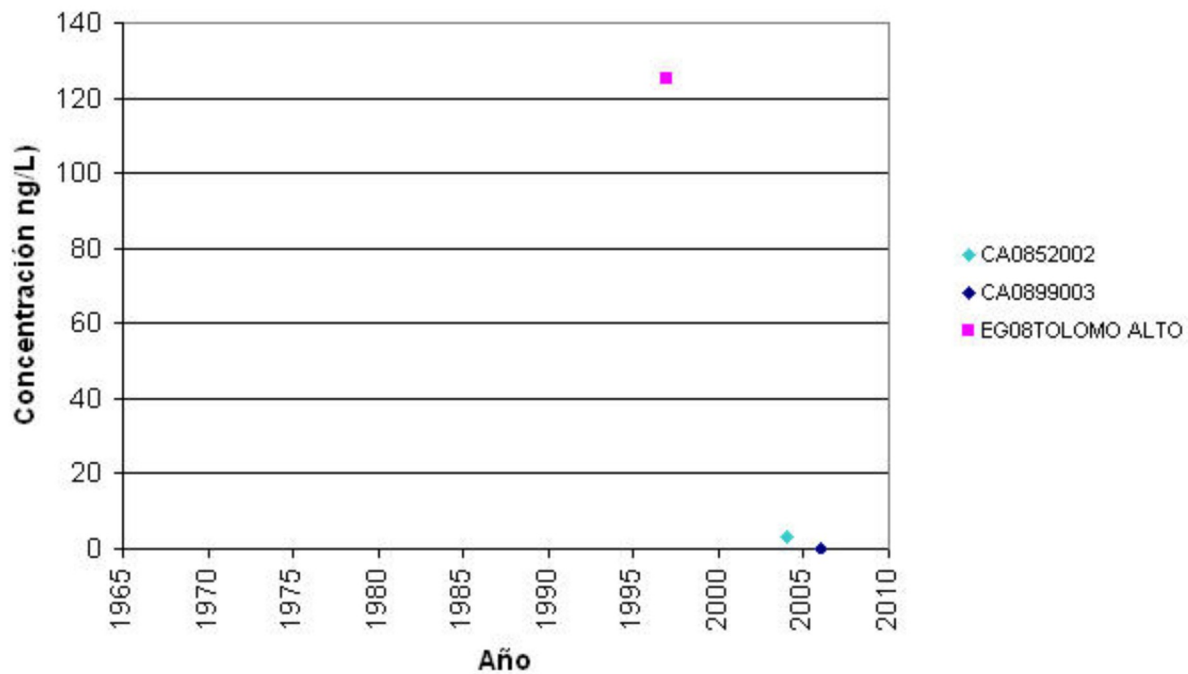
Plomo



Mercurio



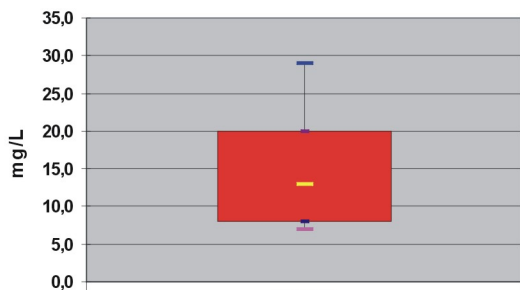
Plaguicidas totales



Niveles de referencia.

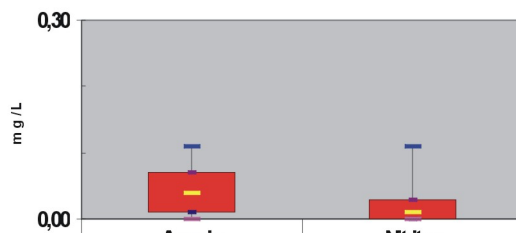
Diagramas de cajas. 080.189 Sierra de Crevillente

Nitratos



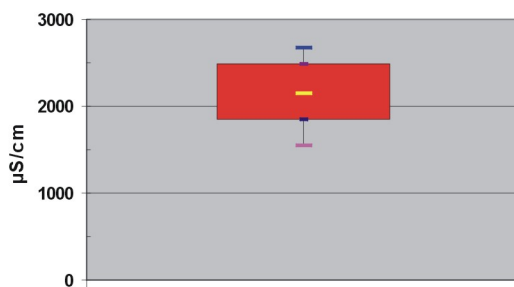
Nitratos	
- Q1	8
- perc. 10	7
- mediana	13
- perc. 90	29
- Q3	20

Amonio y nitritos



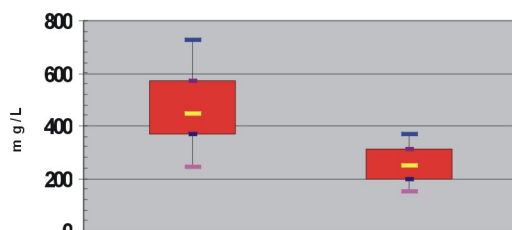
	Amonio	Nitritos
- Q1	0,01	0
- perc. 10	0	0
- mediana	0,04	0,01
- perc. 90	0,11	0,11
- Q3	0,07	0,03

Conductividad



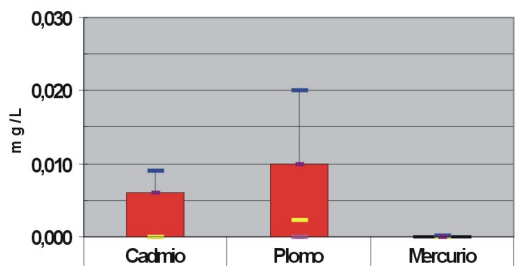
Conductividad	
- Q1	1850
- perc. 10	1550
- mediana	2150
- perc. 90	2675
- Q3	2490

Cloruros y sulfatos



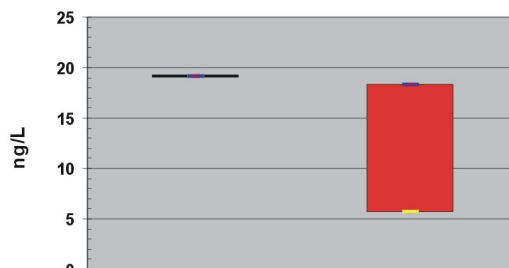
	Cloruros	Sulfatos
- Q1	369	200
- perc. 10	245	149
- mediana	447	247,5
- perc. 90	725,10	370
- Q3	570	312,80

Metales: Cd, Pb, Hg.



	Cadmio	Plomo	Mercurio
- Q1	0	0	0
- perc. 10	0	0	0
- mediana	0	2,30E-03	0
- perc. 90	9,00E-03	2,00E-02	1,00E-04
- Q3	6,00E-03	1,00E-02	0

Plaguicidas



	Plaguicidas individuales	Plaguicidas totales
- Q1	19,190	5,681
- perc. 10	19,190	5,681
- mediana	19,190	5,753
- perc. 90	19,190	18,283
- Q3	19,190	18,283

11.-EVALUACIÓN DEL ESTADO QUÍMICO

Normas de calidad:

Contaminante	Normas de calidad
Nitratos	50 mg/L
Sustancias activas de los plaguicidas, incluidos los metabolitos y los productos de degradación y reacción que sean pertinentes (1)	0,1 µg/L 0,5 µg/l (total) (2)

(1) Se entiende por «plaguicidas» los productos fitosanitarios y los biocidas definidos en el artículo 2 de la Directiva 91/414/CEE y el artículo 2 de la Directiva 98/8/CE, respectivamente.

(2) Se entiende por «total» la suma de todos los plaguicidas concretos detectados y cuantificados en el procedimiento de seguimiento, incluidos los productos de metabolización, los productos de degradación y los productos de reacción.

Valores umbral:

Contaminante	Valor umbral
Arsénico (mg/L)	
Cadmio (mg/L)	
Plomo (mg/L)	
Mercurio (mg/L)	
Amonio (mg /L)	
Cloruro (mg/L)	
Sulfato (mg/L)	
Tricloroetileno (mg/L)	
Tetracloroetileno (mg/L)	
Conductividad eléctrica a 20° C (µS/cm)	

Origen de la información:

Red de control operativo:

Nº de estaciones	Densidad espacial	Periodo	Frecuencia de medidas	Organismo Responsable

Origen de la información:

Evaluación del estado químico:

Parámetro	Nº estaciones / Nºmuestras	Valor del parámetro							Periodo	Observaciones
		máximo	medio	mínimo	mediana	Perc. 25	Perc. 75	Perc. 90		
Nitrato (mg/L)	/								/	
Plaguicidas individuales (detallar) (mg/L)	/								/	
Total plaguicidas (µg/L)	/								/	
Arsénico (mg/L)	/								/	
Cadmio (mg/L)	/								/	
Plomo (mg/L)	/								/	
Mercurio (mg/L)	/								/	
Amonio(mgNH4/L)	/								/	
Cloruro (mg/L)	/								/	
Sulfato (mg/L)	/								/	
Tricloroetileno (µg/L)	/								/	
Tetracloroetileno (µg/L)	/								/	
Conductividad eléctrica a 20° C (mS/cm)	/								/	
	/								/	

Origen de la información:

Biblioteca	Cod. Biblioteca	Fecha	Título

Información gráfica:

- Mapa de situación de las estaciones utilizadas en la evaluación del estado químico (red de control operativo).
- Mapas con los valores obtenidos en cada estación de la red de control operativo para los distintos parámetros utilizados en la evaluación del estado químico.
- Mapa de evaluación del estado químico de la masa de agua subterránea

Observaciones:

La denominación y cuantificación -unidades en que se expresan y valor- de todos los parámetros químicos debe efectuarse siguiendo las directrices de la ORDEN MAM/3207/2006, de 25 de septiembre, por la que se aprueba la instrucción técnica complementaria MMA-EECC-1/06 sobre

12. DETERMINACIÓN DE TENDENCIAS DE CONTAMINANTES

Determinación de tendencias y definición de puntos de partida de inversiones de tendencias:

Parámetro	Nº estaciones / Nºmuestras	Valor del parámetro							Periodo	Punto de partida de inversión de tendencia (% valor umbral)
		máximo	medio	mínimo	mediana	Perc. 25	Perc. 75	Perc. 90		
Nitrato (mg/L)	/								/	
Plaguicidas individuales (detallar) (mg/L)	/								/	
Total plaguicidas (µg/L)	/								/	
Arsénico (mg/L)	/								/	
Cadmio (mg/L)	/								/	
Plomo (mg/L)	/								/	
Mercurio (mg/L)	/								/	
Amonio(mgNH4/L)	/								/	
Cloruro (mg/L)	/								/	
Sulfato (mg/L)	/								/	
Tricloroetileno (µg/L)	/								/	
Tetracloroetileno (µg/L)	/								/	
Conductividad eléctrica a 20° C (mS/cm)	/								/	
	/								/	

(*) Para sustancias que se produzcan naturalmente y como resultado de actividades humanas se considerarán los niveles básicos (años 2007-2008) y, cuando se disponga de ellos, los datos recabados con anterioridad (Directiva 2006/118/CE, Anejo IV, parte A.3).

Origen de la información:

Biblioteca	Cod. Biblioteca	Fecha	Título

Información gráfica:

- Mapa de situación de las estaciones utilizadas en la determinación de tendencias.
- Mapas de tendencias para cada parámetro (contaminantes, grupos de contaminantes o indicadores de contaminación detectada).
- Gráficos de tendencias para cada parámetro (contaminantes, grupos de contaminantes o indicadores de contaminación detectada).

Observaciones:

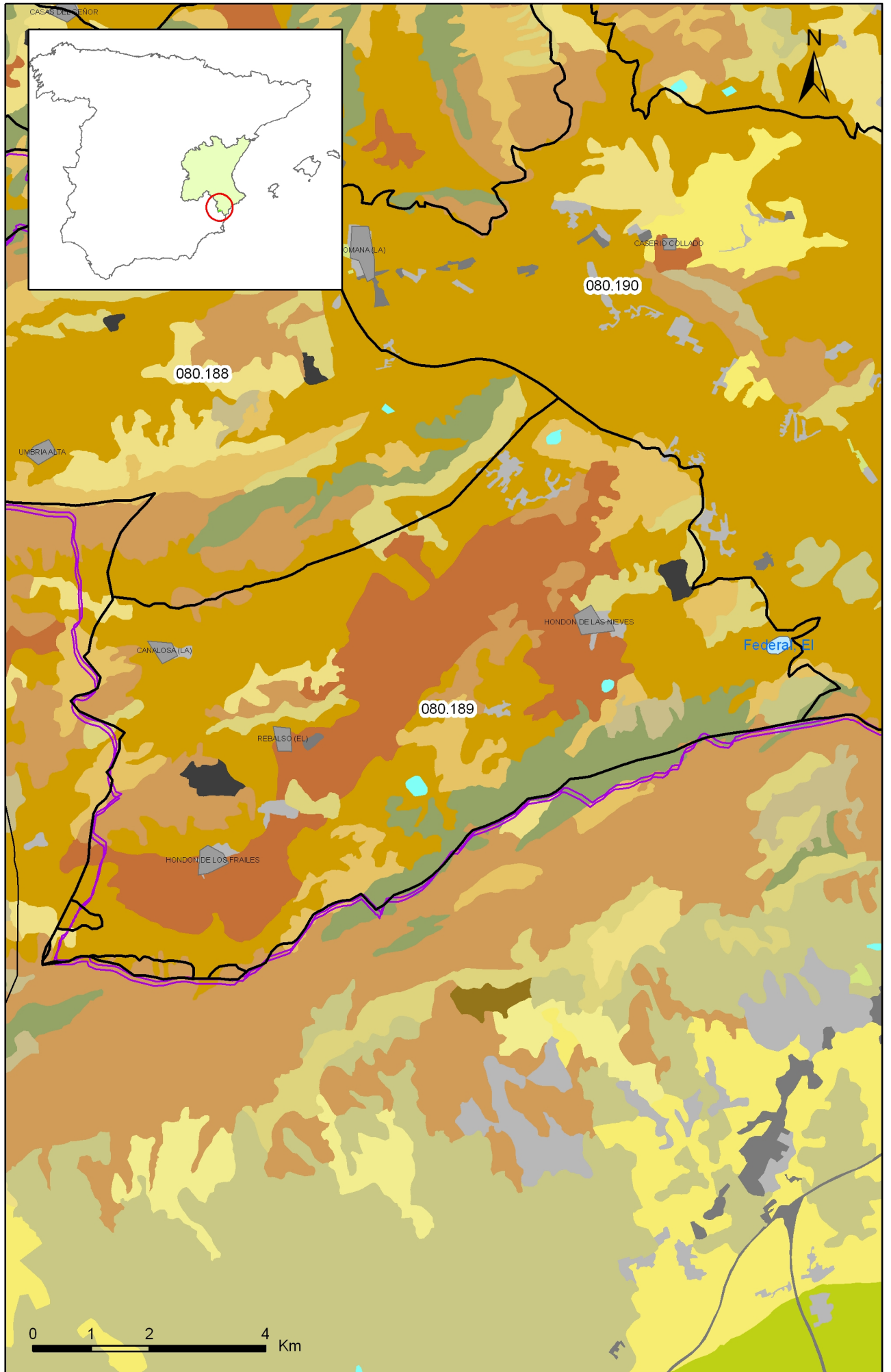
La denominación y cuantificación -unidades en que se expresan y valor- de todos los parámetros químicos debe efectuarse siguiendo las directrices de la ORDEN MAM/3207/2006, de 25 de septiembre, por la que se aprueba la instrucción técnica complementaria MMA-EECC-1/06 sobre determinaciones químicas y microbiológicas para el análisis de las aguas.

13.- USOS DEL SUELO

Actividad	Corine Land Cover 2000	
	Denominación	% en la masa
Aeropuertos	Aeropuertos	
Vías de transporte	Redes viarias, ferroviarias y terrenos asociados	
Zonas de regadío	Terrenos regados permanentemente	68
	Cultivos herbáceos en regadío	
	Otras zonas de irrigación	
	Arrozales	
	Viñedos en regadío	
	Frutales en regadío	
	Cítricos	
	Frutales tropicales	
	Otros frutales en regadío	
	Olivares en regadío	
	Cultivos anuales asociados con cultivos permanentes en regadío	
	Mosaico de cultivos en regadío	
	Mosaico de cultivos anuales con prados o praderas en regadío	
	Mosaico de cultivos permanentes en regadío	
	Mosaico de cultivos anuales con cultivos permanentes en regadío	
Mosaico de cultivos agrícolas en regadío con espacios significativos de vegetación natural		
Zonas de secano	Tierras de labor en secano	1,10
	Viñedos en secano	
	Frutales en secano	
	Olivares en secano	
	Cultivos anuales asociados con cultivos permanentes en secano	
	Mosaico de cultivos en secano	
	Mosaico de cultivos anuales con prados o praderas en secano	
	Mosaico de cultivos permanentes en secano	
	Mosaico de cultivos anuales con cultivos permanentes en secano.	
	Mosaico de cultivos mixtos en secano y regadío	
	Mosaico de cultivos agrícolas en secano con espacios significativos de vegetación natural	
Cultivos agrícolas con arbolado adhesado		
Zonas quemadas	Zonas quemadas	
Zonas urbanas	Tejido urbano continuo	
	Tejido urbano discontinuo	
	Estructura urbana abierta	
	Urbanizaciones exentas y/o ajardinadas	
	Zonas en construcción	
	Zonas verdes urbanas	
Zonas industriales	Industrias y comercio	
Zonas mineras	Zonas de extracción minera	0,90
Zonas recreativas	Instalaciones deportivas y recreativas	
	Campos de golf	
	Resto de instalaciones deportivas y recreativas	
Praderas	Prados y praderas, Mosaico de prados o praderas con espacios significativos de vegetación natural	30,00
	Pastizales, prados o praderas con arbolado adhesado	

Información gráfica:

- Mapa de usos del suelo



Mapa 13.1 Mapa de usos del suelo de la masa Sierra de Crevillente (080.189)

14.- FUENTES SIGNIFICATIVAS DE CONTAMINACIÓN

Fuentes puntuales	Nº de instalaciones	Magnitud	
		Umbral	Parámetro
Vertederos de residuos no peligrosos			
Vertederos de inertes			
Vertedero de residuos peligrosos			
Instalaciones de gestión de residuos			
Depuradoras de aguas residuales	3		
Lagunas de efluentes líquidos			
Vertido en pozos			
Fosas sépticas			
Vertidos autorizados urbanos	3		
Vertidos autorizados agrarios			
Vertidos autorizados industriales	2		
Estaciones de servicio (gasolineras)	2		
Industrias IPPC			
Efluentes térmicos (generación electricidad)			
Escombreras mineras			
Balsas mineras			
Agua de drenaje de minas			
Agua de lavado de minerales			
Explotaciones ganaderas			
Acuicultura			
Residuos de proceso industrias agropecuarias			

Tabla orientadora para caracterización de presiones procedentes de fuente puntual:

Tipo	Magnitud	
	Umbral	Parámetro
Vertidos urbanos	2.000 h -e	<ul style="list-style-type: none"> - Caudal ($m^3/año$; m^3/mes y $m^3/día$) - <u>Carga orgánica</u> (DQO, DBO, COT), compuestos fósforo y nitrógeno (mg/L y $g/año$)
Vertidos biodegradables	4.000 h -e	<ul style="list-style-type: none"> - Caudal ($m^3/año$; m^3/mes y $m^3/día$) - <u>Carga orgánica</u> (DQO, DBO, COT), compuestos fósforo y nitrógeno (mg/L y $g/año$)
Vertidos industriales de actividades IPPC	Ser actividad IPPC	<ul style="list-style-type: none"> - Caudal ($m^3/año$; m^3/mes y $m^3/día$) - Contaminantes autorizados (mg/L y $g/año$) - Sustancias prioritarias y otros contaminantes significativos (Anexo VIII de la DMA) (mg/L y $g/año$)
Residuos mineros y aguas de agotamiento de mina	100 L/seg	<ul style="list-style-type: none"> - Caudal ($m^3/año$; m^3/mes y $m^3/día$) - Naturaleza del sector de producción - <u>Sustancias prioritarias y otros contaminantes significativos</u> (Anexo VIII de la DMA) (mg/L y $g/año$)
Vertidos de sales	100 t/día TSD	<ul style="list-style-type: none"> - Caudal ($m^3/año$; m^3/mes y $m^3/día$) - Sales (mg/L y $g/año$) - <u>Sustancias prioritarias y otros contaminantes significativos</u> (Anexo VIII de la DMA) (mg/L y $g/año$)
Vertido térmicos	Producción 10 MW	<ul style="list-style-type: none"> - Caudal ($m^3/año$; m^3/mes y $m^3/día$) - Temperatura del vertido ($^{\circ}C$) - <u>Sustancias prioritarias y otros contaminantes significativos</u> (Anexo VIII de la DMA) (mg/L y $g/año$)
Vertederos de residuos no peligrosos	Población 10.000 h.	<ul style="list-style-type: none"> - <u>Caudal lixiviado</u> - Sustancias prioritarias y otros contaminantes significativos (Anexo VIII de la DMA) (mg/L y $g/año$)
Vertederos de residuos peligrosos	Vertido de residuos peligrosos	<ul style="list-style-type: none"> - <u>Caudal lixiviado</u> - Sustancias prioritarias y otros contaminantes significativos (Anexo VIII de la DMA) (mg/L y $g/año$)
Vertederos de residuos no peligrosos	Existe evidencia de presión	<ul style="list-style-type: none"> - <u>Caudal lixiviado</u> - <u>Carga orgánica</u> (DQO, DBO, COT). - Compuestos de Nitrógeno y Fósforo - <u>Sustancias prioritarias y otros contaminantes significativos</u> (Anexo VIII de la DMA) (mg/L y $g/año$)
Gasolineras	Año de construcción	<ul style="list-style-type: none"> - <u>Derivados del petróleo</u> - Sustancias prioritarias y otros contaminantes significativos (Anexo VIII de la DMA)

Tabla orientadora para caracterización de presiones procedentes de fuentes difusas:

Fuentes difusas	Superficie ocupada (ha)	Umbral % ocupado de la masa
Aeropuertos (1)		
Vías de transporte (1)		
Suelos contaminados (2)		
Infraestructura industria del petróleo (1)		
Áreas urbanas (2)		
Zonas mineras (3)	61,00	0,90
Áreas recreativas (6)		
Zonas de regadío (4)	4.604,00	67,90
Zonas de secano (4)	75,00	1,10
Zonas de ganadería extensiva (5)		

(1) PAHs,,hidrocarburos. Sustancias prioritarias y otros contaminantes significativos (Anexo VIII de la DMA) (mg/L y g/año)

(2) Sustancias prioritarias y otros contaminantes significativos (Anexo VIII de la DMA) (mg/L y g/año).

(3) Elementos y compuestos en función de la naturaleza de la explotación. Sustancias prioritarias y otros contaminantes significativos (Anexo VIII de la DMA) (mg/L y g/año)

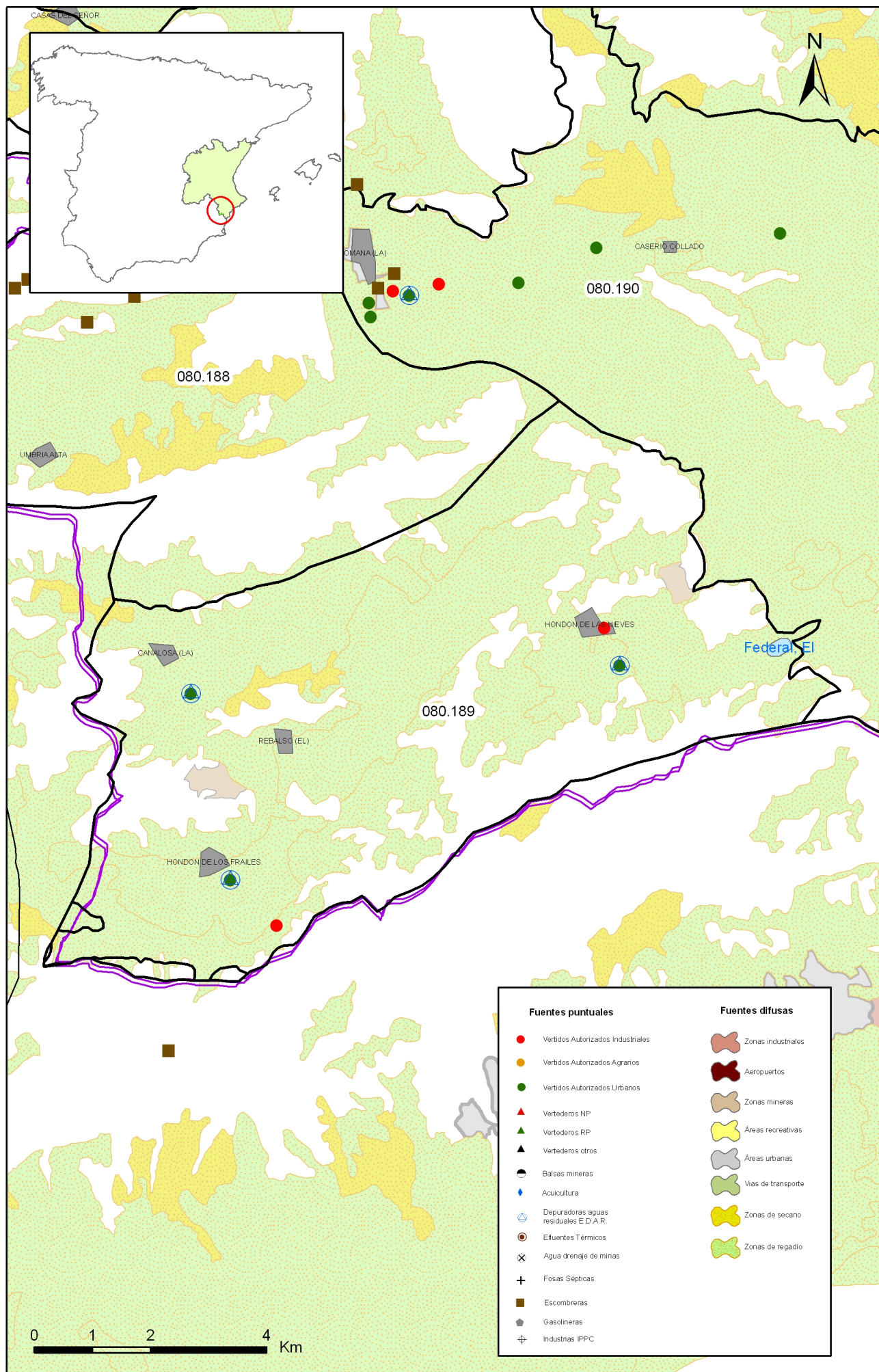
(4) PO4, P total, NO3, NH3, N total. Plaguicidas

(5) N° de cabezas /ha Carga orgánica (DQO, DBO, COT) NO3, NH3, N total

(6) Carga orgánica (DQO, DBO, COT), compuestos de fósforo y nitrógeno (mg/L y g/año), plaguicidas Sustancias prioritarias y otros contaminantes significativos (Anexo VIII de la DMA) (mg/L y g/año)

Información gráfica:

- Mapa de situación de actividades potencialmente contaminantes



Mapa 14.1 Mapa de actividades potencialmente contaminantes de la masa Sierra de Crevillente (080.189)

15.- OTRAS PRESIONES

Actividad	Identificación	Localización	Descripción y efecto en la masa de agua subterránea
Modificaciones morfológicas de cursos fluviales			
Sobreexplotación en zona costera			
	Embalse (1)	Hondón de las Nieves	Afección a la recarga

Observaciones:

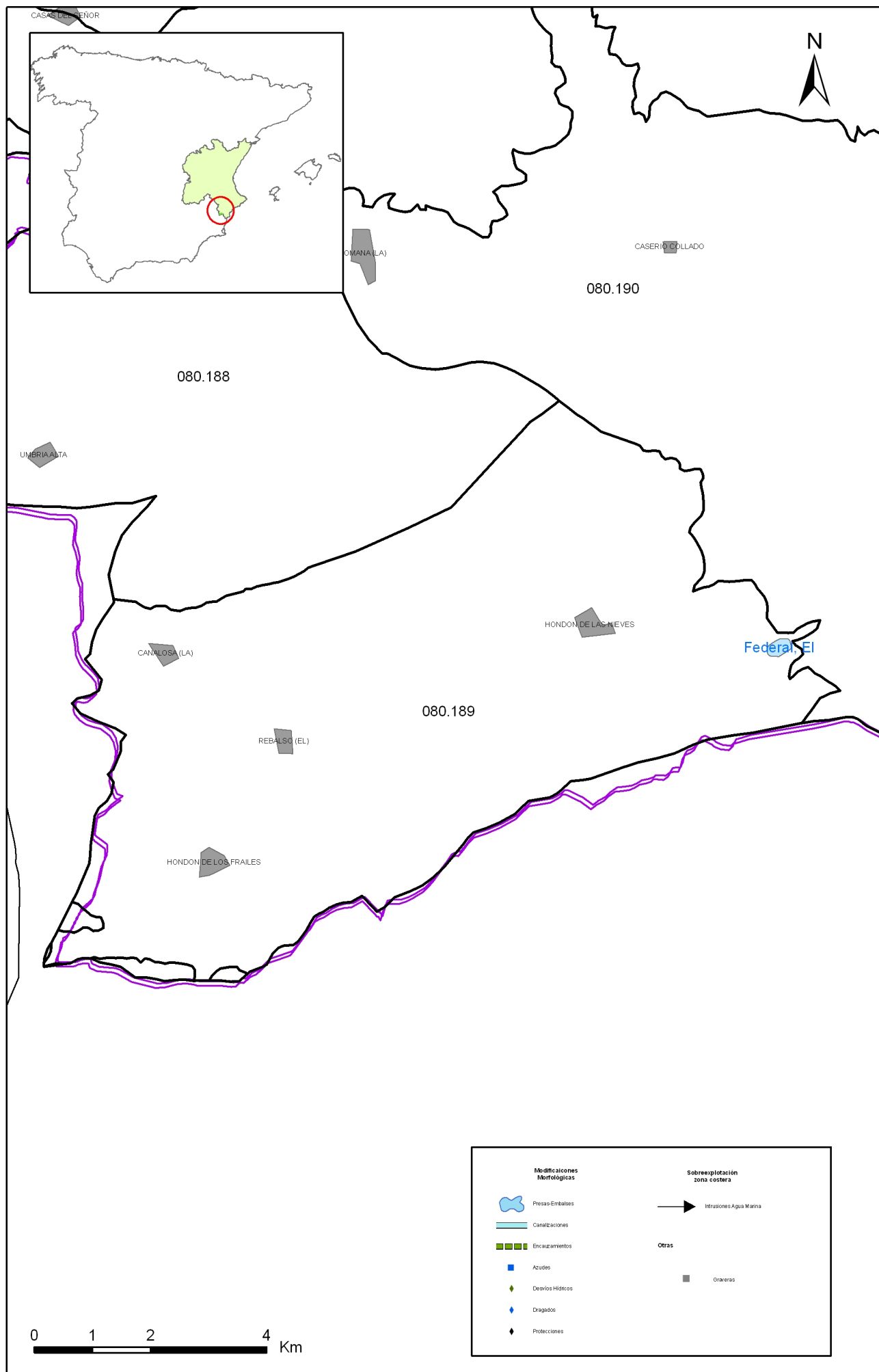
Base de datos de gasolineras del Ministerio de Industria, Transporte y Comercio
 Base de datos de presiones para masas de aguas superficiales del Ministerio Medio Ambiente
 CORINE LAND COVER
 IMPRESS

Origen de la información:

Biblioteca	Cod. Biblioteca	Fecha	Título
IGME	00988	1987	Inventario nacional de balsas y escombreras. Alicante.

Información gráfica:

- Mapa de situación de otras presiones



Mapa 15.1 Mapa de inventario de azudes y presas de la masa Sierra de Crevillente (080.189)

16.-OTRA INFORMACIÓN GRÁFICA Y LEYENDAS DE MAPAS

LEYENDA TEMÁTICA

UDALF

1
HAPLUDALF EUTRUDEPT Dystrudept

USTALF

2	3
HAPLUSTALF HAPLUSTEPT	HAPLUSTALF USTORTHENT Haploxerept

4

HAPLUSTALF HAPLUSTEPT Dystrustept

ALFISOL

5	6	7	8	9	10	11	12	13	14	15	16	17
HAPLOXEROLF Ochraqualf Epiaquept	HAPLOXEROLF Rhodoxeralf Haploxerept	HAPLOXEROLF CALCIXEREPT HAPLOXEREPT	HAPLOXEROLF CALCIXEREPT HAPLOXEREPT (Haploxerept)	HAPLOXEROLF CALCIXEREPT HAPLOXEREPT Calcixeroll Haploxeroll	HAPLOXEROLF CALCIXEREPT HAPLOXEREPT Ochraqualf	HAPLOXEROLF CALCIXEREPT HAPLOXEREPT Rhodoxeralf	HAPLOXEROLF CALCIXEREPT HAPLOXEREPT Rhodoxeralf Haploxerept	HAPLOXEROLF CALCIXEREPT XEROPSAMMENT Haploxerept	HAPLOXEROLF OCHRAQUALF Haploxerept	HAPLOXEROLF PALEXEROLF Ochraqualf	HAPLOXEROLF PALEXEROLF Rhodoxeralf	HAPLOXEROLF Rhodoxeralf Calcixerept
18	19	20	21	22	23	24	25	26	27	28		
HAPLOXEROLF Rhodoxeralf Palexeralf	HAPLOXEROLF Rhodoxeralf CALCIXEREPT Haploxerept	HAPLOXEROLF Rhodoxeralf CALCIXEREPT Xerorthent Haploxerept	HAPLOXEROLF XERORTHENT Calcixerept	HAPLOXEROLF XERORTHENT Rhodoxeralf	PALEXEROLF HAPLOXEROLF Ochraqualf	PALEXEROLF HAPLOXEROLF (Calcixerept)	RHODOXEROLF HAPLOXEROLF Calcixeroll	RHODOXEROLF HAPLOXEROLF Calcixerept	RHODOXEROLF HAPLOXEROLF Calcixerept	RHODOXEROLF HAPLOXEROLF Calcixerept		

ANDISOL

29	30	31	32	33	34				
VITRITRORAND Torriorthent	HAPLUSTAND DYSTRUSTEPT (Haplustept)	HAPLUSTAND HAPLUSTEPT HAPLUSTALF Ustorthent	HAPLUSTAND USTORTHENT DYSTRUSTEPT Haplustept	UDMTRAND DYSTRUDEPT	USTVITRAND DYSTRUSTEPT				
35	36	37	38	39	40	41	42	43	44
PALEARGID Haplargid	HAPLOCALCID	HAPLOCALCID Calcigypsid Haplogypsid	HAPLOCALCID Petrocalcid	HAPLOCALCID CALCIGYPSID HAPLOGYPSID Haplogypsid	HAPLOCALCID HAPLARGID	HAPLOCALCID HAPLARGID Torriorthent	HAPLOCALCID HAPLOCAMBID	HAPLOCALCID HAPLARGID Haplargid	HAPLOCALCID HAPLOCAMBID Haplargid

ARIDISOL

45	46	47	48	49	50	51	52	53
HAPLOCALCID PETROCALCID	HAPLOCALCID PETROCALCID HAPLARGID	HAPLOCALCID TORRIORTHENT	HAPLOCALCID TORRIORTHENT Haplargid	HAPLOCALCID TORRIORTHENT Haplosalid	HAPLOCALCID TORRIORTHENT Petrocalcid	HAPLOCALCID TORRIORTHENT HAPLOCAMBID	HAPLOCALCID TORRIORTHENT Haplargid	PETROCALCID Haplargid
54	55	56	57	58	59	60	61	
HAPLOCAMBID Haplargid	HAPLOCAMBID HAPLARGID Torrifluvent	HAPLOCAMBID TORRIORTHENT	HAPLOCAMBID TORRIORTHENT Haplargid	HAPLOCAMBID TORRIORTHENT Haplosalid	CALCIGYPSID HAPLOGYPSID HAPLOSALID	CALCIGYPSID HAPLOGYPSID TORRIORTHENT	SALID HAPLOSALID Haplocalcid	
62	63	64	65	66	67	68	69	
EPIAQUEPT EPIAQUEPT	EPIAQUEPT EPIAQUEPT Haplorhod Ferrod	EPIAQUEPT EPIAQUEPT Histosol	SULFAQUEPT HAPLOSALID HYDRAQUEPT	TORRIFLUVENT TORRIORTHENT	TORRIFLUVENT TORRIORTHENT HAPLOCALCID	UDIFLUVENT FLUVAQUEPT Udorthent	USTIFLUVENT FLUVAQUEPT	
70	71	72	73	74	75	76		
USTIFLUVENT USTORTHENT Haplustept	XEROFUVENT XEROFUVENT HAPLOXEREPT Haploxeroll Calcixerept	XEROFUVENT XEROFUVENT XERORTHENT	XEROFUVENT XERORTHENT	XEROFUVENT EPIAQUEPT	XEROFUVENT EPIAQUEPT XEROPSAMMENT Xerorthent	XEROFUVENT XERORTHENT HAPLOXEREPT		

ENTISOL

77	78	79	80	81	82						
CRYORTHENT	CRYORTHENT Dystrocytept	CRYORTHENT (DYSTROCRYEPT)	CRYORTHENT (DYSTROCRYEPT) Histosol	CRYORTHENT EUTROCRYEPT DYSTROCRYEPT Haplocryalf Cryendoll	CRYORTHENT DYSTROCRYEPT						
83	84	85	86	87	88	89	90	91	92	93	
TORRIORTHENT	TORRIORTHENT Haplocalcid	TORRIORTHENT HAPLOCALCID Calcigypsid	TORRIORTHENT Haplocalcid Haplocambid	TORRIORTHENT Haplocambid	TORRIORTHENT HAPLOCALCID	TORRIORTHENT HAPLARGID	TORRIORTHENT HAPLOCALCID	TORRIORTHENT HAPLOCALCID Haplargid Petrocalcid	TORRIORTHENT HAPLOCALCID Haplosalid	TORRIORTHENT HAPLOCAMBID Haplargid	
94	95	96	97	98	99	100	101	102	103		
TORRIORTHENT HAPLOCAMBID Haplargid	TORRIORTHENT TORRIFLUVENT	TORRIORTHENT TORRIORTHENT Haplargid	TORRIORTHENT VITRITRORAND	UDORTHENT	UDORTHENT Dystrudept	UDORTHENT Haplodalf Haplodoll	UDORTHENT EUTRUDEPT	UDORTHENT EUTRUDEPT Haplodalf	UDORTHENT UDIFLUVENT Haplodalf		
104	105	106	107	108	109	110	111	112	113		
UDORTHENT DYSTRUDEPT	UDORTHENT DYSTRUDEPT Eutrudept	USTORTHENT	USTORTHENT Haplustept	USTORTHENT Ustifluvent	USTORTHENT HAPLUSTEPT Haplustoll	USTORTHENT USTOCHREPT Haplustalf	USTORTHENT USTOCHREPT Rhodustalf	USTORTHENT DYSTRUSTEPT	USTORTHENT DYSTRUSTEPT Haplustept		
114	115	116	117	118	119	120	121	122	123	124	125
XERORTHENT	XERORTHENT (Haploxerept)	XERORTHENT Haplosalid	XERORTHENT HAPLOXEROLF Rhodoxeralf	XERORTHENT Haploxerept	XERORTHENT CALCIXEREPT Haploxeroll Haploxerept	XERORTHENT HAPLUSTEPT Haploxerept	XERORTHENT CALCIXEREPT HAPLOXEROLF Haploxerept	XERORTHENT CALCIXEREPT HAPLOXEROLF Rhodoxeralf	XERORTHENT HAPLOXEROLF	XERORTHENT HAPLOXEROLF Torriorthent	XERORTHENT HAPLOXEREPT
126	127	128	129	130	131	132	133	134	135	136	137
XERORTHENT HAPLOXEREPT Haplorhod	XERORTHENT HAPLOXEREPT Haploxerand Calcixerept	XERORTHENT HAPLOXEREPT Haploxerept Calcixerept	XERORTHENT EPIAQUEPT UDORTHENT Quartzipsamment	XERORTHENT HAPLOXEROLF Calcixerept Haploxerept	XERORTHENT HAPLOXEROLF HAPLOXEROLL Calcixerept	XERORTHENT HAPLOXEROLF HAPLOXEROLL	XERORTHENT HAPLOXEROLF HAPLOXEROLL	XERORTHENT XEROFUVENT Epiaquept	XERORTHENT HAPLOXEROLF Haploxerept	XERORTHENT XEROFUVENT HISTOSOL	XERORTHENT XEROFUVENT Xeropsamment
138	139	140	141	142	143	144	145				
XERORTHENT DYSTROXEREPT	XERORTHENT DYSTROXEREPT HAPLOXEROLF	XERORTHENT XEROFUVENT (HAPLOSALID) Fluvaquent Xeropsamment	TORRIORTHENT Petrocalcid	USTIPSAMMENT PSAMMAQUEPT	XEROPSAMMENT HAPLOXEROLF Epiaquept	XEROPSAMMENT HAPLOXEROLF Xerorthent	XEROPSAMMENT XERORTHENT				

HISTOSOL

146											
HISTOSOL											
147	148	149	150	151	152	153	154	155	156		
EPIAQUEPT HAPLOXEREPT Haploxerept	DYSTROCRYEPT CRYORTHENT	DYSTROCRYEPT CRYORTHENT	DYSTROCRYEPT CRYORTHENT Eutrocyrept	DYSTROCRYEPT CRYORTHENT Eutrocyrept	EUTROCRYEPT RENDOLL	EUTROCRYEPT RENDOLL Haplocryalf	DYSTRUDEPT	DYSTRUDEPT UDORTHENT	DYSTRUDEPT HAPLORTHOD (UDORTHENT) Haplohumod		
157	158	159	160	161	162	163	164	165	166	167	
DYSTRUDEPT HAPLUDULT	DYSTRUDEPT UDORTHENT	DYSTRUDEPT UDORTHENT Haplodalf	DYSTRUDEPT UDORTHENT Udifluvent	DYSTRUDEPT UDORTHENT	EUTRUDEPT Udorthent	EUTRUDEPT HAPLUDALF Haplodoll	EUTRUDEPT RENDOLL Haplodalf	DYSTRUSTEPT Ustorthent	DYSTRUSTEPT HAPLORTHOD (USTORTHENT) Haplohumod	DYSTRUSTEPT USTORTHENT	
168	169	170	171	172	173	174	175	176	177	178	179
HAPLUSTEPT	HAPLUSTEPT Haplustoll	HAPLUSTEPT HAPLUSTALF USTORTHENT	HAPLUSTEPT HAPLUSTALF Haplustoll	HAPLUSTEPT HAPLUSTALF Rhodustalf	HAPLUSTEPT PALEUSTALF Ustorthent	HAPLUSTEPT USTVITRAND HAPLUSTAND	HAPLUSTEPT USTORTHENT	HAPLUSTEPT USTORTHENT Rhodustalf	HAPLUSTEPT USTORTHENT Ustifluvent	HAPLUSTEPT DYSTRUSTEPT	HAPLUSTEPT DYSTRUSTEPT Haplustalf

INCEPTISOL

180	181	182	183	184	185	186	187	188	189	190	191	192
CALCIXEREPT	CALCIXEREPT Haploxerept	CALCIXEREPT Xerorthent Xeropsamment	CALCIXEREPT EPIAQUEPT XERORTHENT Xeropsamment	CALCIXEREPT HAPLOXEROLF Haplosalid	CALCIXEREPT HAPLOXEROLF Xerorthent Rhodoxeralf	CALCIXEREPT HAPLOXEROLF HAPLOXEROLL Rhodoxeralf	CALCIXEREPT HAPLOXEROLF HAPLOXEROLL Rhodoxeralf	CALCIXEREPT HAPLOXEROLF Haplosalid	CALCIXEREPT CALCIXEREPT Haplosalid	CALCIXEREPT HAPLOXEROLL Rhodoxeralf	CALCIXEREPT HAPLOXEROLL HAPLOXEREPT	CALCIXEREPT XEROFUVENT Haplosalid
193	194	195	196	197	198	199	200	201	202			
CALCIXEREPT XEROFUVENT Haploxeroll Xerorthent	CALCIXEREPT XEROPSAMMENT HAPLOXEROLF	CALCIXEREPT EPIAQUEPT XERORTHENT Xerorthent	CALCIXEREPT XERORTHENT Haplosalid	CALCIXEREPT XERORTHENT Haploxerept	CALCIXEREPT XERORTHENT Xerofluvent	CALCIXEREPT HAPLOXEROLF HAPLOXEROLF EPIAQUEPT	CALCIXEREPT HAPLOXEROLF Xerorthent	CALCIXEREPT HAPLOXEROLF HAPLOXEREPT	CALCIXEREPT HAPLOXEROLF XERORTHENT			
203	204	205	206	207	208	209	210	211	212	213		
DYSTROXEREPT Xerorthent	DYSTROXEREPT XERORTHENT Quartzipsamment	HAPLOXEREPT Haploxerept Rhodoxeralf	HAPLOXEREPT Haploxerept	HAPLOXEREPT Haploxerept Xerorthent	EPIAQUEPT OCHRAQUALF Haploxerept	HAPLOXEREPT HAPLOXEROLF Rhodoxeralf	HAPLOXEREPT HAPLOXEROLF XERORTHENT	HAPLOXEREPT HAPLUSTAND Dystrustept	HAPLOXEREPT XERORTHENT DYSTROCRYEPT	HAPLOXEREPT XERORTHENT DYSTROXEREPT Haploxerept		

MOLLISOL

214	215	216	217	218	219	220	221	222
HAPLUDOLL UDORTHENT	HAPLUDOLL RENDOLL UDORTHENT	HAPLUSTOLL HAPLUSTEPT	HAPLUSTOLL USTORTHENT	CALCIXEROLL HAPLOXEROLF Rhodoxeralf	HAPLOXEROLL CALCIXEROLL Haploxerept	HAPLOXEROLL HAPLOXEROLF Haploxerept	HAPLOXEROLL XERORTHENT Haploxerept	HAPLOXEROLL XERORTHENT Haploxerept Rhodoxeralf

SPodosol

223
ORTHOD HAPLORTHOD FERROD DYSTRUDEPT

ULTISOL

224	225	226
HAPLUSTULT DYSTRUSTEPT Ustorthent	HAPLOXERULT DYSTROXEREPT Xerorthent	EPIAQUEPT EPIAQUEPT Xerorthent

VERTISOL

227	228	229	230	231	232	233	234	235
HAPLUDERT UDORTHENT Udept	HAPLUSTERT USTORTHENT USTEPT Calcustert	HAPLOXERERT CALCIXERERT Haploxeroll	HAPLOXERERT CALCIXERERT Haploxeroll Haploxerept	HAPLOXERERT CALCIXERERT HAPLOXEROLF	HAPLOXERERT CALCIXERERT HAPLOXEROLF CALCIXEREPT	HAPLOXERERT CALCIXERERT HAPLOXEROLF CALCIXEREPT Haploxeroll (Calcixeroll)	HAPLOXERERT CALCIXERERT HAPLOXEROLF CALCIXEREPT Xerorthent	HAPLOXERERT CALCIXERERT XERORTHENT CALCIXEREPT Calcixerept

IDENTIFICACIÓN DE SUELOS

Unidad cartográfica









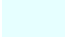







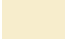


















SUBORDEN
código
GRUPO 1
GRUPO 2
ASOCIACIÓN 1
ASOCIACIÓN 2
Inclusión 1
Inclusión 2

Suelo principal }
Suelo asociado }
Inclusiones }

Consulta ejemplo: suelo con código 91

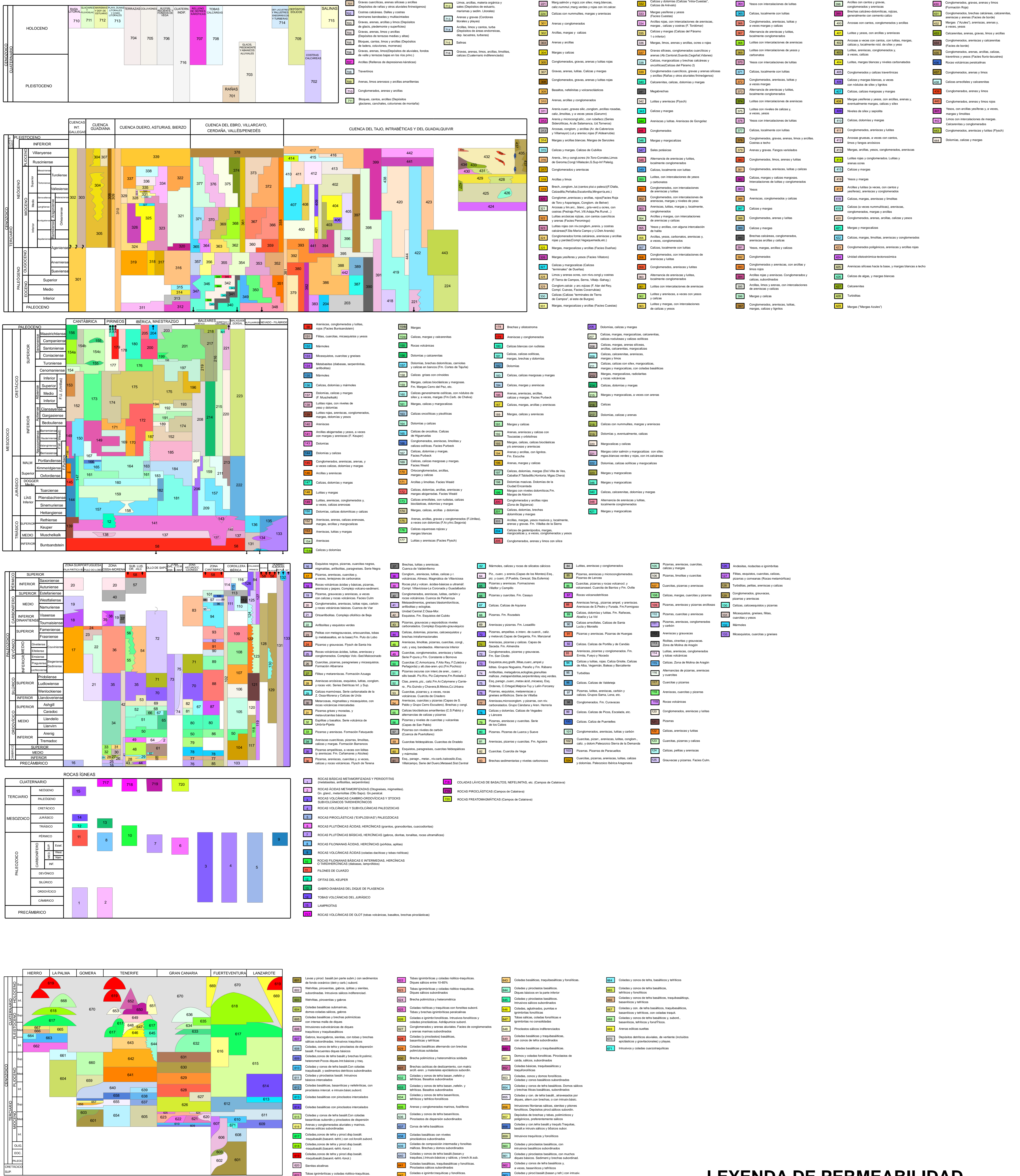
orden: Entisol	grupo 1: Torriorthent	asociación 1: Haplocalcid	inclusión 1: Haplargid
suborden: Orthent	grupo 2: no tiene	asociación 2: no tiene	inclusión 2: Petrocalcid

LEYENDA - CORINE, 2000

	Otras zonas de irrigación (2.1.2.2.0)		Grandes formaciones de matorral denso o medianamente denso (3.2.3.1.1) Matorrales subarbutivos o arbutivos muy poco densos (3.2.3.1.2)
	Humedales y zonas pantanosas (4.1.1.0.0) Turberas y prados turbosos (4.1.2.0.0) Marismas (4.2.1.0.0) Salinas (4.2.2.0.0)		Ramblas con poca o sin vegetación (3.3.1.2.0)
	Mares y océanos (5.2.3.0.0)		Olivares en secano (2.2.3.1.0)
	Zonas llanas intermareales (4.2.3.0.0) Ríos y cauces naturales (5.1.1.1.0) Canales artificiales (5.1.1.2.0) Lagos y lagunas (5.1.2.1.0) Embalses (5.1.2.2.0) Lagunas costeras (5.2.1.0.0) Estuarios (5.2.2.0.0)		Rocas desnudas con fuerte pendiente (acantilados, etc) (3.3.2.1.0) Afloramientos rocosos canchales (3.3.2.2.0) Xeroestepa subdesértica (3.3.3.1.0) Carcavas y/o zonas en proceso de erosión (3.3.3.2.0) Espacios orófilos altitudinales con vegetación escasa (3.3.3.3.0)
	Glaciares y nieves permanentes (3.3.5.0.0)		Olivares en regadío (2.2.3.2.0)
	Otros pastizales (3.2.1.2.0)		Viñedos en regadío (2.2.1.2.0)
	Cultivos anuales asociados con cultivos permanentes en secano (2.4.1.1.0) Mosaico de cultivos anuales con prados o praderas en secano (2.4.2.1.1) Mosaico de cultivos permanentes en secano (2.4.2.1.2) Mosaico de cultivos anuales con cultivos permanentes en secano (2.4.2.1.3)		Frutales en secano (2.2.2.1.0)
	Matorrales xerófilos macaronésicos (3.2.2.2.0) Matorral boscoso de frondosas (3.2.4.1.0) Matorral boscoso de coníferas (3.2.4.2.0) Matorral boscoso de bosque mixto (3.2.4.3.0)		Cítricos (2.2.2.2.1) Frutales tropicales (2.2.2.2.2) Otros frutales en regadío (2.2.2.2.3)
	Espacios de vegetación escasa (3.3.3.0.0)		Cultivos herbáceos en regadío (2.1.2.1.0)
	Mosaico de cultivos agrícolas en secano con espacios significativos de vegetación natural y semi-natural (2.4.3.1.0)		Praderas (2.3.1.0.0)
	Playas y dunas (3.3.1.0.0)		Zonas verdes urbanas (1.4.1.0.0) Restos de instalaciones deportivas y recreativas (1.4.2.0.0) Campos de golf (1.4.2.1.0)
	Mosaico de cultivos anuales asociados con cultivos permanentes en regadío (2.4.1.2.0) Mosaico de cultivos anuales con prados o praderas en regadío (2.4.2.2.1) Mosaico de cultivos permanentes en regadío (2.4.2.2.2) Mosaico de cultivos anuales con cultivos permanentes en regadío (2.4.2.2.3) Mosaico de cultivos mixtos en secano y regadío (2.4.2.3.0)		Pastizales, prados o praderas con arbolado adherado (2.4.4.1.0) Cultivos agrícolas con arbolado adherado (2.4.4.2.0) Mosaico de prados o praderas con espacios significativos de vegetación natural y semi-natural (2.4.3.3.0)
	Mosaico de cultivos agrícolas en regadío con espacios significativos de vegetación natural y semi-natural (2.4.3.2.0)		Perennifolias (3.1.1.1.0) Caducifolias y marcescentes (3.1.1.2.0) Otras frondosas de plantación (3.1.1.3.0) Mezcla de frondosas (3.1.1.4.0) Bosque de ribera (3.1.1.5.0) Bosque de coníferas con hojas aciculares (3.1.2.1.0) Bosque de coníferas con hojas de tipo cupresáceas (3.1.2.2.0) Bosque mixto (3.1.3.0.0)
	Pastizales supraforestales templado oceánicos, pirenicos y orocantábricos (3.2.1.1.1) Pastizales supraforestales mediterráneos (3.2.1.1.2) Otros pastizales templado oceánicos (3.2.1.2.1) Otros pastizales mediterráneos (3.2.1.2.2)		Zona de extracción minera (1.3.1.0.0) Escombreras y vertederos (1.3.2.0.0)
	Zonas quemadas (3.3.4.0.0)		Zonas industriales (1.2.1.1.0) Grandes superficies de equipamientos y servicios (1.2.1.2.0) Autopistas, autovías y terrenos asociados (1.2.2.1.0) Complejos ferroviarios (1.2.2.2.0) Zonas portuarias (1.2.3.0.0) Aeropuertos (1.2.4.0.0)
	Tierras de labor en secano (2.1.1.0.0)		
	Viñedos en secano (2.2.1.2.0)		
	Arrozales (2.1.3.0.0)		
	Landas y matorrales en climas húmedos. Vegetación mesófila (3.2.2.1.0)		Tejido urbano continuo (1.1.1.0.0) Estructura urbana abierta (1.1.2.1.0) Urbanizaciones exentas y/o ajardinadas (1.1.2.2.0) Zonas en construcción (1.3.3.0.0)

LEYENDA DEL MAPA LITOSTRATIGRÁFICO

1:200.000



LEYENDA DE PERMEABILIDAD

1:200.000

